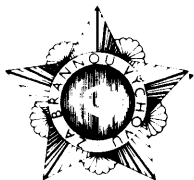


NOSITEL  
VYZNAMENÁNÍ  
ZA BRANNOU  
VYCHOVU  
I. A II. STUPNĚ



## ŘADA PRO KONSTRUKTÉRY

### ČASOPIS PRO ELEKTRONIKU A AMATÉRSKÉ VYSÍLÁNÍ

ROČNIK XXXVIII/1989 ● ● ČÍSLO 3

## V TOMTO SEŠITĚ

F.O.F., továrna budoucnosti ..... 81

### INTEGROVANÉ OBVODY ZE ZEMÍ RVHP VII

#### Rychlé napěťové komparátory

<b>Řady 710</b> .....	82
Popis funkce.....	82
Elektrické vlastnosti.....	83
Definice elektrických veličin .....	87
Vlastnosti komparátoru .....	87
Logická slučitelnost .....	88
Typická základní zapojení .....	88

#### Dvojité napěťové komparátory řady 711

Popis funkce.....	91
Elektrické vlastnosti.....	92
Logická slučitelnost .....	95
Doporučená zapojení.....	95

#### Ctyřnásobné komparátory

Příklady použití.....	99
-----------------------	----

#### Velmi rychlý diferenční komparátor řada A760PČ

.....	100
-------	-----

#### Velmi rychlý diferenční komparátor ROB760

.....	100
-------	-----

#### Přesné napěťové komparátory řady 311

Doporučení konstruktérům .....	101
Typické příklady použití .....	102

Doporučená zapojení.....	105
--------------------------	-----

#### Napěťové komparátory řady 527

.....	105
-------	-----

Doporučená zapojení.....	105
--------------------------	-----

#### Operační zesilovače řady 709

.....	107
-------	-----

Doporučení k použití.....	108
---------------------------	-----

Doporučená zapojení.....	111
--------------------------	-----

#### Operační zesilovače s otevřeným kolktorovým výstupem

řady 761 .....	112
----------------	-----

Doporučená zapojení.....	116
--------------------------	-----

## AMATÉRSKÉ RÁDIO ŘADA B

Vydává UV Svatovámu ve vydatelství NAŠE VOJSKO, Vladislavova 26, 135 66 Praha 1, tel. 26 06 51-7. Šéfredaktor Ing. Jan Klabal, Redakční radu řídí Ing. J. T. Hyán. Redaktor L. Kalousek, OK1FAC. Redakce Jungmannova 24, 113 66 Praha 1, tel. 26 06 51-7, šéfredaktor linka 354, redaktor linka 353, sekretářka linka 355. Ročně vydje 6 čísel. Cena výtisku 5 Kčs, pololetní předplatné 15 Kčs. Rozšířuje PNS, v jednotkách ozbrojených sil vydatelství NAŠE VOJSKO, administrace Vladislavova 26, Praha 1. Rozšířuje PNS. Informace o předplatném podá a objednávky přijímá každá administrace PNS, pošta, doručovatel a předplatitelská střediska. Objednávky do zahraničí vyzíváme PNS - ústřední expedice a dovoz tisku Praha, administrace vývozu tisku, Kováckova 26, 160 00 Praha 6. Tiskárna NAŠE VOJSKO, n. p., závod 08, 160 05 Praha 6, Vlastina ulice č. 889/23.

Za původnost a správnost příspěvku odpovídá autor. Návštěvy v redakci a telefonické dotazy po 14. hodině. Číslo indexu 46 044.

Toto číslo má výjít podle plánu 8. 6. 1989.

Vydavatelství NAŠE VOJSKO.

# F.O.F., továrna budoucnosti

Na tiskové konferenci firmy Rohde a Schwarz (viz protější stranu obálky) byla řeč kromě jiného o výrobcích firmy i o novém provozu firmy v Memmingen. Jde o závod, projektovaný počítačem (a řízený počítačem), který je určen pro efektivní výrobu i malých výrobních-sérií (popř. i pro kosovou výrobu). Projekt i realizace je označena jako F.O.F., tj. Factory of the future, továrna budoucnosti, nebude tedy na škodu popsat si podrobněji uspořádání továrny, především proto, že by se mohla stát vzorem i k projektování našich nových továren a provozů v oblasti výroby elektronických přístrojů s malými výrobními sériemi.

Co je skutečně nové v této moderní továrně, je tzv. CIM (Computer Integrated Manufacturing, počítačem řízená a organizovaná výroba) a produkce JIT (Just in Time) (tj. operativně měnitelná výroba) při malých výrobních sériích. Zvláštností je právě produkce JIT, neboť u velkovýrobců tento požadavek, tj. požadavek na pružnou a rychlou změnu výroby nepřichází v úvahu. I při produkci JIT je třeba k efektivnosti výroby využívat automaty k zakládání součástek (jako u velkosériové výroby), navíc je vždy třeba uspořádat výrobní cyklus tak, aby mohl být výrobní sortiment rychle a operativně měněn. Je zřejmé, že u specializované elektronické výroby v malých sériích je daleko třeba vyřešit zakládání speciálních dílů do desek s plošnými spoji, což se podařilo právě v nové továrně R&S, přičemž se počítá i s podílem ruční práce.

šky na tzv. výrobních „busech“ na všechna pracoviště, jak pro ruční, tak automatické zakládání součástek a do zkušebny. Přeprava je vedena ve výšce asi 4 m. Počítač, který je řízena činností skladů, nezabezpečuje pouze příslun materiálu na jednotlivá pracoviště, ale i dostatek pracovních nástrojů a zkušebních pomůcek.

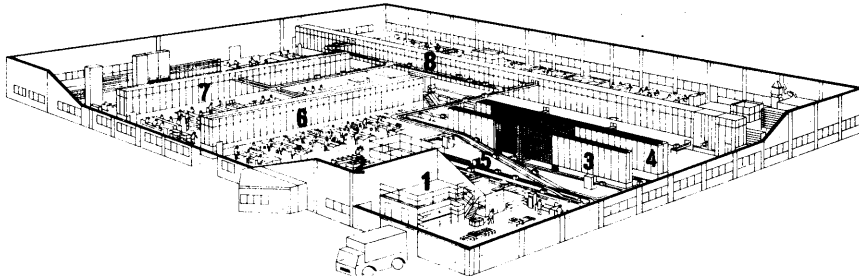
Zajímavé je především to, že nadřízený počítač (počítač řídícímu skladu) dokáže v případě nutnosti (velký počet žádaných součástek) určit prioritu jednotlivých žádostí o součástky a díly s ohledem na momentální potřebu ve výrobě. Zatímco potřeba pracovníků vlastně žádá – stejně jako při dalších předvýrobních operacích.

Tzv. výrobní „bus“ je označen 6, je 30 m dlouhý a zásobuje pracoviště s ručním vkládáním součástek, výrobní „bus“ 7 je dlouhý 34 m a zásobuje pracoviště s vkládacími automaty. Oba pracují s taktem 40 až 60 sekund.

Pracoviště, na nichž jsou vkládány součástky do desek s plošnými spoji ručně, jsou vybavena zajímavým způsobem: na to místo desky, do něhož má být vložena součástka, svítí světelný paprsek. Součástka, která má být do daného místa vložena, je ze zásobníku, na němž se rozsvítí svítivá dioda.

Po osazení jsou desky hromadně pájeny v ochranné atmosféře, takže odpadá čistění po pájení.

Výrobní „bus“ 8 se skládá ze dvou linek délky 24 a 52 m. Jeho úkolem je transportovat osazené a zapájené desky s plošnými



spoji ke zkoušení, jak elektrickému, tak mechanickému. Zkoušení je zabezpečeno zkoušecími automaty.

Zkrace bylo řečeno – továrna má automatickou vazbu mezi zásobováním materiálem a jednotlivými pracovišti na základě sdružení principu zásuvkových zásobníků a toku materiálu na jednotlivá pracoviště v co možno nejkratší době.

Rez továrnou je na obrázku. Jde o halu 73 × 103 m, vysokou 5 m. Projdeme si továrnu krok po kroku. Vstupní částí výroby je přejízdku zobaží 1, tj. místnost, kam se ukládá veškerý dovezený materiál a hotové neosazené desky s plošnými spoji. Prakticky všechny součástky se kontrolují v oddělení kontroly 2, v němž se také určí, do které oblasti skladu ta či ona součástka patří. Speciální „bus“ pro málo rozmněné díly a součástky (Rotary Rack), 3, má 20 000 vysouvacích zásuvek o obsahu 0,7 litrů. Celou tu speciální zásuvkovou stěnu doplňuje „paternoster“, tj. malé výtahové zařízení, které slouží jak k ukládání, tak k vydávání součástek; až do počtu jedenácti současných objednávek součástí je takt vydávání součástí 3 sekundy.

„Bus“ pro součásti velkých rozmněr pracuje na stejném principu, na obrázku je označen 4. Má 7000 zásuvek o obsahu 7 litrů, pro pět současných objednávek materiálu je jeho takt 12 sekund. Vybraný materiál dále postupuje z obou těchto hlavních skladů do meziskladů v blízkosti jednotlivých pracovišť a to ve zvláštních přepravkách, do nichž je možno umístit až obsah 24 malých nebo 9 velkých vysouvacích zásuvek.

Systém toku materiálu 5 přepravuje přepravky o rozmněrech 40 × 60 cm různé vý-

škat v časopisu firmy Rohde a Schwarz „Neues von Rohde und Schwarz“, č. 85/1979 (Samocínné osazování desek s plošnými spoji), č. 103/1983 (Výroba přístrojů v Memmingen) a č. 80/1077-78 (Příklad výroby SMDU).

Fotografie některých vybraných pracovišť z nové továrny jsou ve stejném časopisu v č. 124/1988-89.

# INTEGROVANÉ OBVODY ZEMÍ RVHP — VII —

Vítězslav Stříž

Analogové integrované obvody nacházejí uplatnění ve všech oborech elektroniky, měřicí, regulační, automatizační techniky, rozhlasové a televizní techniky a dalších oborech. Jsou však i nezbytnou součástkou techniky číslicové. Díky dobré propracovanému systému integrace tranzistorů, diod a rezistorů na společném čipu se daří vyrábět jak jednoúčelové, tak víceúčelové integrované obvody, jejichž konstrukce z jednotlivých součástek by byla rozdílná, nákladná, v provozu méně spolehlivá, v některých případech i vůbec nemožná. Následující popisy jsou věnovány výkladu činnosti a praktickému použití bipolárních analogových komparátorů a operačních zesilovačů, vyráběných výrobci polovodičových součástek v zemích RVHP a Jugoslávie.

## Rychlé napěťové komparátory řady 710

Integrované rychlé napěťové diferenční komparátory řady 710 jsou využívány speciálně s ohledem na slučitelnost s logickými číslicovými obvody. Zesilovač s těmito obvody může rozpoznávat porovnávací napětí s rozdílem 5 mV. Doba zpoždění přenosu signálu nebo doba zákmitu obvodů je asi 40 ns.

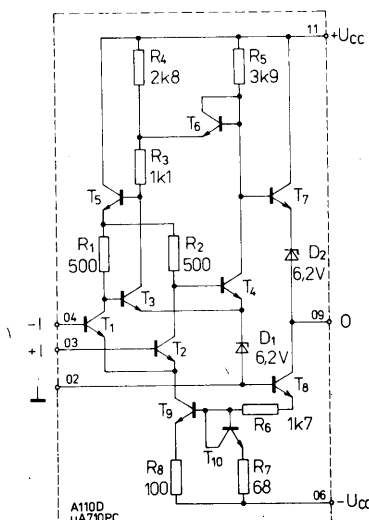
Základní funkcí popisovaných součástek je porovnávat přiváděný signál s referenčním napětím. Výstupní napětí komparátoru má úroveň 0 nebo logické 1 a to podle toho, přiváděme-li na jeho vstup signál větší nebo menší než je velikost referenčního napětí. Integrované komparátory řady 710 jsou vhodné rovněž jako Schmittovy klopné obvody s proměnným prahovým napětím, jako diskriminátory velikosti impulsů, jako napěťové komparátory v rychlých analogově-číslicových převodnicích a jako detektory nuly nebo prahového napětí.

Se dvěma nebo několika popisovanými komparátory je možné sestavit fázový detektor, okenníkový diskriminátor nebo čtecí zesilovač pro jádrové paměti. Komparátory pracují s velmi malou dobou odezvy, vyznačují se malou vstupní napěťovou a proudovou nesymetrií a mohou pracovat s velkým přípustným soufázovým vstupním napětím.

Protože napěťové komparátory řady 710 vyrábějí prakticky všechny státy RVHP mimo ČSSR, platí následující informace o popisu funkce, o vlastnostech a použití pro všechny tyto součástky, ať jsou označeny jakýmkoli typovým označením. Rozdíl mezi komparátory jednotlivých výrobců však existuje a to jak v uvedených elektrických vlastnostech, tak i v nějším provedení. Proto jsou uvedeny v samostatných tabulkách elektrické údaje jednotlivých typů podle výrobců. Funkce všech uvedených součástek je stejná, proto jsou do jisté míry zaměnitelné (někdy však s potřebnými úpravami pracovního zapojení).

### Popis funkce

Vnitřní elektrické zapojení komparátorů řady 710 všech výrobců, ať jsou jakkoli typově označeny, je na obr. 1. Na vstupu komparátoru použili konstruktéři obvodu diferenční stupeň, který je tvořen tranzistory  $T_1$  a  $T_2$ . Emitory tranzistorů vstupního stupně se napájejí ze zdroje konstantního proudu (tranzistor  $T_9$ ), čímž se dosáhlo nezávislosti součtu kolektorových proudů tranzistorů  $T_1$  a  $T_2$ .



Obr. 1. Vnitřní elektrické zapojení rychlého komparátoru A110D, B110D, μA710PC, ULY7710N a dalších řady 710 v pouzdru DIL-14

na vstupním napětí (např. na referenčním napětí). Rovněž druhý stupeň komparátoru je vytvořen diferenčním zapojením tranzistorů, který se zlepšuje klidový proud, napětí a vstupní symetrii. Vlastní zesilovací stupeň je vytvořen tranzistorem  $T_4$ , zatímco tranzistor  $T_3$  slouží k symetrickému zatištění prvního stupně a jako obraceč fáze signálu na výstupu tranzistoru  $T_1$ . Tím se přenáší plné diferenční zesílení na tranzistor  $T_4$ . Podobné řešení se používá rovněž u známých operačních zesilovačů řady 709 (obdoba TESLA MAA501 až MAA504).

Rezistory  $R_1$  a  $R_2$  jsou v obvodech kolektoru tranzistorů prvního stupně,  $R_5$  druhého stupně. Tranzistorem  $T_5$  protéká kolektorový proud vstupního stupně. Tím je kompenzován proud báze druhého stupně (tranzistoru  $T_3$ ). Tranzistor  $T_6$  působí jako omezovací dioda kladných výstupních signálů.

K výstupu tranzistoru  $T_4$  je připojen emitorový sledovač s tranzistorem  $T_7$ . Účelem tohoto spojení je dosáhnout velkého výstupního proudu. Zenerova dioda  $D_1$  v emitorech tranzistorů  $T_3$  a  $T_4$  druhého stupně umožňuje velký rozsah vstupního napětí. Další Zenerova dioda  $D_2$  slouží k posunutí úrovně výstupního napětí natolik, aby bylo slučitelné s úrovní logických obvodů běžných řad. Tranzistor  $T_8$  izoluje výstup kompenzační diody  $T_{10}$ , která je nutná k zajištění konstantního proudu tranzistoru  $T_9$ .

Tranzistor  $T_{10}$ , zapojený jako dioda, kom-

penzuje napětí báze-emitor tranzistoru  $T_9$  a umožňuje vytvořit malý napěťový úbytek na emitorovém rezistoru  $R_8$ . Tím se rozšíří rozsah záporného vstupního napětí.

Napěťový komparátor se tedy skládá ze symetrického diferenčního stupně s velkým zesílením a asymetrickým výstupem, jehož napěťová úroveň je zvolena tak, aby se napětím mohlo vybudit následující logické zapojení.

Další text je věnován symetrii vnitřního zapojení IO a možnostem zanedbání lživého rozptylu elektrických parametrů a kolísání pracovní teploty komparátoru. Základním předpokladem rozboru je co nejmenší relativní tolerance všech použitých rezistorů a dále co nejpresnější párování tranzistorů i přesnost Zenerových diod. Následující přiblížení platí u komparátorů v celém zaručovaném širokém rozsahu teplot okolí.

Dále předpokládáme, že proudové zesílení tranzistorů je tak velké, že můžeme zanedbat proud báze. Přesná analýza ukazuje, že proud báze nemá vliv, jsou-li tranzistory dobře párovány a je-li jejich proudové zesílení větší než 10.

Je-li rozdíl vstupního napětí nulový (např. je-li napětí přivedeného signálu stejně jako referenčního napětí), jsou kolektorové proudy tranzistorů  $T_1$  a  $T_2$  stejně velké, protože jde o identické tranzistory, které mají stejná napětí báze-emitor. Proud kolektoru tranzistoru  $T_3$  lze určit ze vztahu

$$I_{C3} = \frac{U_+ - U_z - \frac{1}{2} I_{C9} R_1 - 2U_{BE}}{R_3 + R_4} \quad (1)$$

analogicky proud kolektoru tranzistoru  $T_4$

$$I_{C4} = \frac{U_+ - U_z - U_{BE} - U_2}{R_5} \quad (2)$$

kde  $U_2$  je výstupní napětí,  $U_+$  kladné napájecí napětí (odpovídá  $+U_{CC}$ ).

Ve vyváženém stavu, kdy jsou oba proudy stejné, platí rovnost obou vztahů

$$I_{C3} = I_{C4} \quad (3)$$

Dosadíme-li do vztahu (3) podmínu  $R_3 + R_4 = R_5$ , dostaneme

$$U_2 = U_{BE} + \frac{1}{2} I_{C9} R_1 \quad (4)$$

Nyní je potřebné určit proud kolektoru tranzistoru  $T_9$ . V kompenzovaném dělici báze tranzistoru  $T_9$  můžeme určit proud tranzistoru  $T_{10}$  podle

$$I_{C10} = (U_- - 2U_{BE}) / (R_6 + R_7) \quad (5)$$

Proud kolektoru tranzistoru  $T_9$  je dán

$$I_{C9} = \frac{R_7}{R_8} I_{C10}$$

nebo též

$$I_{C9} = \frac{R_7}{R_8} \frac{U_- - 2U_{BE}}{R_6 + R_7} \quad (6)$$

Rovnici (6) dosadíme do rovnice (4), čímž dostaneme

$$U_2 = U_{BE} + \frac{R_1 R_7}{2R_8} \frac{U_- - 2U_{BE}}{R_6 + R_7} \quad (7)$$

Dosadíme-li nyní do tohoto vztahu hodnoty součástek z vnitřního elektrického zapojení obvodu podle obr. 1, dostaneme:

$$U_2 = 0,8U_{BE} + 0,16U_- \quad (8)$$

Výsledkem je jmenovité výstupní napětí 1,4 V při napějecím napětí  $-U_{CC} = -6$  V a nulovém vstupním napětí.

Uvedená velikost výstupního napětí je nejblížší napětím, která jsou běžná u většiny

standardních logických zapojení (mezi 0,7 V a 1,7 V). Přesné výstupní napětí je důležité jen jako druhohradý parametr, protože napěťové zesílení komparátoru se pohybuje okolo jmenovité velikosti 1500 a rozdíl mezi prahovým napětím 1,4 V a 0,7 V odpovídá ekvivalentnímu komparačnímu prahovému napětí 0,5 mV.

Ze vztahu (8) můžeme dále odvodit, že výstupní napětí bez řízení vstupem závisí na velikosti záporného napájecího napětí  $-U_{CC}$ .

Jestliže differencuje vztah (8) napájecím napětím  $-U_{CC}$ , dostaneme

$$\Delta U_2 = 0,16 \Delta U_- \quad (9).$$

Odtud můžeme konstatovat, že dovolená změna napájecího napětí  $-U_{CC}$  o 10 % vyvolá ekvivalentní vstupní napěťovou nesymetrii  $65 \mu\text{V}$  (při předpokládaném středním napěťovém zesílení komparátoru 1500). Technologickým postupem výroby komparátoru způsobený rozptyl napětí báze-emitor  $U_{BE}$  ve vztahu (8) je pouze asi  $20 \mu\text{V}$ , proto jej můžeme v naší úvaze zanedbat.

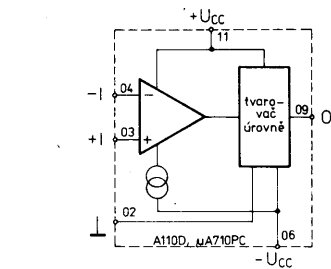
Dosud jsme předpokládali, že relativní tolerance všech rezistorů použitých v systému komparátoru je minimální. Tento předpoklad nelze v praxi během výroby IO dodržet s požadovanou přesností. V tab. 1 je názorně ukázán vliv tolerance 10 % jednotlivých rezistorů na vstupní napěťovou nesymetrii. Z toho můžeme odvodit, že největší vliv na nesymetrii má rovnost rezistorů  $R_1$  a  $R_2$ . Odchylna 10 % odporu rezistorů způsobí napěťovou nesymetrii 2,5 mV.

Tab. 1. Vliv zmenšení odporu rezistorů o 10 % v systému komparátoru na změnu vstupní napěťové nesymetrii komparátoru řady 710

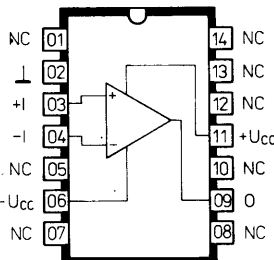
Rezistor	Jmenovitý odpor [ $\Omega$ ]	Změna napěťové nesymetrie [V]
$R_1$	500	+2,4
$R_2$	500	-2,4
$R_4$	3900	-0,24
$R_5$	3900	+0,04
$R_6$	1600	+0,05
$R_7$	68	-0,05
$R_8$	100	+0,05

V důsledku poměrné přesnosti výrobních operací u analogových integrovaných obvodů vycházíme z odchylky pouze 2 % od jmenovitého odporu rezistorů, která vyvolá napěťovou nesymetrii asi 0,5 mV. Takto velké napětí není rozhodující pro přesnou funkci komparátoru.

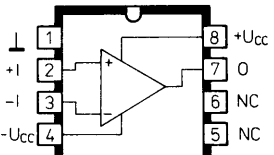
Stejným způsobem je možno prokázat, že proudové zesílení tranzistorů nemá žádný velký vliv s výjimkou obou vstupních tranzistorů, které při špatném párování mohou způsobit zvětšení vstupní proudové nesymetrie.



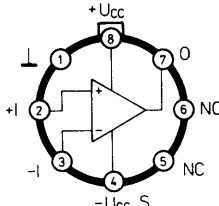
Obr. 2. Funkční skupinové zapojení rychlého komparátoru A110D, B110D, μA710PC, ULY7710N; číslování vývodů pláti pouze pro součástky v plastovém pouzdru DIL-14



Obr. 3. Zapojení vývodů rychlého komparátoru A110D, B110D, μA710PC, μA710PCE, μA710, ULA6710N, ULY7710N, IL710S, K554SA2



Obr. 4. Zapojení vývodů komparátoru ULY7710NA



Obr. 5. Zapojení vývodů komparátoru IL710M, K521CA2 v pouzdru TO-99

Je třeba ještě posoudit, jaký vliv má teplota na velikost výstupního napětí.

Ze vztahů (7) a (8) lze usoudit, že jediným teplotně závislým parametrem je napětí

báze-emitor  $U_{BE}$ , protože odpory rezistorů zůstávají konstantní i při značných změnách teploty. Absolutní tolerance odporu rezistorů nehráje žádnou rozhodující úlohu, proto ji můžeme zanedbat. Teplotní závislost výstupního napětí  $U_2$  je nastavena tak, aby bylo částečně kompenzováno teplotně závislé prahové napětí logického obvodu. U logických obvodů nemá změna prahového napětí zpravidla žádný větší význam, proto dříve popsáný průběh rovněž nemá rozhodující význam. Je-li potřebné zlepšit vlastnosti komparátoru řady 710, lze použít kompenzaci.

### Elektrické vlastnosti komparátorů řady 710

Přehled dostupných komparátorů řady 710 ze zemí RVHP je v tab. 2. Mají různé upravená typová označení, jejich funkce je však stejná. Jednotlivé typy komparátorů se v mnoha elektrických parametrech dosti odlišují, některí výrobci uvádějí jen pro ně nejvhodnější parametry, jinak je definují či zaručují. Proto krátce popisujeme jejich vlastnosti jako doplněk elektrických údajů v tabulkách.

#### Komparátor A110D, B110D

Na našem trhu jsou to nejdostupnější součástky, vyráběné podnikem VEB Halbleiterwerk Frankfurt/O v NDR. Jsou v plastovém pouzdru DIL-14 s 2 x sedmi vývody ve dvou řadách. Elektrické údaje obou komparátorů jsou v tab. 3. Tyto údaje doplňují grafické závislosti na obr. 6 až 14; těch lze využít jako směrných informací při použití všech ostatních popsaných komparátorů řady 710. Vývody obou komparátorů jsou zapojeny podle obr. 3.

Před časem se na našem trhu běžně prodávaly komparátory označené A110C a B110C, dovážené od stejného výrobce z NDR. Jejich elektrické vlastnosti jsou stejné jako u A110D, B110D. Rozdíl je pouze v použitém pouzdru, které je u jmenovaných starších komparátorů keramické. Vnější rozměry jsou přibližně stejné, zapojení vývodů je shodné s novými typy (obr. 3).

#### Komparátor ULY7710N, ULY7710NA, ULA6710N

Polský výrobce Unitra-CEMI vyrábí tři provedení komparátorů řady 710. Základní typ, ULY7710N, je určen pro všeobecné použití a je obdobný typu A110D pro práci v rozsahu teplot od 0 do +70 °C. Druhé provedení, ULY7710NA, má stejné elektrické vlastnosti jako předešlý typ, je však ve zkráceném pouzdru DIL-8 z plastu, které šetří místo na desce s plošnými spoji při zachování všech vlastností základního typu. Zapojení vývodů je na obr. 4. Třetí provedení, ULA6710N, je určeno pro práci v rozšířeném rozsahu provozních teplot od -40 do +85 °C, má zpětně hranice kritických veličin, protože tento komparátor určen pro náročná použití v prů-

Tab. 2. Přehled komparátorů řady 710 podle jednotlivých výrobců v zemích RVHP

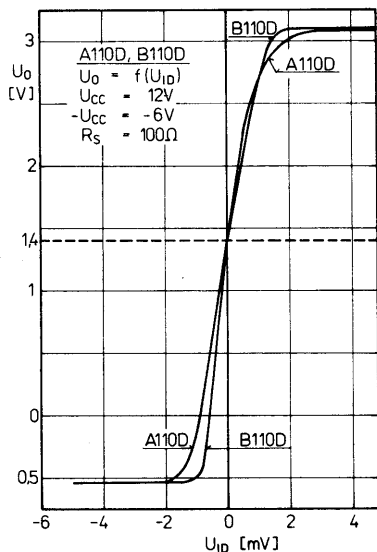
Typ	Výrobce	Rozsah provozních teplot	Pouzdro	Zapojení vývodů na obr.
A110D	VEB HFO, NDR	A	DIL-14	3
B110D	VEB HFO, NDR	B	DIL-14	3
IL710M	RIZ, SFRJ	D	TO-99	5
IL710S	RIZ, SFRJ	A	DIL-14	3
ULA6610N	Unitra-CEMI, PLR	C	DIL-14	3
ULY7710N	Unitra-CEMI, PLR	A	DIL-14	3
ULY7710NA	Unitra-CEMI, PLR	A	DIL-8	4
μA710	Ei, Niš	A	DIL-14	3
μA710PC	MEV, MLR	A	DIL-14	3
μA710PCE	MEV, MLR	B	DIL-14	3
K521CA2	SSSR	C	TO-99	5
K554CA2	SSSR	C	DIL-14	3

Rozsah provozních teplot okolo:

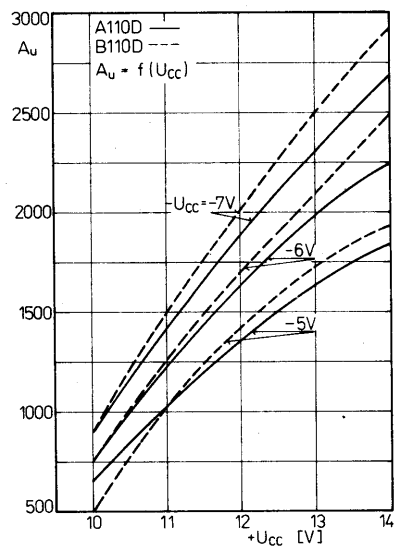
A: 0 až +70 °C, B: -25 až +85 °C, C: -40 až +85 °C, D: -55 až +125 °C.

Tab. 3. Elektrické údaje A110D, B110D (dokončení na str. 85)

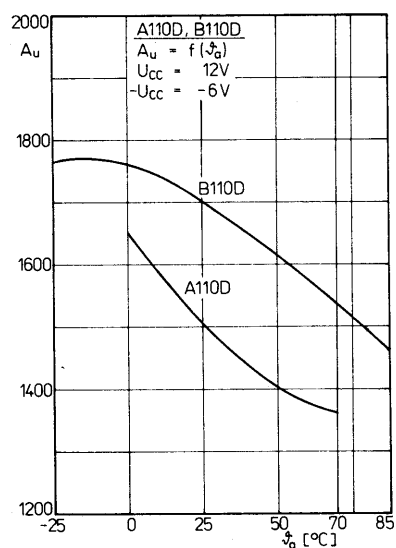
Mezní údaje	
Platí v celém rozsahu provozních teplot.	
Napájecí napětí kladné:	$U_{CC1} \leq +14 \text{ V}$ .
Napájecí napětí záporné:	$U_{CC2} \geq -7 \text{ V}$ .
Vstupní napětí soufázové:	$U_C = -7 \text{ až } +7 \text{ V}$ .
Vstupní napětí diferenční:	$U_D = -5 \text{ až } +5 \text{ V}$ .
Výstupní proud:	$I_O \leq 10 \text{ mA}$ .
Ztrátový výkon celkový:	$P_{tot} \leq 300 \text{ mW}$ .
Rozsah provozních teplot <sup>(1)</sup> :	
A110D:	$\theta_a = 0 \text{ až } +70 \text{ }^{\circ}\text{C}$ .
B110D:	$\theta_a = -25 \text{ až } +85 \text{ }^{\circ}\text{C}$ .
Rozsah skladovacích teplot:	$\theta_{slg} = -55 \text{ až } +125 \text{ }^{\circ}\text{C}$ .



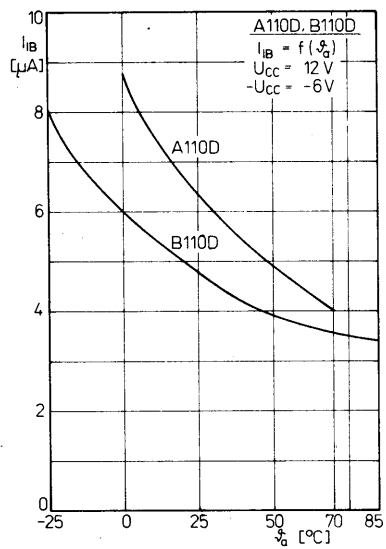
Obr. 6. Přenosová charakteristika komparátorů řady 710



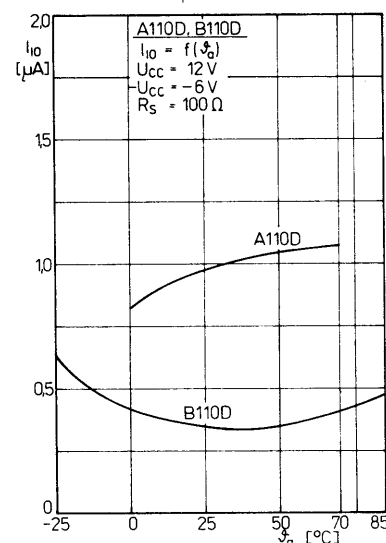
Obr. 7. Napěťové zesílení v závislosti na napájecím napětí komparátorů A110D, B110D (čárkováné průběhy)



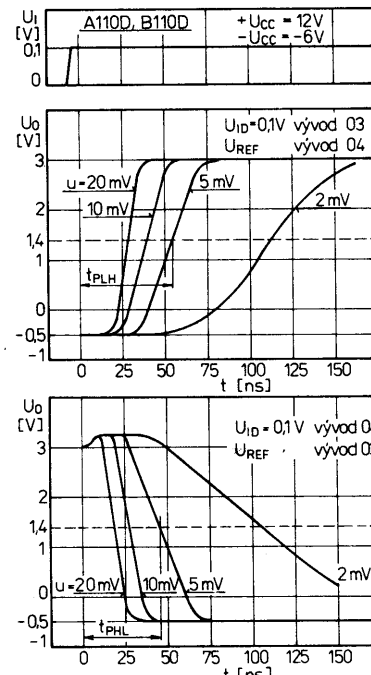
Obr. 8. Napěťové zesílení v závislosti na teplotě okolí komparátorů A110D, B110D



Obr. 9. Závislost vstupní proudové nesymetrie komparátorů A110D na teplotě okolí



Obr. 10. Závislost vstupního proudového nesymetrie komparátorů A110D, B110D na teplotě okolí



Obr. 12. Doba zpoždění průchodu signálu komparátorů A110D, B110D; v horní části obrázku při funkci s kladným funkčním skokem 100 mV, v dolní části obrázku se záporným funkčním skokem

myslové, výpočetní a speciální elektronice. Elektrické údaje komparátorů jsou v tab. 4.

#### Komparátory μA710PC, μA710PCE

Dva typy napěťových komparátorů μA710PC a μA710PCE vyrábí maďarský výrobce polovodičových součástek Mikroelektronika Vállalat (MEV), nástupce dřívějšího podniku Tungsram. Oba komparátory jsou v plastovém pouzdro DIL-14, jejich elektrické údaje jsou uvedeny v tab. 5, zapojení vývodů na obr. 3. Rozdíl mezi oběma typy spočívá v dovoleném rozsahu provozních teplot, μA710PC je určen pro práci v teplotním rozsahu 0 až +70 °C, μA710PCE v rozsahu od -25 až +85 °C.

#### Komparátory μA710

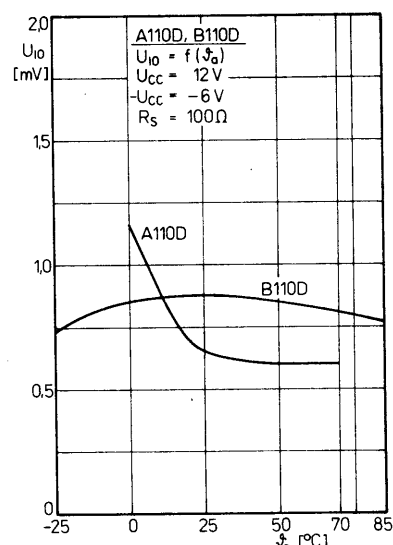
Dalším výrobcem komparátorů 710 je jugoslávský výrobce Elektronika industrija (Ei) v Niši, SFRJ. Jsou v plastovém pouzdro DIL-14, elektrické údaje jsou v tab. 6, zapojení vývodů na obr. 3.

#### Komparátory IL710M, IL710S

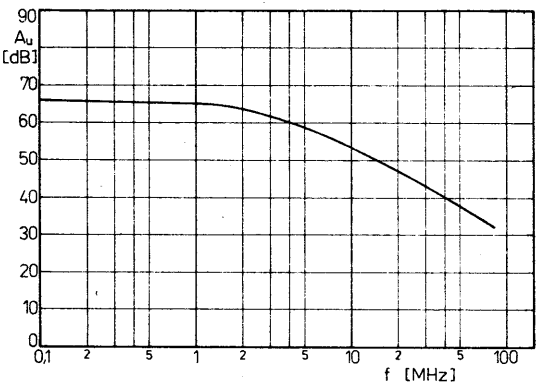
Druhý, dobré známý jugoslávský výrobce polovodičových součástek, RIZ Tvorница Poluvodoviča v Zagrebu, vyrábí komparátory 710 v plastovém pouzdro DIL-14 s označením IL710S se zapojením vývodů podle obr. 3, a v kovovém pouzdro TO-99 s osmi drátovými vývody ve skleněné průchodce s označením IL710M a zapojením vývodů podle obr. 5. Typ IL710S je určen pro běžná, méně náročná zapojení, pracující v rozsahu teplot od 0 do +70 °C, IL710M pro náročná, speciální zapojení v rozsahu teplot od -55 do +125 °C. Tento typ má navíc velmi zúžené hranice kritických veličin. Elektrické údaje jsou v tab. 7.

#### Komparátory K521SA2, K554SA2

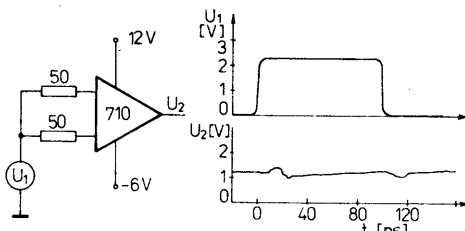
Závody na výrobu integrovaných obvodů v Sovětském svazu vyrábějí napěťový komparátor řady 710 pod označením K554SA2 v plastovém pouzdro DIL-14 se zapojením vývodů podle obr. 3. Před nedávnou dobou vyráběli tentýž komparátor v kovovém pouzdro približně typu TO-99 s osmi drátovými vývody ve skleněné průchodce a zapojením vývodů podle obr. 5. Tento typ se nadále nevyrábí, byvá však v různých výrodejích součástek a nachází se v celé řadě doveze-



Obr. 11. Závislost vstupního napěťového nesymetrie komparátorů A110D, B110D na teplotě okolí



Obr. 13. Informativní závislost zesílení otevřené smyčky na pracovním kmitočtu komparátoru řady 710



Obr. 14. Chování komparátoru řady 710 (průběh výstupního napětí) po přivedení soufázového vstupního impulsu

Tab. 4. Elektrické údaje komparátorů ULY7710N, ULY7710NA, ULA6710N

ných přístrojů. Elektrické údaje obou typů komparátorů jsou stejné a jsou v tab. 8.

Zapojení vývodů komparátorů na obr. 3, 4 a 5 jsou mezinárodně normalizovaná zapojení komparátorů řady 710. Takto zapojení

Pokračování tab. 3

Charakteristické údaje	
Statické údaje	
Plati při $\theta_a = 25^\circ\text{C} \pm 5\text{ K}$ , $U_{CC1} = +12\text{ V}$ , $U_{CC2} = -6\text{ V}$	
Vstupní napěťová nesymetrie $R_S = 100\Omega$ , $U_0 = 1,4\text{ V}$	A110D: $U_0 = \text{jmen. } 1,2; \leq 7,5\text{ mV}$ , B110D: $U_0 = \text{jmen. } 1,0; \leq 5,0\text{ mV}$ , A110D: $U_0 \leq 10\text{ mV}$ , B110D: $U_0 \leq 10\text{ mV}$ .
$R_S = 100\Omega$ , $\theta_a = 0 \text{ až } 70^\circ\text{C}$	B110D: $\Delta U_0 / \Delta \theta_a = \text{jmen. } 2,9; \leq 20\text{ }\mu\text{V/K}$ .
$R_S = 100\Omega$ , $\theta_a = -25 \text{ až } +85^\circ\text{C}$	
Teplotní součinitel vstupní napěťové nesymetrie $\theta_{a1} = -25^\circ\text{C}$ , $\theta_{a2} = +85^\circ\text{C}$ ,	
Vstupní proudová nesymetrie $U_0 = 1,4\text{ V}$	A110D: $I_{10} = \text{jmen. } 1,5; \leq 15\text{ }\mu\text{A}$ , B110D: $I_{10} = \text{jmen. } 1,0; \leq 5\text{ }\mu\text{A}$ , A110D: $I_B \leq 20\text{ }\mu\text{A}$ , B110D: $I_B \leq 20\text{ }\mu\text{A}$ .
$U_0 = 1,4\text{ V}, \theta_a = 0 \text{ až } +70^\circ\text{C}$	A110D: $I_B = \text{jmen. } 18; \leq 100\text{ }\mu\text{A}$ , B110D: $I_B = \text{jmen. } 11; \leq 25\text{ }\mu\text{A}$ , A110D: $I_B \leq 150\text{ }\mu\text{A}$ , B110D: $I_B \leq 150\text{ }\mu\text{A}$ .
$U_0 = 1,4\text{ V}, \theta_a = -25 \text{ až } +85^\circ\text{C}$	
Vstupní klidový proud $U_0 = 1,4\text{ V}$	A110D: $R_O = \text{jmen. } 190\Omega$ , B110D: $R_O = \text{jmen. } 160\Omega$ .
Výstupní napětí – úroveň H $U_O = 10\text{ mV}$ , $I_{OH} = -5\text{ mA}$	A110D: $U_{OH} = \text{jmen. } 2,9; \geq 2,5\text{ V}$ , B110D: $U_{OH} = \text{jmen. } 3,0; \geq 2,5\text{ V}$ , A110D: $U_{OH} = \text{jmen. } 2,6\text{ V}$ , B110D: $U_{OH} = \text{jmen. } 2,8\text{ V}$ .
$U_O = 2,5\text{ V}$ , $I_{OH} = -5\text{ mA}$	
Výstupní napětí – úroveň L $U_O = 10\text{ mV}$ , $I_{OL} = 1,6\text{ mA}$	A110D: $I_{OL} = \text{jmen. } -0,4; \leq 0\text{ V}$ , B110D: $I_{OL} = \text{jmen. } -0,36; \leq 0\text{ V}$ , A110D: $I_{OL} = \text{jmen. } -0,42\text{ V}$ , B110D: $I_{OL} = \text{jmen. } -0,38\text{ V}$ .
$U_O = 2,5\text{ V}$ , $I_{OL} = 1,6\text{ mA}$	
Napěťové zesílení otevřené smyčky $\Delta U_0 = 2\text{ V}$ , $R_S = 100\Omega$ , $R_L = \infty$	A110D: $A_{10} = \text{jmen. } 1500; \geq 750$ , B110D: $A_{10} = \text{jmen. } 1700; \geq 1000$ , A110D: $A_{10} = \text{jmen. } 1350$ , B110D: $A_{10} = \text{jmen. } 1450$ .
$\theta_a = 70^\circ\text{C}$	
$\theta_a = 85^\circ\text{C}$	
Potlačení soufázovosti $R_S = 100\Omega$ , $\Delta U_1 = 10\text{ V}$	A110D: CMR = jmen. 100; $\geq 70\text{ dB}$ , B110D: CMR = jmen. 105; $\geq 70\text{ dB}$ .
Napájecí proud $U_0 = 0\text{ V}$	A110D: $I_{CC1} = \text{jmen. } 5,0; 3 \text{ až } 9\text{ mA}$ , A110D: $I_{CC2} = \text{jmen. } 3,4; 2 \text{ až } 7\text{ mA}$ , B110D: $I_{CC1} = \text{jmen. } 5,5; 3 \text{ až } 9\text{ mA}$ , B110D: $I_{CC2} = \text{jmen. } 3,7; 2 \text{ až } 7\text{ mA}$ .
Dynamické údaje	
Plati při $\theta_a = 25^\circ\text{C} \pm 5\text{ K}$ , $U_{CC1} = +12\text{ V}$ , $U_{CC2} = -6\text{ V}$	
Doba zpoždění průchodu signálu $U_0 = 100\text{ mV}$ , $U = 5\text{ mV}$ , $R_L = 2\text{ k}\Omega$	A110D: $t_{PLH} = \text{jmen. } 53\text{ ns}$ , A110D: $t_{PHL} = \text{jmen. } 44\text{ ns}$ , B110D: $t_{PLH} = \text{jmen. } 55\text{ ns}$ , B110D: $t_{PHL} = \text{jmen. } 47\text{ ns}$ .

1) Součástky jsou použitelné v uvedeném rozsahu provozních teplot s ohledem na teplotní závislost charakteristických údajů v předpokládaném zapojení.

2)  $u$  – přebuzení.

#### Mezní údaje

Napájecí napětí kladné: $+U_{CC} \leq +14\text{ V}$ .
Napájecí napětí záporné: $-U_{CC} \geq -7\text{ V}$ .
Výstupní proud vrcholový: $I_{OM} \leq 10\text{ mA}$ .
Vstupní napětí soufázové: $U_1 = -7 \text{ až } +7\text{ V}$ .
Vstupní napětí diferenční: $U_{ID} = -5 \text{ až } +5\text{ V}$ .
Ztrátový výkon celkový: $P_{tot} \leq 300\text{ mW}$ .
Rozsah pracovních teplot okolí: ULY7710N, ULY7710NA: $\theta_a = 0 \text{ až } +70^\circ\text{C}$ , ULA6710N: $\theta_a = -40 \text{ až } +85^\circ\text{C}$ .
Rozsah skladovacích teplot: $\theta_{stg} = -55 \text{ až } +125^\circ\text{C}$ .

#### Charakteristické údaje ULY7710N, ULY7710NA, ULA6710N

Plati při $\theta_a = +25^\circ\text{C}$ , $+U_{CC} = 12\text{ V}$ , $-U_{CC} = 6\text{ V}$ , není-li uvedeno jinak.
ULY7710N, ULY7710NA: $U_0 = 1,5\text{ V}$ při $\theta_a = 0^\circ\text{C}$ , $U_0 = 1,4\text{ V}$ při $\theta_a = +25^\circ\text{C}$ ,
ULA6710N: $U_0 = 1,2\text{ V}$ při $\theta_a = +70^\circ\text{C}$ .
ULA6710N: $U_0 = 1,8\text{ V}$ při $\theta_a = -40^\circ\text{C}$ , $U_0 = 1,4\text{ V}$ při $\theta_a = +25^\circ\text{C}$ , $U_0 = 1,0\text{ V}$ při $\theta_a = +85^\circ\text{C}$ .

#### Vstupní napěťová nesymetrie

$R_S = 200\Omega$ , $\theta_a = 0 \text{ až } +70^\circ\text{C}$
$\theta_a = -40 \text{ až } +85^\circ\text{C}$
Vstupní proudová nesymetrie $\theta_a = 0 \text{ až } +70^\circ\text{C}$
$\theta_a = +85^\circ\text{C}$
$\theta_a = -40^\circ\text{C}$

#### Vstupní klidový proud

$\theta_a = 0^\circ\text{C}$
$\theta_a = -40^\circ\text{C}$
Napěťové zesílení otevřené smyčky $\Delta U_0 = 1,2\text{ V}$ ( $U_0 = 0,8\text{ V}$ , $U_O = 2\text{ V}$ )
$\theta_a = 0 \text{ až } +70^\circ\text{C}$
$\theta_a = -40 \text{ až } +85^\circ\text{C}$

#### Výstupní proud

$U_I \leq -10\text{ mV}$ , $U_O = 0\text{ V}$
$\theta_a = -40^\circ\text{C}$
$\theta_a = +85^\circ\text{C}$

#### Napájecí proud z kladného zdroje

$U_O \leq 0\text{ V}$ :
Napájecí proud ze záporného zdroje $U_O = 0\text{ V}$ , $U_L = +10\text{ mV}$ :
Výstupní napětí – úroveň H $U_I \geq 10\text{ mV}$ , $I_O = -5\text{ mA}$ až $0\text{ mA}$ :
Výstupní napětí – úroveň L $U_I \leq -10\text{ mV}$ :
Rozsah vstupního napětí

$-U_{CC} = -7\text{ V}$ :
Výstupní odpor:
Doba zpoždění průchodu signálu:
Potlačení soufázového signálu $R_S \leq 200\Omega$ :
CMR = jmen. 98; $\geq 70\text{ dB}$ , ULA6710N: CMR = jmen. 100; $\geq 80\text{ dB}$ .

Tab. 5. Elektrické údaje μA710PC, μA710PCE

Mezní údaje	
Napájecí napětí kladné:)	$U_{CC1} \leq +14$ V.
Napájecí napětí záporné:)	$U_{CC2} \geq -7$ V.
Výstupní proud vrcholový:	$I_{OM} \leq 10$ mA.
Vstupní napětí soufázové:	$U_{IC} = -7$ až +7 V.
Vstupní napětí diferenční:	$U_{ID} = -5$ až +5 V.
Ztrátový výkon celkový: $\theta_a \leq 70^\circ C$ :	$P_{tot} = 670$ mW,
Rozsah provozních teplot: μA710PC:	$\theta_a = 0$ až +70 °C,
μA710PCE:	$\theta_a = -25$ až +85 °C.
Rozsah skladovacích teplot:	$\theta_{stg} = -55$ až +125 °C.
Teplota vývodu při pájení, $t \leq 10$ s:	$\theta_L = 260$ °C.

Charakteristické údaje  
Platí při  $\theta_a = 25^\circ C$ ,  $U_{CC1} = +12$  V,  $U_{CC2} = -6$  V.

Mezní údaje ( $\theta_a = +25^\circ C$ )	
Vstupní napěťová nesymetrie: $R_S \leq 200 \Omega$ :	$U_{IO} = \text{jmen. } 1.6; \leq 5$ mV.
Vstupní proudová nesymetrie:	$I_{IO} = \text{jmen. } 1.8; \leq 5$ μA.
Vstupní klidový proud:	$I_{IB} = \text{jmen. } 16; \leq 25$ μA.
Napěťové zesílení:	$A_{VO} = \text{jmen. } 1500; \geq 1000$ .
Výstupní odpor:	$R_O = \text{jmen. } 200 \Omega$ .
Výstupní proud: $\Delta U_I = 5$ mV, $U_O = 0$ V:	$-I_{OS} = \text{jmen. } 2.5; \geq 1.6$ mA.
Doba zpoždění průchodu signálu $\Delta U_I = 100$ mV, $u = 5$ mV:	$t_{PLH} = \text{jmen. } 40$ ns.

Platí při  $\theta_a = 0$  až +70 °C

Mezní údaje ( $\theta_a = +25^\circ C$ )	
Vstupní napěťová nesymetrie, $R_S \leq 200 \Omega$ μA710PC: μA710PCE:	$U_{IO} \leq 7.5$ mV, $U_{IO} \leq 6.5$ mV.
Střední teplotní součinitel vstupní napěťové nesymetrie: $R_S = 50 \Omega$ , $\theta_a = 0$ až +70 °C:	$U_{IO}/\Delta \theta_a = \text{jmen. } 5; \leq 20$ μV/K.
Vstupní proudová nesymetrie:	$I_{IO} \leq 7.5$ μA.
Střední teplotní součinitel vstupní proudové nesymetrie: $\theta_a = 0$ až +70 °C: $\theta_a = 25$ až 0 °C:	$I_{IO}/\Delta \theta_a = \text{jmen. } 15; \leq 50$ nA/K, $I_{IO}/\Delta \theta_a = \text{jmen. } 24; \leq 100$ nA/K.
Vstupní klidový proud: $\theta_a = 0$ °C:	$I_{IB} = \text{jmen. } 25; \leq 40$ μA.
Rozsah vstupního napětí: $U_{CC2} = -7$ V:	$U_I \geq \pm 5$ V.
Potlačení soufázovosti: $R_S \leq 200 \Omega$ :	CMR = jmen. 98; ≥ 70 dB.
Rozsah vstupního diferenčního napětí:	$U_{ID} \geq +5$ V.
Napěťové zesílení:	$A_{VO} \geq 800$ .
Výstupní napětí – úroveň H: $\Delta U_O \geq 5$ mV, $I_O = 0$ až 5 mA:	$U_{OH} = \text{jmen. } 3.2; 2.5$ až 4 V.
Výstupní napětí – úroveň L: $U_{OL} \geq 5$ mV:	$U_{OL} = \text{jmen. } -0.5; -1$ až 0 V.
Výstupní proud: $U_{ID} \leq 5$ mV, $U_O = 0$ V:	$-I_{OS} \geq 0.5$ mA.
Napájecí proud z kladného zdroje: $U_O \leq 0$ V:	$I_{CC1} = \text{jmen. } 5.2; \leq 9$ mA.
Napájecí proud ze záporného zdroje: $U_O = 0$ V, invertující vstup +5 mV:	$I_{CC2} = \text{jmen. } 4.6; \leq 7$ mA.
Příkon: $U_O = 0$ V, invertující vstup +10 mV:	$P = \text{jmen. } 90; \leq 150$ mW.

1. Napájetí se vztahuje vůči zemnici vývodu.
2. Vstupní napěťová nesymetrie a vstupní proudová nesymetrie jsou definovány pro logická napětí: 0 °C 1,5 V, při 25 °C 1,4 V, při +70 °C 1,2 V.

Tab. 6. Elektrické údaje komparátoru μA710 výrobce Ei

Mezní údaje	
Napájecí napětí kladné:	$+U_{CC} \leq +14$ V.
Napájecí napětí záporné:	$-U_{CC} \geq -7$ V.
Výstupní proud vrcholový:	$I_{OM} \leq 10$ mA.
Vstupní napětí:	$U_I = -7$ až +7 V.
Vstupní napětí diferenční:	$U_{ID} = -5$ až +5 V.
Ztrátový výkon celkový:	$P_{tot} \leq 670$ mW.
Rozsah pracovních teplot okolí:	$\theta_a = 0$ až +70 °C.
Rozsah skladovacích teplot:	$\theta_{stg} = -65$ až +150 °C.
Teplota vývodu během pájení:	$\theta_L \leq 300$ °C.

#### Charakteristické údaje

Platí při  $\theta_a = 25^\circ C$ ,  $+U_{CC} = 12$  V,  $-U_{CC} = -6$  V

Vstupní napěťová nesymetrie:	$U_{IO} \leq 5.0$ mV.
Vstupní proudová nesymetrie:	$I_{IO} \leq 7.5$ μA.
Vstupní klidový proud:	$I_{IB} \leq 40$ μA.
Teplotní součinitel vstupní napěťové nesymetrie:	$TK_{U_{IO}} \leq 5.0$ μV/K.
Napěťový zisk:	$A_{VO} \geq 0.8$ V/mV.
Rozsah vstupního napětí:	$U_I = -5$ až +5 V.
Rozsah vstupního diferenčního napětí:	$U_{ID} = -5$ až +5 V.
Výstupní napětí – úroveň L:	$U_O = -0.5$ až -3.2 V.
Doba zpoždění průchodu signálu:	$t_{PLH} = \text{jmen. } 40$ ns.
Příkon v provozu:	$P \leq 150$ mW.
Logický zisk:	$N = \text{jmen. } 1$ .

Tab. 7. Elektrické údaje komparátorů IL710M, IL710S výrobce RIZ

Mezní údaje ( $\theta_a = +25^\circ C$ )	
Napájecí napětí kladné:	$+U_{CC} \leq +14$ V.
Napájecí napětí záporné:	$-U_{CC} \geq -7$ V.
Výstupní proud vrcholový:	$I_{OM} \leq 10$ mA.
Vstupní napětí:	$U_I = -7$ až +7 V.
Vstupní napětí diferenční:	$U_{ID} = -5$ až +5 V.
Ztrátový výkon celkový):	$P_{tot} \leq 300$ mW.
Rozsah provozních teplot okolí	
IL710S:	$\theta_a = 0$ až +70 °C,
IL710M:	$\theta_a = -55$ až +125 °C.
Rozsah skladovacích teplot:	$\theta_{stg} = -65$ až +150 °C.
Teplota vývodu při napájení:	$\theta_L \leq 300$ °C.
Zkrat výstupu:	$t \leq 10$ s.

#### Charakteristické údaje

Platí při  $\theta_a = +25^\circ C$ ,  $+U_{CC} = 12$  V,  $-U_{CC} = -6$  V

Mezní údaje ( $\theta_a = +25^\circ C$ )	
Vstupní napěťová nesymetrie	$R_S \leq 200 \Omega$
IL710M:	$U_{IO} = \text{jmen. } 0.6; \leq 2$ mV,
IL710S:	$U_{IO} = \text{jmen. } 1.6; \leq 5$ mV.
Vstupní proudová nesymetrie	
IL710M:	$I_{IO} = \text{jmen. } 0.7; \leq 3$ μA,
IL710S:	$I_{IO} = \text{jmen. } 1.8; \leq 5$ μA.
Vstupní klidový proud	
IL710M:	$I_{IB} = \text{jmen. } 13; \leq 20$ μA,
IL710S:	$I_{IB} = \text{jmen. } 16; \leq 25$ μA.
Napěťový zisk	
IL710M:	$A_{VO} = \text{jmen. } 1700; \geq 1250$ ,
IL710S:	$A_{VO} = \text{jmen. } 1500; \geq 1000$ .
Výstupní proud	
$\Delta U_I \geq 5$ mV, $U_O = 0$ V	$-I_{OS} = \text{jmen. } 2.5; \geq 2.0$ mA,
IL710M:	$-I_{OS} = \text{jmen. } 2.5; \geq 1.6$ mA.
IL710S:	$t_{PLH} = \text{jmen. } 40$ ns.
Doba zpoždění průchodu signálu:	

#### Zaručené elektrické údaje v celkovém rozsahu teplot

IL710M:  $\theta_a = -55$  až +125 °C,

IL710S:  $\theta_a = 0$  až +70 °C, není-li uvedeno jinak

Vstupní napěťová nesymetrie	
$R_S \leq 200 \Omega$	$U_{IO} \leq 3.0$ mV.
IL710M:	$U_{IO} \leq 6.5$ mV.
IL710S:	
Teplotní součinitel vstupní napěťové nesymetrie	
$R_S = 50 \Omega$	
$\theta_a = +25$ až +125 °C	$TK_{U_{IO}} = \text{jmen. } 3.5; \leq 10$ μV/K,
$\theta_a = +25$ až -55 °C	$TK_{U_{IO}} = \text{jmen. } 2.7; \leq 10$ μV/K,
$\theta_a = 0$ až 70 °C	$TK_{U_{IO}} = \text{jmen. } 5.0; \leq 20$ μV/K.
Vstupní proudová nesymetrie	
$\theta_a = +125$ °C	$I_{IO} = \text{jmen. } 0.25; \leq 3$ μA,
$\theta_a = -55$ °C	$I_{IO} = \text{jmen. } 1.8; \leq 7$ μA,
$\theta_a = +25$ °C	$I_{IO} \leq 7.5$ μA.
Teplotní součinitel vstupní proudové nesymetrie	
$\theta_a = +25$ až +125 °C	$TK_{I_{IO}} = \text{jmen. } 5.0; \leq 25$ nA/K,
$\theta_a = +25$ až -55 °C	$TK_{I_{IO}} = \text{jmen. } 15; \leq 75$ nA/K,
$\theta_a = +25$ až 0 °C	$TK_{I_{IO}} = \text{jmen. } 24; \leq 100$ nA/K,
$\theta_a = +25$ až +70 °C	$TK_{I_{IO}} = \text{jmen. } 15; \leq 50$ nA/K.
Vstupní klidový proud	
$\theta_a = -55$ °C	$I_{IB} = \text{jmen. } 27; \leq 45$ μA,
$\theta_a = 0$ °C	$I_{IB} = \text{jmen. } 25; \leq 40$ μA.
Potlačení soufázovosti	
$R_S \leq 200 \Omega$	CMR = jmen. 100; ≥ 80 dB,
$R_S \geq 200 \Omega$	CMR = jmen. 98; ≥ 70 dB.
Rozsah vstupního napětí	$U_I \geq \pm 5$ V.
$-U_{CC} = -7$ V:	
Rozsah vstupního diferenčního napětí	$U_{ID} \geq \pm 5$ V.

Napájecí zisk	IL710M: IL710S:	$A_{\text{O}} \geq 1000$ , $A_{\text{O}} \geq 800$ .
Výstupní napětí – úroveň H $\Delta U_i \geq 5 \text{ mV}$ , $I_O \leq 5 \text{ mA}$ :		$U_{\text{OH}} = \text{jmen. } 3,2; 2,5 \text{ až } 4 \text{ V}$ .
Výstupní napětí – úroveň L $\Delta U_i \geq 5 \text{ mV}$ :		$U_{\text{OL}} = \text{jmen. } -0,5; -1 \text{ až } 0 \text{ V}$ .
Výstupní proud $\Delta I_i \leq 5 \text{ mV}$ $\vartheta_a = +125^\circ \text{C}$ $\vartheta_a = -55^\circ \text{C}$ $\vartheta_a = +25^\circ \text{C}$	IL710M: IL710M: IL710S:	$-I_{\text{OS}} = \text{jmen. } 1,7; \geq 0,5 \text{ mA}$ , $-I_{\text{OS}} = \text{jmen. } 2,3; \geq 1,0 \text{ mA}$ , $-I_{\text{OL}} \leq 0,5 \text{ mA}$ .  $+I_{\text{CC}} = \text{jmen. } 5,2; \leq 9 \text{ mA}$ .  $-I_{\text{CC}} = \text{jmen. } 4,6; \leq 7 \text{ mA}$ . $P = \text{jmen. } 90; \leq 150 \text{ mW}$ .

1) Ztrátový výkon u IL710S platí při  $\vartheta_C = +70^\circ \text{C}$ , u IL710M při  $\vartheta_C$  do  $+125^\circ \text{C}$ , při  $\vartheta_a$  do  $+105^\circ \text{C}$ , při vyšších teplotách okolí se musí lineárně zmenšit o 5,6 mW/K.

né komparátory vyrábějí rovněž nejrůznější firmy z nesocialistických států. Funkce vývodu: +I – neinvertující vstup, -I – invertující vstup, O – výstup,  $+U_{\text{CC}}$  napájecí napětí ze záporného zdroje,  $+U_{\text{CC}}$  – napájecí napětí z kladného zdroje. Používané funkční skupinové zapojení popsaných komparátorů je na obr. 6.

Ještě upozornění: Všechna zapojení vývodů s rozmištěním jednotlivých elektrod jsou kreslena při *pohledu shora*, jak se v současné době všeobecně používá. To platí i pro komparátory v pouzdře TO-99.

#### Definice elektrických veličin

K lepšímu a snadnějšímu pochopení jednotlivých vlastností komparátorů jsou určeny následující vysvětlivky, doplněné názvy v angličtině (a) a německy (n).

**Vstupní napěťová nesymetrie** (Input Offset Voltage (a), Eingangs-Nullspannung (n)) – je napětí, které se musí přivést z vnějšku na vstupní vývody komparátoru, aby bylo na výstupu napětí odpovídající logickému prahovému napětí. Často se napěťová nesymetrie (nulovací napětí) udává při přesně stejných, sériově zapojených rezistorach ve vstupních vývodech.

**Vstupní proudová nesymetrie** (Input Offset Current (a), Eingangs-Nullstrom (n)) – je rozdíl vstupních proudů, protékajících do komparátoru, přičemž na výstupu musí být logické prahové napětí.

**Vstupní klidový proud** (Input Bias Current (a), Eingangs-Ruhestrom (n)) – je střední hodnota obou vstupních proudů, přičemž na výstupu musí být logické prahové napětí.

**Rozsah vstupního napětí** (Input Voltage Range (a), Eingangs-Spannungsbereich (n)) – je přípustné napětí na každém vstupu, při němž je komparátor ještě funkční v mezech daných charakteristických údajů.

**Rozsah vstupního diferenčního napětí** (Difference Input Voltage Range (a), Differenz-Eingangsspannungsbereich (n)) – je přípustné napětí mezi oběma vstupními vývody, při němž je komparátor ještě funkční.

**Napěťový zisk (zesílení)** (Voltage Gain (a), Spannungsverstärkung (n)) – je poměr změny výstupního napětí ke změně napětí mezi oběma vstupy, přičemž výstupní stejnosměrné úroveň leží co nejbliže u logického prahového napětí.

**Vstupní odpor** (Input Resistance (a), Eingangswiderstand (n)) – je odpor, který se naměří v každém vstupu, je-li druhý (právě neměřený) vstup spojen se zemí.

**Výstupní odpor** (Output Resistance (a), Ausgangswiderstand (n)) – je odpor, který se naměří na výstupu, rovná-li se výstupní úroveň logickému prahovému napětí.

**Kladná výstupní úroveň** (Positive Output Level (a), Positiver Ausgangspegel (n)) – kladná stejnosměrná výstupní napětí při daném vstupním stejnosměrném napětí.

**Záporná výstupní úroveň** (Negative Output Level (a), Negativer Ausgangspegel (n))

Tab. 8. Elektrické údaje komparátorů K521SA2, K554SA2

Mezní údaje	
Napájecí napětí kladné:	$+U_{\text{CC}} \leq +14 \text{ V}$ .
Napájecí napětí záporné:	$-U_{\text{CC}} \geq -7 \text{ V}$ .
Vstupní napětí diferenční:	$U_{\text{IO}} = -5 \text{ až } +5 \text{ V}$ .
Zatěžovací odpor:	$R_L \leq 1 \text{ k}\Omega$ .
Rozsah pracovních teplot okolí:	$\vartheta_a = -45 \text{ až } +85^\circ \text{C}$ .
Charakteristické údaje	
Plati při $+U_{\text{CC}} = 12 \text{ V} \pm 10\%$ , $-U_{\text{CC}} = -6 \text{ V} \pm 10\%$	
Vstupní napěťová nesymetrie $R_S \leq 200 \Omega$ , $U_0 = 1,4 \text{ V}$ :	$U_0 \leq 7,5 \text{ mV}$ .
Vstupní proudová nesymetrie $U_0 = 1,4 \text{ V}$ :	$I_0 \leq 10 \mu\text{A}$ .
Vstupní klidový proud $U_0 = 1,4 \text{ V}$ :	$I_B \leq 75 \mu\text{A}$ .
Napěťové zesílení $U_0 = 1,4 \text{ V}$ , $U_0 = 500 \text{ mV}$ :	$A_{\text{O}} \geq 750$ .
Vstupní napětí – úroveň H $U_i = 20 \text{ mV}$ , $I = 5 \text{ mA}$ :	$U_{\text{OH}} = 2,5 \text{ až } 4 \text{ V}$ .
Vstupní napětí – úroveň L $U_i = 20 \text{ mV}$ :	$U_{\text{OL}} \leq 0,3 \text{ V}$ .
Napájecí proud z kladného zdroje $U_i = 20 \text{ mV}$ :	$+I_{\text{CC}} \leq 9 \text{ mA}$ .
Napájecí proud ze záporného zdroje $U_i = 20 \text{ mV}$ :	$-I_{\text{CC}} \leq 8 \text{ mA}$ .
Doba zpoždění průchodu signálu $U_{\text{OH}} = 1,4 \text{ V}$ :	$t_{\text{PLH}} \leq 130 \text{ ns}$ .

– záporné stejnosměrné výstupní napětí při daném vstupním stejnosměrném napětí.

**Vstupní proud vrcholový** (Peak Output Current (a), Spitzenausgangsstrom (n)) – maximální výstupní proud, který může protékat z výstupu do zátěže, aniž by se komparátor zničil.

**Vstupní proud záporný** ( $-I_{\text{OS}}$ ) (Output Sink Current (a), Austrittstrom (n)) – maximální záporný proud, který smí protékat do výstupu komparátoru.

**Příkon** (Power Consumption (a), Leistungsaufnahme (n)) – stejnosměrný příkon komparátoru v nezatiženém stavu. Tento příkon se poněkud mění s úrovní přiváděného signálu, je však specifikován jako maximum uvnitř přípustných mezi výstupního signálu.

**Doba zpoždění uvolnění** (Strobe Release Time (a), Austastverzögerung (n)) – doba potřebná k tomu, aby na výstupu byla logická prahová úroveň, přivede-li se na vyklíčovací vstup (strobe) logický napěťový skok. Přitom se předpokládá, že vstupní podmínky připoštějí žádanou změnu výstupu.

**Doba zpoždění průchodu signálu** (Response Time (a), Einschwingzeit (n)) – je doba, která plyně od okamžiku, kdy je na výstupu komparátoru logické prahové napětí, připoji-li se na vstup v okamžiku  $t = 0$  jednotkový napěťový skok. Je-li vstupní stejnosměrné napětí komparátoru tak velké, že komparátor přejde do stavu nasycení, a v tomto okamžiku se připojí určitá vstupní skoková funkce, která je právě tak velká, aby se výstupní napětí překlopilo ze stavu nasycení do stavu, kdy je na výstupu logické prahové napětí, mluvíme o logickém přebezení (up) pro tu určitou vstupní skokovou funkci.

**Vzorkovaná výstupní úroveň** (Strobed Output Level (a), Getasterter Ausgangspegel (n)) – stejnosměrná výstupní úroveň, nezávislá na vstupním napětí, daná předepsaným napětím, připojeným na vzorkovací vývod komparátoru (strobe).

**Vzorkovací proud** (Strobe Current (a), Austaststrom (n)) – je maximální proud, který smí protékat vzorkovacím vyklíčovacím vývodem (strobe).

Uvedené definice platí též pro daleji popsaný dvojitý komparátor řady 711. Upravě neměřeného systému se musí vzorkovací vývod (strobe) uvést do nečinného stavu.

#### Vlastnosti komparátorů

Jak jsme již poznali, funkce komparátoru spočívá v tom, že na jeho výstupu je vždy číslicová úroveň, je-li vstupní napětí větší než předepsané referenční napětí, a komplementární číslicová úroveň, je-li vstupní napětí menší než referenční napětí.

Kromě vlastností jako je např. napájecí napětí, napájecí proudy, příkon, mezní údaje, se komparátory charakterizují některými zvláštnostmi jako:

- přesnost, se kterou komparátor rozeznává vstupní signál od referenčního napětí,
- rychlosť, s níž komparátor rozeznává (porovnává) signály, a jaký vliv má rychlosť na již uvedenou přesnost,
- vliv zatížení výstupu komparátoru na přenosnost a rychlosť.

První z uvedených bodů můžeme objasnit tak, že vstupní napěťovou symetrii definuje jako napětí mezi oběma vstupy komparátoru, při němž vznikne na výstupu prahová logická úroveň. Zjednodušeně můžeme označit vstupní napětí komparátoru jako kritickou veličinu pro logické rozhodování výstupu.

Dosáhne-li logické napětí na výstupu komparátoru prahové úrovni, postačí velmi malá změna vstupního napětí k tomu, aby výstup přešel z logického stavu „0“ do stavu L (což odpovídá napětí 0 V, popř.  $+U_{\text{CC}}$ ). Není žádoucí, aby výstup komparátoru kmital mezi úrovněmi 0 a L, protože toto kmitání nezůsobuje na výstupu logického zapojení žádné dodatečné změny, ale zmenšuje se tím odstup rušivých signálů.

Definujeme-li vstupní napětí potřebné k vybuzení komparátoru uvedeným způsobem, může se zesílení následujícího logického obvodu připočít k zesílení komparátoru, címž se určí počáteční citlivost a vlivy chyb. Toto celkové zesílení je u komparátorů řady 710 ve spojení s logickým obvodem TTL asi 50 000. Stejně velké zesílení se dosáhne též se všemi logickými obvody, takže přesnost zesílení nemusíme nadále zohledňovat. K tomu postačí vzít v úvahu napěťovou nesymetrii komparátoru.

Vliv vnitřního odporu zdroje signálu na přesnost komparátoru se může určit nulova-

cím proudem vstupní proudové nesymetrie a to za předpokladu, že vnitřní odpory v obou vstupech komparátoru jsou stejně velké. Při větších rozdílech odporů se musí počítat se středním vstupním proudem. K zamezení práce s nevhodnou pracovní vstupní napěťovou nebo proudovou nesymetrií se může nulovací napětí určit též tak, že se rezistor v každém vstupu komparátoru volí s přesně stejným odporem nebo odporem menším než je předepsaný. Vstupní odpor k určení zatištění signálu nelze u komparátoru použít. Vstupní impedance komparátoru se značně mění, prochází-li rozdílové vstupní napěti nulou (je např. více než  $1\text{ M}\Omega$  při vstupním napěti větším než  $200\text{ mV}$ ).

Rychlosť komparátoru lze definovat dosti obtížně. Dobu zpoždění průchodu signálu čili rychlosť reakce integrovaného obvodu můžeme definovat několika způsoby. Nejpříznivější je určení přesnosti amplitudity velkého impulsu. Je to vlastní případ, kdy se přivede na jeden vstup komparátoru referenční napětí např. o velikosti  $0,1\text{ V}$  a na druhý vstup skoková funkce. Ještě předtím, než se na vstup připojí skoková funkce, je výstup komparátoru spolehlivě nasycen v jednom směru. Komparátor je plně nasycen již při vstupním napěti okolo  $100\text{ mV}$ . Za určitou dobu po připojení skokové funkce dosáhne výstup komparátoru logického prahového napětí, pokud se amplituda skokové funkce odlišuje od referenčního napětí jen o velikost nulovacího napětí.

Právě zmíněný časový úsek (doba zpoždění průchodu signálu) je při tomto rozdílu přibližně nekonečný, přinejmenším těžce zjistitelný. Mimoto mohou i nejmenší rušivé signály tento časový úsek silně zkreslit. Proto se doba zpoždění udává s určitým „přebuzením“ (označuje se  $\mu$ ), čímž se dosáhne upotřebitelného údaje. Amplituda skokové funkce se zvětší o určitou velikost nad minimální potřebnou velikost, která výstup komparátoru právě uvede ze stavu nasycení do stavu s logickou prahovou úrovni. Nyní se může definovat doba zpoždění jako doba, která plyně od okamžiku připojení skokové funkce až do okamžiku, kdy výstupní napětí komparátoru právě dosáhne úrovni logického prahového napětí.

Dynamickou chybu, danou určitou dobou zpoždění, je možné určit potřebným přebuzením. Pro malá přebuzení je chyba větší a přitom je nezávislá na absolutní výši skokové funkce, pokud je tato funkce větší než  $100\text{ mV}$ . Menší absolutní velikost skokové funkce udává menší dobu základu, protože komparátor není přitom zcela nasycen.

Poslední, třetí bod, můžeme vysvětlit dvěma metodami. Bud' se definuje maximální výstupní amplituda komparátoru při dané zátěži, nebo maximální logický zisk ( $N$ ) určité spolupracující logiky, při níž komparátor ještě spolehlivě pracuje v daných podmínkách.

Dosud uvedená vysvětlení nezohledňují všechny vlastnosti komparátorů. Tak např. vstupní napěťová a proudová nesymetrie (nulovací napětí a nulovací proud) s použitím vnitřního odporu zdroje signálu nebo bez něj. Některé z těchto parametrů si objasníme za použití graficky zobrazených průběhů charakteristických veličin.

Přenosová charakteristika komparátorů řady 710 je znázorněna na obr. 6. Z ní je patrné, že komparátorem se mohou řídit všechny logické obvody. Zesílení je přitom tak velké, že změna prahového napětí změní přesnost jen velmi nepatrno. V celém rozsahu dovolených pracovních teplot (podle typu od  $0$  do  $+70^\circ\text{C}$  nebo od  $-25$  do  $+85^\circ\text{C}$ , popříp. jiných teplotních rozsahů) má pra-

covní teplota jen malý vliv na průběh zobrazené charakteristiky.

Na obr. 7 je napěťové zesílení v závislosti na napájecím napětí, na obr. 8 na teplotě okolí komparátorů A110D, B110D (čárkování průběhy). Napěťové zesílení bude menší se zvyšující se teplotou, popříp. větší s větším napájecím napětím.

Proudové zesílení tranzistorů komparátoru bude větší se zvyšující se teplotou, proto se tím zmenší současně střední výstupní proud a proudová vstupní nesymetrie, jak ukazují grafické závislosti na obr. 9 a 10. Na obr. 11 je po úplnosti uvedena závislost vstupní napěťové nesymetrie komparátorů A110D, B110D na teplotě okolí.

Průběh krátké doby zpoždění průchodu signálu komparátoru je na obr. 12. V horní části diagramu je průběh při provozu komparátoru s referenčním napětím  $100\text{ mV}$  a kladným funkčním skokem  $100\text{ mV}$ . Zpoždění je uvedeno pro přebuzení napětí o velikosti  $2\text{ mV}$ ,  $5\text{ mV}$ ,  $10\text{ mV}$  a  $20\text{ mV}$ . V dolní části diagramu jsou znázorněny stejné průběhy, avšak při provozu komparátoru se záporným funkčním skokem  $100\text{ mV}$  a referenčním napětím  $100\text{ mV}$ .

Informativní kmitočtová charakteristika komparátorů řady 710 v rozsahu lineárního vybuzení je na obr. 13. Doba zpoždění průchodu signálu se vypočte z šířky pásmá  $3\text{ dB}$  ( $4,5\text{ MHz}$ ) kmitočtového průběhu. Odtud je zřejmé, že naměřené údaje jsou mnohem menší. Komparátor má i při velmi vysokých kmitočtech ještě velké zesílení, neboť se u něj nezavádí zpětná vazba. Při šířce pásmá  $3\text{ dB}$  na kmitočtu  $4,5\text{ MHz}$  je zisk ještě  $60\text{ dB}$ .

Soufázovost stejnosměrného proudu je potlačena u komparátorů řady 710 typicky asi  $90\text{ dB}$ . U rychlého komparátoru je zvlášť důležitý kmitočtové závislé potlačení soufázovosti. Na obr. 14 je graficky znázorněn tento vliv při provozu se strmým vstupním signálem (impulsem). Výstup komparátoru při něm není podstatně ovlivňován.

Z uváděných charakteristických údajů vstupní napěťové a proudové nesymetrie je možné soudit, že vnitřní struktura komparátoru je skutečně symetrická. Uvedené údaje platí pro dané napájecí napětí. Z dříve uvedených vztahů (1) až (8) je však patrné, že vliv napájecího napětí nemá podstatný vliv na charakteristické vlastnosti komparátoru. Proto komparátor může pracovat též s menším napájecím napětím než předepisuje výrobce, a to do  $+10\text{ V}$  a  $-4\text{ V}$  za předpokladu, že tím způsobené menší zesílení a menší kladná výstupní amplituda postačí pro zamýšlené použití.

### Logická slučitelnost

Logická slučitelnost komparátorů má v našem případě ten význam, že komparátor může řídit připojené logické obvody i v nejpříznivějších podmínkách ve stavu nasycení. Rozdíl logického prahového napětí, pro něž je komparátor určen, se musí upravit o vliv vloženého napětí. Plnému rozsahu změny prahového napětí odpovídá u většiny logických obvodů změna vstupní napěťové nesymetrie na vstupu komparátoru max. o  $1\text{ mV}$ . Tento vliv v praxi můžeme většinou zanedbat.

Vstupní vlastnosti komparátoru se definují při kladné a záporné výstupní amplitudě se záťaží nebo bez ní, což odpovídá logickému zapojení. Následující informace má sloužit k určení mezních provozních údajů komparátoru ve spojení s různými logickými zapojeními a při určitých pracovních podmínkách.

Jestliže komparátor řady 710 pracuje ve spojení s logickým zapojením RTL, působí komparátor jako oddělovací stupeň (výkonový stupeň) s velkým logickým ziskem ( $N$ ). Protože je komparátor napájen větším kladným napětím než spolupracující zapojení

RTL, může být vnitřní ztrátový výkon komparátoru při provozu v úrovni L poněkud velký. Velký proud protékající z výstupu komparátoru zpomaluje funkci logického zapojení, což je výsledkem silného přebuzení. Proto je účelné zapojit do výstupního vývodu sériový rezistor, jímž se omezí výstupní proud. Pro logický zisk  $N = 1$  se doporučuje použít rezistor s odporem  $1,5\text{ k}\Omega$ , pro  $N = 2\text{ }510\text{ }\Omega$ , pro  $N = 3\text{ }270\text{ }\Omega$ . Paralelně k rezistoru se může připojit kondenzátor o kapacitě  $100\text{ pF}$  (zkrátí se spinaci doba).

Stejná pravidla platí pro logiku TTL s malým ztrátovým výkonem, která se často označuje jako miliawattová logika (MWL). Rozdíl je pouze ve velikosti odporu sériově zapojených rezistorů. Pro logický zisk  $N = 1$  je vhodný odpor  $2,2\text{ k}\Omega$ , pro  $N = 3$  odpor  $1,3\text{ k}\Omega$ . I v tomto případě se může k rezistoru připojit paralelní kondenzátor s malou kapacitou.

U logických obvodů DTL omezuje proud tekoucí z logického zapojení do výstupu komparátoru velikost logického zisku. Komparátor může řídit pouze jeden vstup obvodu DTL. S vnějším rezistorem  $3,6\text{ k}\Omega$ , zapojeným vůči vývodu  $-6\text{ V}$ , je logický zisk  $2$ , s rezistorem  $2,2\text{ k}\Omega$  je logický zisk  $3$ .

Pro spolupracující logiku TTL platí stejná pravidla jako pro logiku DTL. U komparátoru v zapnutém stavu určuje proud, protékající z logického zapojení, celkovou velikost logického zisku. V úrovni L komparátem protékající zbytkový proud vstupu TTL ne-představuje žádné omezení, protože výstup komparátoru při kladné úrovni může dodávat velký proud. Protékající zbytkový proud je ve srovnání s výstupním proudem komparátoru sestinou proudu v úrovni 0.

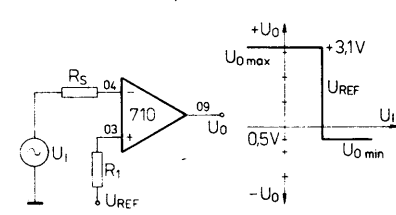
Komparátor řady 710 mohou přímo řídit rovněž logiku CTL, která se v současné technice používá jen zřídka. Velikost logického zisku bývá v tomto případě v rozmezí 1 až 2.

### Typická základní zapojení komparátorů řady 710

Jednoduchý detektor napěťové úrovni s komparátorem řady 710 s diferenčním vstupem se zapojí tak, že se jeden vstup připojí ke zdroji referenčního signálu v rozmezí  $\pm 5\text{ V}$ , na druhý vstup se přivádí měřené napětí. Výstupní signál tohoto jednoduchého detektora napěťové úrovni v zapojení podle obr. 15 se mění, jakmile vstupní signál překročí velikost referenčního napětí. Výstup bude spínat po kladné nebo záporné úrovni podle toho, jak jsou zapojeny vstupy komparátoru. Postup spínání ukazuje obrázek.

Popsané zapojení nachází široké uplatnění. Protože se vyznačuje velkou odolností proti rušení (asi  $5\text{ V}$ ), může se používat jako oddělovací stupeň mezi zapojeními s velkou impulsní úrovni a integrovanými logickými součástkami s malou napěťovou úrovni. Jediným využavením napětí se může řídit rušivý odstup celé řady výkonových zesilovačů.

V analogově číslicových převodníkách se používá komparátor řady 710 v zapojení, u něhož je jeden vstup spojen s referenčním napětím, na druhý vstup se přivádí signál z vyhodnocovací sítě. Protože má kompará-



Obr. 15. Zapojení jednoduchého detektora napěťové úrovni s komparátorem řady 710

tor velkou vstupní citlivost, může se používat přímo jako čtecí zesilovač a detektor prahové úrovně v páskových nebo deskových pamětech. Komparátor se může používat rovněž k regeneraci impulzů, u nichž se musí přesně dodržovat napětí prahové úrovně.

Několik dalších doporučení k provozu po-  
sameného zapojení:

Odpor zdroje referenčního napětí a zdroje signálu má být stejný, pokud možno ne větší než  $200 \Omega$ . Jen tak se udrží vstupní napěťová nesymetrie a teplotní závislost co nejmenší.

Vstupní soufázové a vstupní diferenční napětí nesmí překročit  $\pm 5 V$ , neboť při větším napětí se může prorazit přechod emitor-báze vstupních tranzistorů nebo se zvětší vstupní proudy natolik, že poškodi vstupní stupeň komparátoru. Je-li např. na jednom vstupu napětí  $+5 V$ , může se druhý vstup vybudit maximálně na potenciál země.

Protože má komparátor jako vícestupňový zesilovač velké napěťové zesílení až do kmitočtu několika MHz, musí se dobré blokovat napájecí napětí. Dlouhé, neblokovány přívody napětí, popř. nevhodná konstrukce desky s plošnými spoji mohou způsobit neřízené rozkmitání celého zapojení. Blokování napájecích vývodů elektrolytickými nebo vnitřními papírovými kondenzátory není dostačující účinné. Kladná a záporná napájecí napětí se má odebírat ze zdrojů s velmi malým vnitřním odporem ( $řádově m\Omega$ ), na integrovaný obvod se má přivádět co nejkratším vedením. Přímo na IO se musí napájecí přívody blokovat proti zemi keramickými kondenzátory s malou indukčností. Pečlivá montáž, při níž se musí vstup a výstup prostorově co nejlépe oddělit, je rovněž podmínkou bezvadné funkce komparátoru.

V některých případech se vyžaduje detektor prahové úrovně s hysterezí, který může spolehlivě zpracovávat zašuměné signály při průchodu nulou. Hysterezní napětí se volí záměrně poněkud větší než maximální očekávané šumové napětí. Kladná zpětná vazba, zaváděná rezistorem  $R_2$  v zapojení podle obr. 16, způsobuje žádanou hysterezní napětí. Horní a dolní úroveň prahového detektoru je dána vztahy

$$U_h = U_{REF} + \frac{R_1}{R_1 + R_2} (U_{2\max} - U_{REF}) \quad (1)$$

$$U_d = U_{REF} + \frac{R_1}{R_1 + R_2} (U_{2\min} - U_{REF}) \quad (2)$$

Hysterezní napětí odvodíme z obou uvedených vztahů jako

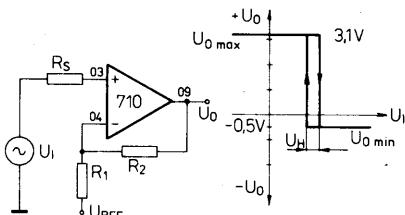
$$U_H = U_h - U_d$$

nebo též jako

$$U_H = \frac{R_1}{R_1 + R_2} (U_{2\max} - U_{2\min}) \quad (3)$$

Nejmenší velikost hysterezního napětí je určena zesílením v předním směru a rozsahem vybuzení výstupního napětí. Není-li zesílení v předním směru větší než kladná zpětná vazba, určená poměrem rezistorů  $R_1$  a  $R_2$ , může se detektor rozkmitat na kladné úrovni výstupního napětí. Tím jsou dány meze odporu rezistorů  $R_1$  a  $R_2$  a rovněž velikost hysterezního napětí  $U_H$ , které však nemá být větší než  $5 \text{ mV}$ . Hysterezní napětí se může změnit, jestliže se např. zapojí hradlo DTL a zavede kladná zpětná vazba z výstupu hradla. Přidavným zesílením hradla se může dosáhnout hysterezního napětí max.  $0,2 \text{ mV}$ .

Zapojení podle obr. 16 se může použít rovněž jako Schmittův klopový obvod. Jeho předností je možnost provozu se zápornou nebo kladnou úrovní prahových hodnot, přičemž je možno horní a dolní prahovou úrovně nezávisle nastavit v širokém rozsahu.

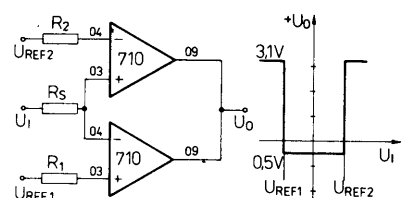


Obr. 16. Zapojení komparátoru ve funkci detektoru napěťové úrovně s hysterezí

Nejmenší napěťová nesymetrie a malá tepelná závislost se může dodržet zachováním vztahu

$$R_S = \frac{R_1 R_2}{R_1 + R_2}$$

K určování impulsní nebo napěťové amplitudy uvnitř určitých, předem daných mezi, doporučuje se použít zapojení podle obr. 17. Je to praktický případ testovacích automatů součástek na principu testu GO/NO-GO, kterými se vyhodnocují naměřené veličiny, ležící mezi horní a dolní hranicí jako dobré, ostatní, ležící mimo tuhoto oblast, jako špatné. Velmi elegantně lze popsány problém řešit dvěma komparátory, které pracují jako okénkový diskriminátor. Dva komparátory se propojí tak, aby dolní mezni napětí



Obr. 17. Jednoduchý okénkový diskriminátor se dvěma komparátory řady 710

$U_{REF1}$  bylo na neinvertujícím vstupu dolního komparátoru, horní mezni napětí  $U_{REF2}$  na invertujícím vstupu horního komparátoru. Zbylé vstupy jsou spojeny a přiváděny se na ně porovnávací napětí přes sériový rezistor  $R_S$ . Odporník rezistoru  $R_S$  se musí volit podle vztahu

$$R_S = \frac{R_1}{2} = \frac{R_2}{2}$$

Správnou volbou rezistoru  $R_S$  se dosáhne přesnosti funkce komparátoru v závislosti na proudové nesymetrii, nikoli na velkém vstupním klidovém proudu.

Komparátory řady 710 jsou vhodnou součástkou pro monostabilní multivibrátory, neboť spouštěcí bod se může v celém rozsahu prahových úrovní nastavit s přesností  $\pm 10 \text{ mV}$ . Kladný výstupní impuls dostane se, jestliže referenční napětí překročí velikost záporného vstupního impulsu. Během doby přidržení  $t$  si podrží výstupní impuls kladnou úroveň, pak se zmenší zpět na stabilní úroveň 0 V. Dobu  $t$  můžeme vypočítat ze vztahu

$$t = (R_2 + R_3) C_1 \log \frac{\Delta U_2 R_2}{U_{REF} (R_2 + R_3)}$$

Rezistorem  $R_3$  se zkracuje nebo prodlužuje doba zotavení. Jeho odpor může být 10 až  $20 \times$  větší než odporník rezistoru  $R_2$ , aníž by se podstatně ovlivnila přesnost časových vlastností. Při referenčním napětí  $U_{REF}$  větším než 0 V dostaneme s kladnými budicími signály záporné výstupní impulsy.

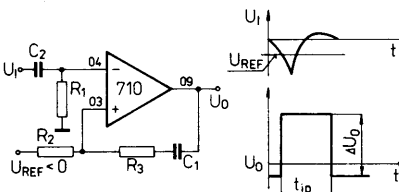
Kladné výstupní napěťové impulsy při kladných spouštěcích impulsech a záporné napěťové impulsy při záporných impulsech odevzdá multivibrátor tehdy, jestliže spojíme

spouštěcí vazební kondenzátor  $C_2$  s neinvertujícím vstupem (vývod 3). Střídavé působení mezi spouštěcím obvodem a zpětnovazebním zapojením je podmínkou dobré funkce multivibrátoru.

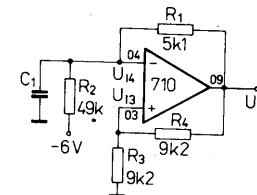
Požadujeme-li stabilní velikost spouštěcího napětí, musí se rezistory  $R_1$  a  $R_2$  souhlasně s požadavky ostatních obvodů navrhovat s menším odporem. Odporník rezistoru  $R_2$ , který je sériově spojen s efektivním odporem zdroje referenčního signálu, se má přibližně rovnat odporu rezistoru  $R_1$ .

Velikost napětí  $\Delta U_2$  impulsu je závislá hlavně na kladném napájecím napětí a na záťaze výstupu. Běžně se používá  $+3,7 \text{ V}$  při provozním napájecím napětí  $+12 \text{ V}$  a  $-6 \text{ V}$ .

Dobu trvání výstupních impulsů  $t$  můžeme nastavit kondenzátorem  $C_1$  a rezistory  $R_2$  a  $R_3$  podle výše uvedeného vztahu. Použijeme-li přesný komparátor A110D, je přesnost překlápného multivibrátoru značná ( $\pm 10 \text{ mV}$  v napěťovém rozsahu  $\pm 5 \text{ V}$ ). Zapojení na obr. 18 je proto vhodné pro všeestranné monostabilní multivibrátory se značnými požadavky na přesnost.



Obr. 18. Monostabilní multivibrátor s komparátorem řady 710



Obr. 19. Astabilní multivibrátor s komparátorem řady 710

S komparátorem řady 710 můžeme konstruovat též jednoduché astabilní multivibrátory podle základního zapojení na obr. 19. Princip jejich funkce: Přes rezistory  $R_4$  a  $R_3$  je zavedena kladná zpětná vazba z výstupu na neinvertující vstup. Změna vstupního napětí  $U_2$  na vývodu 2 je

$$(U_{2\max} - U_{2\min}) \frac{R_3}{R_3 + R_4}$$

mění-li se výstupní napětí ze stavu L ( $-0,5 \text{ V}$ ) do stavu H ( $+3,2 \text{ V}$ ). V časovém bodě překlopení je napětí na vývodu 3 ( $U_3$ ) a tím též napětí na kondenzátoru  $C_1$  stejně jako napětí  $U_2$  na vývodu 2, které je dáno stavem úrovně L na výstupu.

Napětí na kondenzátoru se změní v okamžiku, kdy se výstup sepne na úroveň H (napětí  $U_2 = U_{2\max} = 3,2 \text{ V}$ ) na

$$(U_{2\max} + U_- \frac{R_1}{R_2}) \frac{R_2}{R_1 + R_2},$$

kde  $U_-$  je záporné napětí na rezistoru  $R_2$ ,  $U_{2\max}$  napětí při úrovni H výstupu komparátoru.

Efektivní odporník rezistoru časové konstanty přebíjení je dán vztahem

$$R_{ef} = \frac{R_1 R_2}{R_1 + R_2}.$$

Výstup zůstává v úrovni H tak dlouho, až se kondenzátor (popř. napětí na vývodu 3) nabije na napětí, působící na vstupu 2

$$U_{12} = \frac{R_3}{R_3 + R_4} U_{2\max}.$$

Poté se výstup překlopí do stavu L a pochází se opakuje v obráceném pořadí.

Popsaný multivibrátor se může navrhovat pro kmitočty až do 5 MHz, neboť průchod signálu komparátorem je zpoždění velmi málo. K dalšímu zlepšení vlastností multivibrátoru na vysokých kmitočtech se doporučuje připojit mezi výstup a neinvertující vstup 2 kondenzátor s kapacitou několika pF.

Aby multivibrátor sám spouštěl, musí mít komparátor takové předpřetí, které nastaví jeho stejnosměrný pracovní bod mimo lineární rozsah. Poměr odporu rezistorů  $R_4/R_3$  a  $R_1/R_2$  je volen tak, aby napětí, na něž se kondenzátor  $C_1$  nabije, bylo stále kladnější než napětí  $U_{12}$  při výstupním napětí  $U_2 = U_{2\max}$ .

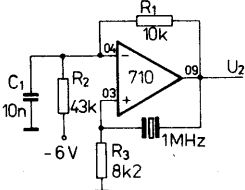
Maximální teplotní stabilita pracovního bodu vyžaduje přesně stejný odpor zdrojů na vstupech 2 a 3. Při napájecím napětí +12 V a -6 V bude na výstupu komparátoru ve stavu H napětí +3,2 V, ve stavu L napětí -0,5 V.

*Nakonec malý příklad:* Návrh zapojení multivibrátoru se symetrickým napětím na výstupu předpokládá volbu rezistorů

$$\begin{aligned} R_2 &= 9,7R_1, \\ R_3 &= 1,8R_1, \\ R_4 &= 1,8R_1. \end{aligned}$$

Pro rezistor  $R_1$  platí však omezení: Je-li  $R_1$  menší než 1 kΩ, může se omezeným výstupním proudem vybudit výstupní napětí až do -0,5 V. Bude-li  $R_1$  větší než 24 kΩ, výstupní proudová nesymetrie podstatně ovlivní symetrii výstupního napětí.

Velmi stabilní provoz mají krystalem řízené oscilátory s kmitočtem 1 MHz, osazené komparátorem řady 710. Křemenný krystal, zapojený mezi výstup a neinvertující vstup komparátoru podle obr. 20, zavádí kladnou



Obr. 20. Krystalem řízený oscilátor s komparátorem řady 710

zpětnou vazbu. Stejnosměrný pracovní bod je nastaven rezistory  $R_1$  a  $R_2$ .  $R_2$  je připojen mezi záporně napájecí napětí a invertující vstup tak, aby byl zaručen automatický náběh oscilátoru a oscilace přitom zůstaly v lineární, nenasycené oblasti.

Oscilační kmitočet zajišťuje zpětná vazba, způsobená kondenzátorem  $C_1$ . K teplotní stabilizaci slouží rezistor, jehož odpor se vypočte podle vztahu

$$R_3 = \frac{R_1 R_2}{R_1 + R_2}.$$

Při doporučeném napájecím napětí +12 V a -6 V je střední výstupní napětí přibližně +1,35 V. Jestliže se neinvertující vstup spojí rezistorem  $R_3$  se zemí, dostaneme pro optimální předpřetí poměr rezistorů podle vztahu

$$\frac{R_1}{R_2} = \frac{1,35}{U_-},$$

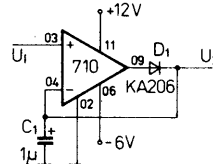
kde je  $U_-$  záporné napájecí napětí. Rezistor  $R_1$  nemá však mít odpor větší než 47 kΩ.

Aby se při oscilačích nevyšlyla záporná zpětná vazba, musí reaktance kondenzátoru splňovat podmínu

$$X_{C_1} \leq \frac{R_1}{500}.$$

Vhodnou volbou vnějších součástek oscilátoru lze konstruovat popsané oscilátory s kmitočtem vyšším než 5 MHz.

Přesně lze měřit napěťové špičky rychlých impulsních komparátorů řady 710 v zapojení podle obr. 21. Měřené impulsy přivádime na neinvertující vstup komparátoru. Výstupní



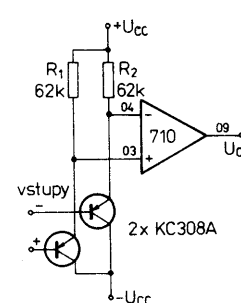
Obr. 21. Detektor špičkového napětí rychlých kladných impulsních, osazený komparátorem řady 710;  $C_1$  – tantalový kondenzátor

signál se přivádí z blokovacího kondenzátoru  $C_1$  přímo na invertující vstup. Je-li vstupní signál větší než výstupní, bude výstup vybuzen kladně a kondenzátor se nabije velmi rychle přes diodu  $D_1$ . Zmenší-li se vstupní napětí pod napětí na kondenzátoru  $C_1$ , bude výstup komparátoru vybuzen záporně a dioda se stane nevodivou. Tím zůstává kondenzátor nabit na špičkovou velikost vstupního signálu.

Malá vstupní napěťová nesymetrie a krátká doba zpoždění průchodu signálu komparátorem umožňují měřit impulsy se šírkou do 100 ns s přesností 5 mV. Rozsah nasazení je přitom určen schopnosti vybuzení (0 V až +2,5 V) komparátoru. Doba zákmitu napěti na kondenzátoru je závislá na vstupním kladovém proudu komparátoru (přibližně 20 ms/V). Spojí-li se výstup rezistorem se záporným napájecím napětím, detektor sleduje měnící se signály rychleji. V důsledku velkého vstupního odporu se zatěžuje zdroj přiváděného signálu při vrcholovém vstupním signálu proudem okolo 25 μA.

Komparátor řady 710 se může použít též jako předzesilovací stupeň, sloužící ke zvětšení vstupního odporu. Aby se nepřetěžoval zdroj signálu nebo zdroj referenčního napětí, doporučuje se pro některá použití zmenšit vstupní proud komparátoru, nejjednodušeji tak, že se předfádi diferenční stupeň s vybranými diskrétními tranzistory v zapojení podle obr. 22 až 24.

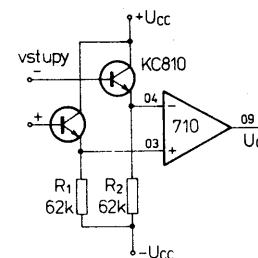
Zapojení na obr. 22 používá k tomuto účelu tranzistory p-n-p. Rozsah vstupního napětí je ±5 V. Zapojení na obr. 23 je s tranzistory p-n-p použito k tomuto účelu.



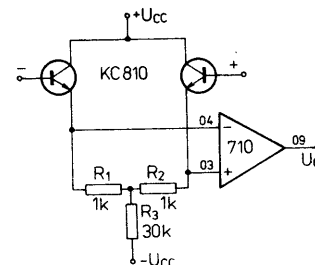
Obr. 22. Zapojení předzesilovacího stupně s tranzistory p-n-p, který slouží ke zvětšení vstupního odporu

zistorem n-p-n. Je účelné tam, kde je zapotřebí porovnávat vstupní napětí menší než -2 V.

Zapojení na obr. 24 je obdobou předchozího zapojení, jeho přednost spočívá v tom, že dosahuje stejně doby zpoždění průchodu



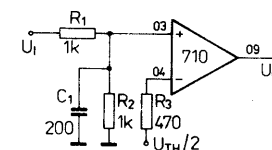
Obr. 23. Zapojení předzesilovacího stupně s tranzistory n-p-n, který slouží ke zvětšení vstupního odporu



Obr. 24. Zapojení předzesilovacího stupně s tranzistory n-p-n pro zvětšení vstupního odporu, který má stejnou dobu zpoždění jako použitý komparátor

signálu, jakou má samotný použitý komparátor. Umožňuje to poněkud zmenšený odpor zdroje komparátoru (asi na 2 kΩ). Rozvážením symetrie emitorových rezistorů  $R_1$  a  $R_2$  se může podle potřeby vyvážit výstupní napětí komparátoru. Spínací rychlosť se může zmenšit kapacitou kolektor-báze vstupních tranzistorů, které zatěžují zdroje signálů. Tranzistory vstupního stupně se musejí vybrat na co nejmenší kapacitu kolektor-báze a velké proudové zesílení při malém kolektovém proudu. K dosažení velké spinací rychlosti se smí zatěžovat zdroj kapacitou nejvýše 10 pF.

V číslicových systémech se obvykle propojují různé části přístrojů dlouhými vedeními, při nichž vzniká nebezpečí nežádoucího rušení. Použije-li se výkonový zesilovač s komparátorem řady 710 s velkou odolností proti rušení v zapojení podle obr. 25, může se toto rušení poměrně dobře potlačit. Re-



Obr. 25. Výkonový zesilovač s komparátorem, vyznačující se velkou odolností proti rušení

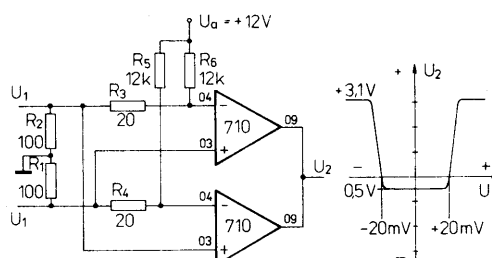
zistorový dělič na vstupu umožňuje dobré zpracování impulsů s velkou amplitudou. Rychlé špičky rušivého napětí zneškodňuje kondenzátor  $C_1$ . Přes integrovanou působení kondenzátoru dostaneme na výstupu v důsledku velkého zesílení komparátoru impulsy se strmou nábežnou hranou. Minimální teplotní závislost zesilovače vyžaduje volit odpor rezistoru  $R_3$  podle vztahu

$$R_3 = \frac{R_1 R_2}{R_1 + R_2}.$$

Další obor použití nacházejí komparátory řady 710 v číslicové technice zpracování dat jako čtecí zesilovač v paměťových jednotkách. Oproti běžným zapojením nabízí čtecí zesilovač s komparátorem některé přednosti. Běžné čtecí zesilovače mají ponejvíce diferenční vstup a direktní výstup. Zesilují výstupní signál z jádrové paměti, přičemž potlačují velké soufázové signály během čtení. Vlastní prahová úroveň čtecího napětí je přitom určena na výstupu zesilovače. Uvedený postup má tu nevýhodu, že se musí mimořádně konstantně udržovat napěťová nesymetrie, zesílení a výstupní soufázové napětí čtecího zesilovače. Pouze tak se dosáhne přesné prahové úrovně.

V zapojení čtecího zesilovače se dvěma komparátory podle obr. 26 je prahová úroveň čtecího signálu přímo připojena na

Obr. 26. Čtecí zesilovač jádrové paměti, osazený dvěma komparátory řady 710



vstup, proto má na ni vliv pouze vstupní napětí nesymetrie. Protože tato nesymetrie je velmi malá, může se prahová úroveň čtení udržovat téměř nezávisle na teplotě okolí. Rezistory  $R_1$  a  $R_2$  jsou zakončovací rezistory čtecího vedení. Prahová úroveň čtecího signálu je v podstatě určena úbytkem napětí na rezistorech  $R_3$  a  $R_4$ .

Proud, který protéká z napěťového zdroje ( $U_a$ ) přes rezistor  $R_6$ ,  $R_3$ ,  $R_2$ , popříp.  $R_5$ ,  $R_4$ ,  $R_1$ , určuje úbytek napětí na  $R_3$ , popříp.  $R_4$  a tím též prahovou úroveň čtecího signálu. Změnou odporu rezistorů  $R_5$ , popříp.  $R_6$  je možné pro každý jednotlivý čtecí zesilovač nastavit prahovou úroveň čtení s ohledem na napěťovou nesymetrii. Pragovou úroveň čtení je možné měnit u celé řady čtecích zesilovačů změnou vyvažovacího napětí  $U_a$ . Bez napěťového vyvážení a bez zvláštního výběru použitých součástek se dosáhne stabilní úrovně čtení v rozmezí  $\pm 5$  mV.

Stejnosměrnými signály (např. s napětím 1 V), které se projeví během čtení, se změní prahová úroveň čtení jen zcela nepatrně (asi o 8 %). Protože ve většině případů jádrové paměti dostávají soufázový signál během čtení menší než 0,5 V, můžeme tento vliv zanedbat.

Použité komparátory obsahují přímo vázané jednotlivé stupně s malými paměťovými dobami, takže doba zotavení při řízení diferenčním nebo soufázovým signálem je kratší než 50 ns. U střídavým napětím vázaných zesilovačů se stejnosměrným napětím zmenšuje citlivost na rušení prahovým napětím.

Jestliže se oddělí výstupy, dostaneme buď kladné nebo záporné logické signály podle toho, jak jsou zapojeny vstupy, které se musejí cyklicky měnit.

Popsané zapojení nemá zvláštní možnost snímání, neboť ta se realizuje bez obtíží v následné logice. Přesto může snímací impuls způsobit, že se během čtecího postupu sepne kladné napájecí napětí z klidového napětí +7 V na provozních +12 V. Tím se současně zmenší ztrátový výkon během doby čekání o činitel 3.

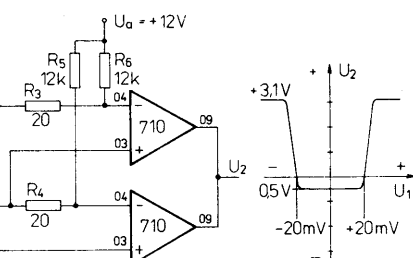
Některé paměti, např. dvousé, dodávají pro logické úrovny 0 a 1 signály s obrácenou polaritou. V tomto případě je zapotřebí jako čtecí zesilovač pouze jeden komparátor, u něhož se diferenční vstup spojí přímo se čtecím vedením. Během snímacího intervalu je na výstupu buď úroveň log. 0 nebo log.

1 podle toho, jakou polaritu má vstupní impulsa.

**Upozornění:** Číslování vývodů ve všech doporučených zapojeních komparátorů se vzťahuje ke komparátorům v pouzdu DIL-14, zapojení vývodů podle obr. 3.

### Dvojitě napěťové komparátory řady 711

Integrované bipolární dvojitě napěťové komparátory řady 711 jsou navrženy podle stejných pravidel jako komparátory řady 710. Jsou vyrobeny epitaxní planární technologií na křemíkové podložce. Plocha čipu celého systému obvodu má rozměr 1,6 mm<sup>2</sup>. Hlavní přednosti těchto dvojitych komparátorů jsou krátké doby zpoždění průchodu



signálu, malý ztrátový výkon a slučitelnost téměř se všemi řadami logických integrovaných obvodů.

Použití dvojitych komparátorů řady 711 je zvlášť výhodné ve čtecích zesilovačích v magnetických pamětech. Prahové napětí komparátoru závisí prakticky jen na použitých vnějších rezistorech, takže zesilovací vlastnosti jsou ve značné míře nekritické. Konstrukce zapojení komparátoru zaručuje dobrou stabilitu v celém rozsahu dovolených pracovních teplot okolí. Rovněž při menší úrovni výkonu jsou komparátory dostatečně rychlé.

Každý z obou systémů dvojitého komparátoru se může klíčovat nezávisle. V logickém zapojení OR se může připojit k výstupu až osm čtecích zesilovačů. Výstupní amplituda a řízení výstupu vzorkováním (vyklíčováním) jsou slučitelné s většinou typů logických integrovaných obvodů.

### Popis funkce

Vnitřní elektrické zapojení dvojitého komparátoru řady 711 je na obr. 27. Toto zapojení platí pro všechny dále popisované výrobky ze zemí RVHP. Základní funkce komparátoru je v podstatě stejná jako u jednodu-

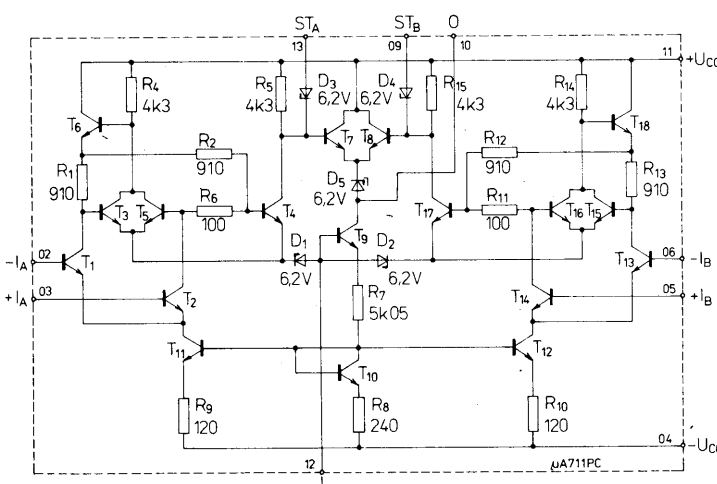
chého komparátoru řady 710. Na vstup se přivádí jedno signální a jedno referenční napětí. Obě se komparátorem porovnávají; podle toho, které je větší, vytvoří se na výstupu komparátoru úroveň logické „0“ (0, L), nebo „jedničky“ (1, H). Popisovaný dvojitý komparátor je složen ze dvou nezávislých systémů, jejichž výstupy jsou spojeny do logického členu OR. Každý systém je vybaven vzorkovacím (vyklíčovacím) vstupem ST.

Protože komparátor porovnává vstupní napětí, je jako vstupní stupeň použit diferenční zesilovač s tranzistory  $T_1$  a  $T_2$ . Tím je kompenzováno napětí báze-emitor, je-li na vstupech úroveň 0. Oba systémové vstupní stupně se napájejí ze zdroje konstantního proudu (tranzistor  $T_{11}$ ), takže proudy kolektorů jsou nezávislé na soufázovém vstupním napětí. Druhý stupeň komparátoru je rovněž kompenzován. Tranzistor  $T_4$  slouží jako druhý stupeň, tranzistor  $T_3$  kompenzuje tranzistor  $T_4$ . Oba uvedené tranzistory mají stejnou geometrii, jejich báze se napájejí přes rezistory  $R_1$  a  $R_2$  ze společného napěťového bodu.

Jsou-li proudy kolektorů vstupního stupně stejně velké, platí totéž pro tranzistor  $T_3$  a  $T_4$ , při čemž druhý stupeň je rovněž v rovnovážném stavu. Tranzistor  $T_3$  je současně zapojen jako obraťec signálu se zesílením 1. Výstup  $T_1$  je tím invertován a v kombinaci s  $T_2$  (fázově správně přičítá) spojen s bází  $T_4$ . Na tranzistoru  $T_4$  je nyní asymetrický výstup, přičemž jsou však zachovány všechny přednosti diferenčního stupně. Toto zapojení má zvláštní výhodu. Asymetrický výstup ve vyváženém stavu je necitlivý vůči změnám kladného napájecího napětí. Budeli napájecí napětí např. větší, zvětší se proud kolektorů tranzistorů  $T_3$  a  $T_4$  stejnou měrou a výstupní napětí na  $T_4$  zůstane konstantní. Zenerova dioda  $D_1$  v emitoru druhého stupně dovoluje velký kladný rozsah vstupního napětí. Dovolená velikost kladného vstupního napětí je určena napětím báze druhého stupně a v tomto případě je okolo 7 V.

K posuvu napěťové úrovně slouží Zenerova dioda  $D_5$ . Tranzistor  $T_5$  potlačuje vazbu výstupu vůči tranzistoru  $T_{10}$ , který je zapojen jako kompenzační dioda, a je nutný pro zdroj konstantního proudu. Činností kompenzační diody vzniká na rezistoru  $R_9$  jen velmi malý úbytek napětí, čímž se zvětší přípustné záporné soufázové napětí.

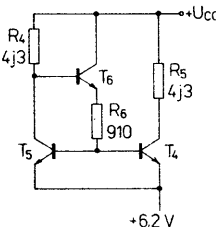
Vnitřní elektrické zapojení využívá ještě přídavný tranzistor  $T_5$ . Jeho úkolem je změnit proud báze tranzistoru  $T_4$  v době, kdy tento tranzistor přejde do nasyceného stavu.



Obr. 27. Vnitřní elektrické zapojení dvojitého komparátoru μA711PC, μA711PCE, ULY7711N, ULA6711N, CLB2711EC

Tim se zmenší nejen ztrátový výkon, ale i doba pamatování tranzistoru  $T_4$ .

Pracuje-li komparátor v lineárním provozu, vytvoří proud kolektoru tranzistoru  $T_2$  na rezistoru  $R_6$  napěťový úbytek pólovaný tak, že tranzistor  $T_5$  zůstává uzavřen. Proto  $T_5$  neovlivňuje provoz komparátoru v lineárním rozsahu. Při jednom velkém záporném vstupním napětí bude tranzistor  $T_2$  uzavřen, takže úbytek napětí na rezistoru  $R_6$  se neprojeví a tranzistor  $T_5$  se stane vodivým. Úbytek napětí na rezistorech  $R_2$  a  $R_6$  je ve vodivém stavu tranzistoru  $T_5$  velmi malý, naproti tomu úbytek napětí na  $R_1$  je velký, neboť tranzistorem  $T_1$  protéká přibližně celý proud z tranzistoru  $T_{11}$ . Úbytek napětí na rezistoru  $R_1$  uzavří tranzistor  $T_3$ . Tento stav je zjednodušené znázorněn s vodivým  $T_5$  a uzavřeným  $T_3$  na obr. 28. Rezistor  $R_6$  byl vypuštěn, neboť úbytek napětí na něm je možné zanedbat. Tranzistory  $T_4$  a  $T_5$  jsou elektricky identické, proto proudy kolektorů jsou stejně velké, neboť tranzistory pracují se stejným napětím báze-emitor.



Obr. 28. Zjednodušené zapojení části komparátoru pro omezení stavu nasycení

Proud kolektoru  $T_5$  je určen odporem rezistoru  $R_4$  a na něm vzniklým úbytkem napětí. Napětí kolektor-emitor tranzistoru  $T_5$  je  $2U_{BE} (T_5 + T_6)$  plus napěťový úbytek na rezistoru  $R_2$ , který je tak malý, že jej můžeme zanedbat. Totéž platí pro tranzistor  $T_4$ , neboť jeho kolektor-emitor proud je stejně velký jako u tranzistoru  $T_5$  (rezistory  $R_4$  a  $R_5$  jsou stejné). Je však žádoucí, aby tranzistor  $T_4$  pracoval v nasyceném stavu, čímž dostane vhodnou zápornou výstupní napěťovou úroveň. U integrovaných analogových obvodů to lze udělat snadno tak, že se plocha emitoru  $T_5$  zvolí menší než tranzistor  $T_4$ . Proto tranzistorem  $T_4$  protéká při stejném napětí báze-emitor větší proud než  $T_5$ . Použitím této metody přichází tranzistor  $T_4$  do velmi slabě nasyceného stavu, takže paměťová doba tranzistoru je minimální.

Z vnitřního zapojení na obr. 27 je patrné spojení obou emitorů na výstupu každého systému do logického člena OR. K posunutí úrovni na spojeneckém výstupu postačí pouze jedna Zenerova dioda  $D_5$  a dělič ze současťek  $T_6$ ,  $R_7$ ,  $T_{10}$ ,  $R_8$ . V bodě báze obou emitorových sledovačů je připojena vždy jedna Zenerova dioda ( $D_3$ ,  $D_4$ ). Zvolené uspořádání umožňuje oddělené vzorkování (vyklíčování) obou komparátorů. Spojí-li se vzorkovací vývod ST se zemí, nelze výstup komparátoru měnit, neboť je pevně udržován na napětí Zenerovy diody. Vzorkovací vývod se může využít též k omezení kladného výstupního napětí.

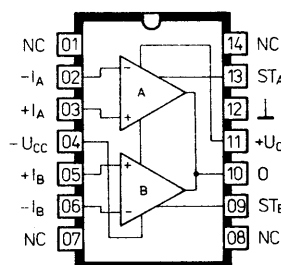
### Elektrické vlastnosti dvojitých komparátorů řady 711

Přehled dostupných komparátorů řady 711 ze zemí RVHP je v tab. 9; podobně jako komparátor řady 710 mají různě upravená typová označení. Jejich funkce je sice stejná, avšak jednotlivé komparátory od různých výrobců se v mnoha elektrických paramet-

rech odlišují. Úplné elektrické údaje komparátorů jsou v tab. 10 až 13.

### Komparátor ULY7711N, ULA6711N

Dvě provedení dvojitých komparátorů řady 711 vyrábí polský výrobce Unitra-CEMI. Základní typ ULY7711N je určen pro běžná použití v rozsahu teplot od 0 do  $+70^\circ\text{C}$ . Pro použití v rozšířeném rozsahu pracovních teplot od  $-40$  do  $+85^\circ\text{C}$  je určen komparátor ULA6711N. Ten se navíc dodává se zpřísněnými hranicemi kritických veličin, proto je vhodný pro přístroje průmyslové, výpočetní a speciální elektroniky. Oba komparátory jsou v plastovém pouzdro DIL-14 s  $2 \times$  sedmi vývody ve dvou řadách. Zapojení vývodů je na obr. 29.



Obr. 29. Zapojení vývodů dvojitých komparátorů ULA6711N, ULY7711N,  $\mu$ A711PC,  $\mu$ A711PCE, CLB2711EC, K554CA1

### Komparátor $\mu$ A711PC, $\mu$ 711PCE

Maďarský výrobce MEV (dříve Tungsram) rovněž vyrábí dvě provedení dvojitého komparátoru  $\mu$ A711PC a  $\mu$ A711PCE. Navzájem se odlišují rozsahem povolených pracovních teplot okolo  $- \mu$ A711PC je určen pro práci v rozsahu teplot 0 až  $+70^\circ\text{C}$ ,  $\mu$ A711PCE v rozsahu  $-25$  až  $+85^\circ\text{C}$ . Jsou v plastovém pouzdro DIL-14, zapojení vývodů je shodné s polskými výrobky na obr. 29. Elektrické údaje jsou v tab. 11.

### Komparátor CLB2711EC, CLB2711CII72

Na našem trhu jsou snadno dostupné dvojité komparátory CLB2711EC z výroby rumunského výrobce I.P.R.S. v Baneasa. Na rumunském trhu je k dostání též dvojitý komparátor označovaný znakem CLB2711CII72, na pouzdro zpravidla označovaný pouze CII 72. Elektrické vlastnosti obou komparátorů jsou stejné s výjimkou maximálního ztrátového výkonu a tepelného odporu přechod-pouzdro (tab. 12). Rozdíl spočívá v použití pouzdu obou součástek. Typ CLB2711EC je v plastovém pouzdro DIL-14 se zapojením vývodů podle obr. 29, typ CLB2711CII72 je v kovovém pouzdro TO-100 s deseti drátovými vývody ve skleněném průchode, zapojení vývodů je na obr. 30. Rozsah povolené provozní teploty 0 až  $+70^\circ\text{C}$  platí pro obě součástky.

### Komparátor K521SA1, K554SA1

Dvojité komparátory řady 711 označují závody na výrobu polovodičových součástek v Sovětském svazu typovým znakem K554SA1 a K521SA1. První z nich je v plas-

tovém pouzdru DIL-14 se zapojením vývodů podle obr. 29. Dříve se vyráběl tentýž komparátor v kovovém pouzdro TO-100 se zapojením vývodů podle obr. 30. Tento typ, K521SA1, se již nevyrábí, je však používán v mnoha starších zařízeních. Jeho nahrazení je možná úpravou na novější typ. Elektrické údaje obou komparátorů jsou stejné a jsou v tab. 13.

Zapojení vývodů dvojitých komparátorů na obr. 29 a 30 je rovněž mezinárodně normalizováno pro komparátory řady 711. Stejně zapojení komparátory vyrábí řada různých výrobců v nesocialistických státech, které je možné nahradit popsanými dostupnými součástkami ze zemí RVHP. Funkce vývodů:  $+I_A$ ,  $-I_A$  – neinvertující vstup systému A,  $B$ ,  $-I_B$  – invertující vstup systému A,  $B$ ,  $ST_A$ ,  $ST_B$  – vzorkovací vstup systému A,  $B$ ,  $O$  – společný výstup obou systémů,  $-U_{CC}$  – napájecí napětí ze záporného zdroje,  $+U_{CC}$  – napájecí napětí z kladného zdroje.

Upozornění: Všechna zapojení vývodů komparátorů s rozmištěním jednotlivých elektrod jsou kreslena při pohledu shora, jak se nyní všeobecně používá. Platí to rovněž pro komparátory v pouzdro TO-100.

Elektrické údaje v tabulkách doplňují grafické závislosti na obr. 31 až 37, které sice platí pro dvojité komparátory CLB2711EC, ale v podstatě je lze jako informativní použít ve spojení s komparátory ostatních výrobců. Přenosová charakteristika dvojitého komparátoru při teplotě  $+25^\circ\text{C}$  je na obr. 31. Pracovní teplota nemá žádný podstatný vliv na uvedený průběh charakteristiky, proto se nemusí ve většině případů sledovat. Průběh závislosti zesílení komparátoru, které se při vyšších teplotách zmenšuje a při nízkých teplotách zvětšuje, je na obr. 32.

Jak již bylo dříve uvedeno, komparátor není navržen tak, aby na výstupu byla úroveň 0, přivede-li se na výstup nulové napětí, jak je tomu u operačních zesilovačů. Ve využitém stavu je výstupní napětí mnohem více závislé na prahovém napětí použitého integrovaného logického obvodu, s nímž spolu pracuje.

Výstupní napětí má stejný teplotní součinitel jako prahové napětí logického obvodu. Tím, že napětí na výstupu komparátoru je blízké nebo rovné logickému prahovému napětí, může být proudové zesílení komparátoru menší, aniž by se zhoršila celková přesnost. Zesílení logického obvodu se v tomto případě může připočítat k zesílení komparátoru, címkou se určí celková přesnost. Použijí-li se běžné obvody DTL, je celkové zesílení asi 50 000. Uvedená skutečnost je výhodná, neboť přídavné zesilovací stupně v komparátoru nekomplikují celé zapojení, navíc jejich činnost zpomaluje.

Na obr. 33 je závislost napěťového zesílení na použitém napájecím napětí při konstantním záporném napájecím napětí  $-7\text{ V}$ ,  $-6\text{ V}$  a  $-5\text{ V}$ .

Časový průběh doby zpoždění průchodu signálu komparátorem je graficky znázorněn na obr. 34. Vstupní skoková funkce je

Tab. 9. Přehled komparátorů řady 711 podle jmenovitých výrobců v zemích RVHP

Typ	Výrobce	Rozsah provozních teplot	Pouzdro	Zapojení vývodů obr.
CLB2711EC	I.P.R.S., RSR	A	DIL-14	29
CLB2711CII72	I.P.R.S., RSR	A	TO-100	30
ULA6711N	Unitra-CEMI, PLR	C	DIL-14	29
ULY7711N	Unitra-CEMI, PLR	A	DIL-14	29
$\mu$ A711PC	MEV, MLR	A	DIL-14	29
$\mu$ A711PCE	MEV, MLR	B	DIL-14	29
K521SA1	SSSR	C	TO-100	30
K554CA1	SSSR	C	DIL-14	29

Rozsah provozních teplot okolo:  
A: 0 až  $+70^\circ\text{C}$ , B:  $-25$  až  $+85^\circ\text{C}$ , C:  $-40$  až  $+85^\circ\text{C}$ .

Tab. 10. Elektrické údaje dvojitých komparátorů ULA6711N, ULY7711N

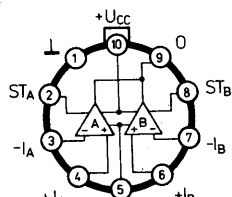
Mezní údaje	
Napájecí napětí kladné:	$+U_{CC} \leq +14 \text{ V}$ .
Napájecí napětí záporné:	$-U_{CC} \geq -7 \text{ V}$ .
Výstupní proud vrcholový:	$I_{OM} \leq 50 \text{ mA}$ .
Vstupní napětí:	$U_i = -7 \text{ až } +7 \text{ V}$ .
Vstupní napětí diferenční:	$U_{ID} = -5 \text{ až } +5 \text{ V}$ .
Ztrátový výkon:	$P_{tot} \leq 300 \text{ mW}$ .
Rozsah pracovních teplot okolí	$\theta_a = 0 \text{ až } +70^\circ\text{C}$ ,
ULY7711N:	$\theta_a = -40 \text{ až } +85^\circ\text{C}$ ,
ULA6711N:	$\theta_{sig} = -55 \text{ až } +125^\circ\text{C}$ .
Rozsah skladovacích teplot:	
Charakteristické údaje	
Platí při $\theta_a = 25^\circ\text{C}$ , $+U_{CC} = 12 \text{ V}$ , $-U_{CC} = -6 \text{ V}$ :	
ULY7711N: $U_0 = 1,5 \text{ V}$ při $\theta_a = 0^\circ\text{C}$ , $U_0 = 1,4 \text{ V}$ při $\theta_a = +25^\circ\text{C}$ ,	
$U_0 = 1,2 \text{ V}$ při $\theta_a = +70^\circ\text{C}$ ,	
ULA6711N: $U_0 = 1,8 \text{ V}$ při $\theta_a = -40^\circ\text{C}$ , $U_0 = 1,4 \text{ V}$ při $\theta_a = +25^\circ\text{C}$ , $;^\circ\text{C}$ ,	
$U_0 = 1,0 \text{ V}$ při $\theta_a = +85^\circ\text{C}$ ,	
není-li uvedeno jinak	
Vstupní napěťová nesymetrie	
$R_S \leq 200 \Omega$	ULA7711N: $U_0 = \text{jmen. } 1,0; \leq 7,5 \text{ mV}$ ,
$\theta_a = 0 \text{ až } +70^\circ\text{C}$	ULA7711N: $U_0 \leq 10 \text{ mV}$ ,
$\theta_a = -40 \text{ až } +85^\circ\text{C}$	ULA6711N: $U_0 = \text{jmen. } 1,0; \leq 5,0 \text{ mV}$ ,
Vstupní proudová nesymetrie	ULA6711N: $U_0 \leq 6,0 \text{ mV}$ .
$\theta_a = 0 \text{ až } +70^\circ\text{C}$	ULA7711N: $I_{IO} = \text{jmen. } 0,5; \leq 15 \mu\text{A}$ ,
$\theta_a = -40 \text{ až } +85^\circ\text{C}$	ULA7711N: $I_{IO} \leq 25 \mu\text{A}$ ,
Vstupní proud	ULA6711N: $I_{IO} = \text{jmen. } 0,5; \leq 10 \mu\text{A}$ ,
$\theta_a = 0 \text{ až } +70^\circ\text{C}$	ULA6711N: $I_{IO} \leq 20 \mu\text{A}$ .
$\theta_a = -40 \text{ až } +85^\circ\text{C}$	ULA7711N: $I_{IO} = \text{jmen. } 25; \leq 100 \mu\text{A}$ ,
Výstupní odpor:	ULA7711N: $I_{IO} \leq 150 \mu\text{A}$ ,
Napěťový zisk otevřené smyčky	ULA6711N: $I_{IO} = \text{jmen. } 25; \leq 75 \mu\text{A}$ ,
$\Delta U_0 = 1,2 \text{ V}$ , $U_{O0} = 0,8 \text{ V}$ , $U = 2 \text{ V}$	ULA6711N: $I_{IO} \leq 150 \mu\text{A}$ .
$\theta_a = 0 \text{ až } +70^\circ\text{C}$	ULA7711N: $R_O = \text{jmen. } 200 \Omega$ .
$\theta_a = -40 \text{ až } +85^\circ\text{C}$	ULA7711N: $A_{IO} = \text{jmen. } 1,5; \geq 0,7 \text{ V/mV}$ ,
Výstupní proud záporný	ULA7711N: $A_{IO} \geq 0,5 \text{ V/mV}$ ,
$U_i \leq -10 \text{ mV}$ , $U_0 = 0 \text{ V}$ :	ULA6711N: $A_{IO} = \text{jmen. } 1,5; \geq 0,75 \text{ V/mV}$ ,
Napájecí proud z kladného zdroje	ULA6711N: $A_{IO} \geq 0,5 \text{ V/mV}$ .
$U_i \leq 10 \text{ mV}$ , $U_0 = 0 \text{ V}$ :	
Napájecí proud ze záporného zdroje	
$U_i \leq 10 \text{ mV}$ , $U_0 = 0 \text{ V}$ :	
Proud vzorkovacího vstupu	
$I_{ST} = 100 \text{ mV}$ .	
Výstupní napětí – úroveň H	
$U_i \geq 10 \text{ mV}$ :	
Výstupní napětí – úroveň L	
$U_i \leq -10 \text{ mV}$ :	
Výstupní napětí maximální	
$-U_{CC} = -7 \text{ V}$ :	
Doba zpoždění průchodu signálu	
$U_i = 100 \text{ mV}$ , $u = 5 \text{ mV}$ :	
	$t_{PLH} = \text{jmen. } 40 \text{ ns}$ .

Tab. 11. Elektrické údaje μA711PC

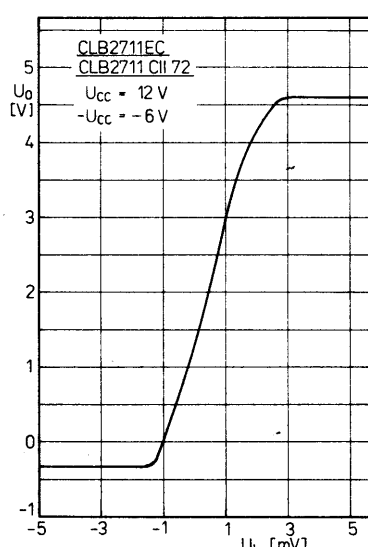
Mezní údaje	
Napájecí napětí kladné <sup>1)</sup>	$U_{CC1} \leq +14 \text{ V}$ .
Napájecí napětí záporné <sup>1)</sup> :	$U_{CC2} \geq -7 \text{ V}$ .
Výstupní proud vrcholový:	$I_{OM} \leq 50 \text{ mA}$ .
Vstupní napětí soufázové:	$U_C = -7 \text{ až } +7 \text{ V}$ .
Vstupní napětí diferenční:	$U_D = -5 \text{ až } +5 \text{ V}$ .
Vzorkovací napětí:	$U_{ST} = 0 \text{ až } +6 \text{ V}$ .
Ztrátový výkon celkový	$P_{tot} \leq 670 \text{ mW}$ .
$\theta_a = 70^\circ\text{C}$ :	$\theta_a = 0 \text{ až } +70^\circ\text{C}$ .
Rozsah provozních teplot:	$\theta_{stg} = -65 \text{ až } +150^\circ\text{C}$ .
Rozsah skladovacích teplot:	$\theta_L = 260^\circ\text{C}$ .
Teplota vývodu při pájení, $t < 10 \text{ s}$ :	
Charakteristické údaje	
Platí při $\theta_a = 25^\circ\text{C}$ , $U_{CC1} = +12 \text{ V}$ , $U_{CC2} = -6 \text{ V}$	
Vstupní napěťová nesymetrie <sup>2)</sup>	
$R_S \leq 200 \Omega$ , $U_0 = 1,4 \text{ V}$ , $U_{CM} = 0$ :	$U_0 = \text{jmen. } 1; \leq 5 \text{ mV}$ ,
$R_S \leq 200 \Omega$ , $U_0 = 1,4 \text{ V}$ :	$U_0 = \text{jmen. } 1; \leq 7,5 \text{ mV}$ .
Vstupní proudová nesymetrie	
$U_0 = 1,4 \text{ V}$ :	$I_0 = \text{jmen. } 0,5; \leq 15 \mu\text{A}$ .
Vstupní klidový proud:	$I_B = \text{jmen. } 25; \leq 100 \mu\text{A}$ .
Napěťové zesílení:	$A_{IO} = \text{jmen. } 1500; \geq 700$ .
Výstupní odpor:	$R_O = \text{jmen. } 200 \Omega$ .
Doba zpoždění průchodu signálu	$t_{PLH} = \text{jmen. } 40 \text{ ns}$ .
Doba vybavení vzorkování:	$t_{ST} = \text{jmen. } 12 \text{ ns}$ .
Rozsah vstupního napětí	
$U_{CC2} = -7 \text{ V}$ :	$U_i \geq \pm 5 \text{ V}$ .
Rozsah vstupního diferenčního napětí:	$U_D \leq \pm 5 \text{ V}$ .
Výstupní napětí – úroveň H	$U_{OH} = \text{jmen. } 4,5; \leq 5 \text{ V}$ .
$\Delta U_D = 10 \text{ mV}$ :	$U_{OH} = \text{jmen. } 3,5; \geq 2,5 \text{ V}$ .
$\Delta U_D = 10 \text{ mV}$ , $I_0 = 5 \text{ mA}$ :	
Výstupní napětí – úroveň L	$U_{OL} = \text{jmen. } -0,5; -1 \text{ až } 0 \text{ V}$ .
$\Delta U_D = 10 \text{ mV}$ :	
Vzorkovací výstupní úroveň	$U_{ST} = -1 \text{ až } 0 \text{ V}$ .
$U_{ST} \leq 0,3 \text{ V}$ :	
Výstupní proud	$I_0 = \text{jmen. } 0,8; \geq 0,5 \text{ mA}$ .
$\Delta U_D \geq 10 \text{ mV}$ , $U_0 = 0 \text{ V}$ :	
Vzorkovací proud	$I_{ST} = \text{jmen. } 1,2; \leq 2,5 \text{ mA}$ .
Napájecí proud z kladného zdroje	$I_{CC1} = \text{jmen. } 8,6 \text{ mA}$ .
$U_0 \leq 0 \text{ V}$ , invertující vstup +10 mV:	
Napájecí proud ze záporného zdroje	$I_{CC2} = \text{jmen. } 3,9 \text{ mA}$ .
$U_0 = 0 \text{ V}$ , invertující vstup +10 mV:	
Příkon:	$P = \text{jmen. } 130; \leq 230 \text{ mW}$ .
Platí při $\theta_a = 0 \text{ až } +70^\circ\text{C}$	
Vstupní napěťová nesymetrie	
$R_S \leq 200 \Omega$ , $U_{CM} = 0 \text{ V}$ :	$U_0 \leq 6,0 \text{ mV}$ ,
$R_S \leq 200 \Omega$ :	$U_0 \leq 10 \text{ mV}$ .
Střední teplotní součinitel vstupní napěťové nesymetrie	
$\theta_a = 0 \text{ až } +70^\circ\text{C}$ :	$\Delta U_i / \Delta \theta_a = \text{jmen. } 5 \mu\text{V/K}$ .
Vstupní proudová nesymetrie:	$I_0 \leq 25 \mu\text{A}$ .
Vstupní klidový proud:	$I_B = \text{jmen. } 150 \mu\text{A}$ .
Napěťové zesílení:	$A_{IO} \geq 500$ .

<sup>1)</sup> Napětí se vztahuje vůči zemnici vývodu.

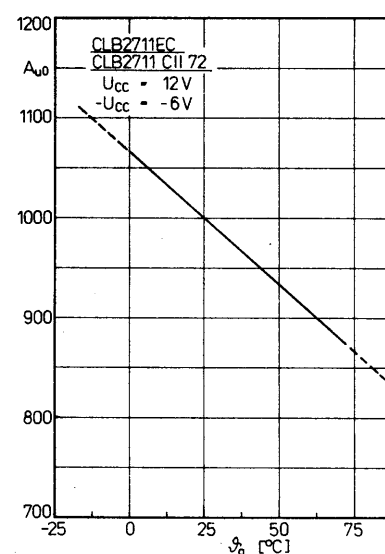
<sup>2)</sup> Vstupní napěťová nesymetrie a vstupní proudová nesymetrie jsou definovány pro logická prahová napětí: při  $0^\circ\text{C } 1,5 \text{ V}$ , při  $+25^\circ\text{C } 1,4 \text{ V}$ , při  $+70^\circ\text{C } 1,2 \text{ V}$ .



Obr. 30. Zapojení vývodů dvojitých komparátorů CLB2711 CII 72, K521CA1 v pouzdru TO-100



Obr. 31. Přenosová charakteristika dvojitých komparátorů CLB2711EC



Obr. 32. Průběh závislosti zesílení dvojitých komparátorů CLB2711EC na teplotě okolí

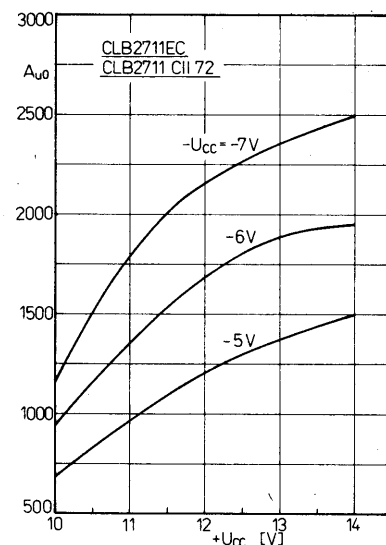
Tab. 12. Elektrické údaje dvojitých komparátorů CLB2711EC, CLB2711 CII 72

Mezní údaje	
Napájecí napětí kladné:	$+U_{CC} \leq +14 \text{ V}$ .
Napájecí napětí záporné:	$-U_{CC} \geq -7 \text{ V}$ .
Vstupní proud:	$I_0 \leq 25 \text{ mA}$ .
Vstupní napětí:	$U_i = -7 \text{ až } +7 \text{ V}$ .
Vstupní napětí diferenční:	$U_D = -5 \text{ až } +5 \text{ V}$ .
Napětí vzorkovacího vstupu:	$U_{ST} = 0 \text{ až } +6 \text{ V}$ .
Ztrátový výkon celkový	
CLB2711EC:	$P_{tot} \leq 500 \text{ mW}$ ,
CLB2711 CII 72:	$P_{tot} \leq 400 \text{ mW}$ .
Teplota přechodu:	$\theta_t = 125^\circ \text{C}$ .
Rozsah pracovní teploty:	$\theta_s = 0 \text{ až } +70^\circ \text{C}$ .
Rozsah skladovací teploty:	$\theta_{stg} = -55 \text{ až } +125^\circ \text{C}$ .
Teplotní odpor přechod-okolí	
CLB2711EC:	$R_{Thja} \leq 200 \text{ kW}$ .
CLB2711 CII 72:	$R_{Thja} \leq 225 \text{ kW}$ .
Charakteristické údaje	
Platí při $\theta_a = +25^\circ \text{C}$ , $+U_{CC} = 12 \text{ V}$ , $-U_{CC} = -6 \text{ V}$ , $R_S$ připojen mezi vstup a záporné napájecí napětí $-U_{CC}$ . <sup>1)</sup>	
Vstupní napěťová nesymetrie	$U_0 = 1.4 \text{ V}$ , $U_{ST} = 0 \text{ V}$ , $R_S = 1 \text{ k}\Omega$ :
	$I_{IO} = \text{jmen. } 1; \leq 5 \text{ mV}$ ,
	$I_{IO} = \text{jmen. } 1; \leq 7.5 \text{ mV}$ .
Vstupní proudová nesymetrie	$I_{IO} = \text{jmen. } 0.5; \leq 15 \mu\text{A}$ .
	$I_B = \text{jmen. } 25; \leq 75 \mu\text{A}$ .
	$A_{IO} = \text{jmen. } 7900; \geq 1500$ .
Napájecí proud kladného zdroje	$+I_{CC} = \text{jmen. } 8.6 \text{ mA}$ .
	$-I_{CC} = \text{jmen. } 3.9 \text{ mA}$ .
Napájecí proud ze záporného zdroje	$TK_{IO} = \text{jmen. } 5 \mu\text{V/K}$ .
	$t_{PLH} = \text{jmen. } 40 \text{ ns}$ .
Teplotní součinitel vstupní napěťové nesymetrie	$R_O = \text{jmen. } 200 \Omega$ .
	$I_{IO} = -5 \text{ až } +5 \text{ V}$ .
Doba zpoždění přechodu signálu	$U_I = 100 \text{ mV}$ , $I = 5 \text{ mA}$ :
	$U_{OH} = \text{jmen. } 4.5; \leq 5 \text{ V}$ .
Výstupní odpor:	$U_{OL} = \text{jmen. } -1 \text{ až } 0 \text{ V}$ .
Rozsah vstupního napětí	$-I_{OS} = \text{jmen. } 0.8; \geq 0.5 \text{ mA}$ .
	$t_{ST} = \text{jmen. } 12 \text{ ns}$ .
Napájecí proud vstupního vstupu:	$I_{ST} = \text{jmen. } 1.2; \leq 2.5 \text{ mA}$ .

<sup>1)</sup> Vstupní napěťová nesymetrie a vstupní proudová nesymetrie jsou uváděny pro logické prahové napětí 1,4 V.

100 mV, jako parametr je uvedeno přebuzení u pro 2 mV, 5 mV, 10 mV a 20 mV. Pro vyjmenovaná přebuzení dostáváme ve stejném pořadí dobu zpoždění 65 ns, 28 ns a 20 ns. Při menším vstupním napětí (max. 100 mV) je doba zpoždění při stejném přebuzení menší, protože komparátor není zcela nasycen v době připojení vstupní skokové funkce. Větší vstupní napětí než 100 mV neovlivňuje podstatně dobu zpoždění, neboť komparátor je již v nasyceném stavu.

Informativní závislost vzorkovacího (vyklikovacího) zpoždění pro různé vstupní přebuzení je na obr. 35. Jako vzorkovací zpoždění se přitom definuje doba, kterou komparátor potřebuje k dosažení svého logického stavu 0 nebo 1 poté, co se na vzorkovacím vstupu změní úroveň 0 na logickou úroveň 1. Obrázek rovněž udává tuto dobu pro různé velikosti vstupního přebuzení. Křivka 0 mV ukazuje výstup a jeho prahové napětí při použití stejnosměrného napětí. Křivka -1 mV pod ní ukazuje průnik vzorkovacího impulu na výstup uzavřeného komparátoru. Při navrhování desek s plošnými spoji je proto žádoucí propojit komparátor tak, aby rozptýlené kapacity mezi vzorkovacím vývodom a vstupními vývody byly co nejmenší.

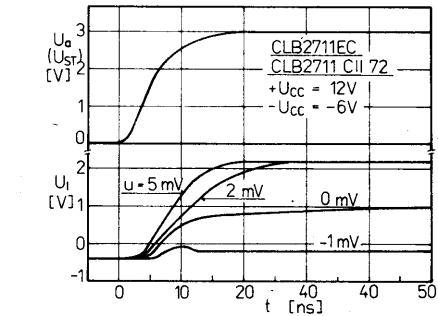
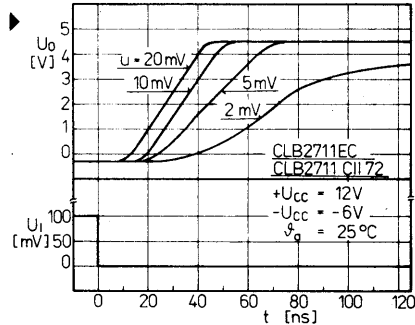


Obr. 33. Napěťové zesílení dvojitých komparátorů CLB2711EC v závislosti na kladném napájecím napětí při konstantním záporném napájecím napětí -7 V, -6 V a -5 V

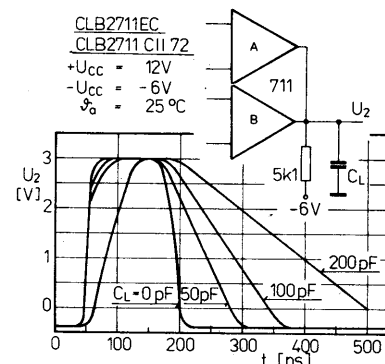
Tab. 13. Elektrické údaje komparátorů K521SA1, K554SA1

Mezní údaje	
Napájecí napětí kladné:	$+U_{CC} \leq 14 \text{ V}$ .
Napájecí napětí záporné:	$-U_{CC} \geq -7 \text{ V}$ .
Napětí vzorkovacího vstupu:	$U_{ST} \leq 6 \text{ V}$ .
Vstupní napětí:	$U_i = -5 \text{ až } +5 \text{ V}$ .
Vstupní napětí diferenční:	$U_D = -45 \text{ až } +85^\circ \text{C}$ .
Zatěžovací odpor:	
Rozsah pracovní teploty okolí:	
Charakteristické údaje	
Platí při $+U_{CC} = 12 \text{ V} \pm 10\%$ , $-U_{CC} = -6 \text{ V} \pm 10\%$	
Vstupní napěťová nesymetrie	$U_0 \leq 7.5 \text{ mV}$ .
Napájecí napětí:	$I_0 \leq 10 \mu\text{A}$ .
Vstupní proudová nesymetrie	$I_B \leq 75 \mu\text{A}$ .
Napěťové zesílení:	$A_u \geq 700$ .
Výstupní napětí - úroveň H	$U_{OH} = 2.5 \text{ až } 5 \text{ V}$ .
Výstupní napětí - úroveň L	$U_{OL} \leq 0.3 \text{ V}$ .
Napájecí proud kladného zdroje	$+I_{CC} \leq 11.5 \text{ mA}$ .
Napájecí proud ze záporného zdroje	$-I_{CC} \leq 6.5 \text{ mA}$ .
Doba zpoždění průchodu signálu	$t_{PLH} \leq 120 \text{ ns}$ .

Obr. 34. Časový průběh doby zpoždění průchodu signálu komparátem CLB2711EC pro vstupní skokovou funkci 100 mV a přebuzení 2 mV, 5 mV, 10 mV a 20 mV



Obr. 35. Závislost vzorkovacího zpoždění dvojitého komparátoru CLB2711EC pro různá přebuzení



Obr. 36. Rozšíření výstupního impulsu dvojitého komparátoru CLB2711EC v závislosti na zatěžovací kapacitě

Tím se průnik vzorkovacího impulu na výstup udrží na malé úrovni.

Křivky 2 mV a 5 mV na obr. 35 představují praktické provozní podmínky. Uzávěr vzorkovacího zpoždění asi 40 ns a 10 ns. U této průběhu výstupu nedosahuje své maximální logické úrovni. Je to podmíněno velikostí přivedeného vykličovacího impulu, neboť výstupní napětí komparátoru leží v důsledku omezování o jedno prahové napětí diody pod úrovní vzorkovacího impulu. Uvedené zkušební podmínky platí při spolupráci komparátoru s logickými obvodami RTL.

Čtecí zesilovače se vzorkováním zpravidla vyžadují co nejširší klíčovaný výstupní signál čtecího zesilovače a to natolik, aby se tím dala akceptovat určitá délka vedení pro řízení paměti. K tomuto účelu může dobře posloužit astabilní multivibrátor.

Čtecí zesilovače nevyžadují žádnou velkou přesnost, proto se může použít i jiná jednodušší metoda. Jedna z nich je na obr. 36. Zatěžovací kondenzátor  $C_L$  na výstupu komparátoru rozšiřuje výstupní impuls na potřebnou šířku. Ta je dána tím, že výstupní emitorový sledovač sice výstupní kondenzátor nabije v „kladném směru“, ale pro malý proud v záporném směru jen pomalu vybije. Síra vzorkovacího impulsu je zpravidla dostatečná ke spouštění logického obvodu, avšak při delším vedení se může spouštěcí impuls silně deformovat. U komparátoru řady 711 běžně postačí přidavná kapacita přenosového vedení k rozšíření vzorkovacího impulu, takže již není zapotřebí přidavný vnější kondenzátor.

V zapojení na obr. 36 je připojen vnější rezistor z výstupu proti zápornému napájecímu napětí, čímž se umožní logický zisk 1 ve spojení s logikou DTL. Odtud je nyní patrné, proč doba zpoždění signálu a doba zpoždění vzorkování se u dvojitých komparátorů nedělají pro záporné výstupní signály. Důvodem je vnější rozšíření impulsu. Záporná doba zpoždění je až k bází výstupního emitorového sledovače kratší než kladná hrana, protože celková doba zpoždění druhého stupně spoluinpůsobí. Záporná hrana výstupního impulu je proto určena pouze vnějšími součástkami.

Typické potlačení soufázovosti (stejnosměrné napětí) komparátoru řady 711 je 85 dB, což je mnohem více, než se může využít u rychlých komparačních zapojení. Naproti tomu je zajímavé potlačení soufázovosti na vysokých kmitočtech. Definovat potlačení soufázovosti u komparátoru je mnohem obtížnější než u stejnosměrného zesilovače. Z testovacího zapojení na obr. 37 je možné soudit, že komparátor má dobré potlačení soufázovosti na vysokých kmitočtech. Zřetelně je to zvlášť v blízkosti strmé náběhové hrany. Chyby, podmíněny vysokofrekvenčními soufázovými vstupními signály, se mohou zanedbat na rozdíl od napěťové nesymetrie a doby zpoždění signálu.

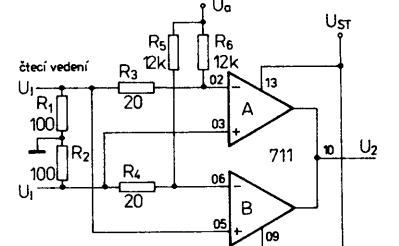
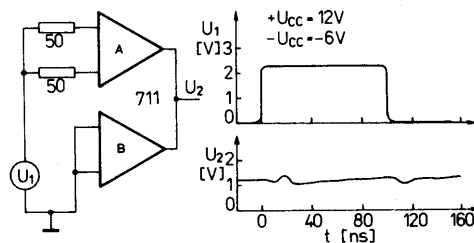
### Logická slučitelnost

Výstup komparátoru řady 711 je konstruován tak, aby byl slučitelný se všemi řadami logických integrovaných obvodů. Protože zatěžovací podmínky jednotlivých logických obvodů jsou různé, nemohou se tyto součástky používat bez úprav s popsaným dvojitým komparátorem, takže se musí volit jisté komromis.

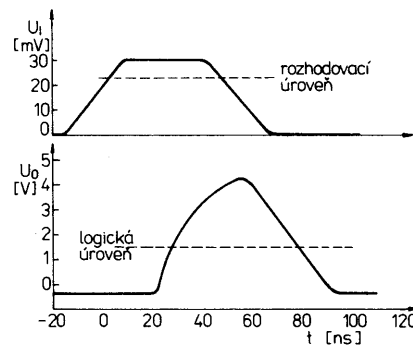
Výstup dvojitého komparátoru je upraven pro spojení určitého počtu stejných výstupů, jak se často vyžaduje v technice paměti. Do logického člena OR se může navzájem spojit až osm výstupů při zaručené slučitelnosti s logickými obvody TTL, DTL, RTL a logickým ziskem 2.

Aby se umožnilo zapojení logického člena OR a aby byl přitom ztrátový výkon co nejméně v celém rozsahu pracovních teplot, je žádoucí zmenšit záporný proud komparáto-

Obr. 37. Závislost potlačení dvoufázovosti dvojitých komparátorů řady 711



Obr. 38. Základní zapojení čtecího zesilovače s dvojitým komparátorem řady 711



Obr. 39. Charakteristika čtecího zesilovače s dvojitým komparátorem řady 711, který pracuje s prahovou úrovni 23 mV nastavenou vstupním signálem 30 mV

ru. Z toho plyne, že se musí nejméně čtyři komparátory spojit navzájem, čímž se dosáhne dostatečně velkého záporného proudu pro logický zisk 1 u logických obvodů DTL. Jestliže se bude používat jeden komparátor ve spojení s obvody DTL, musí se připojit rezistor 5,6 kΩ mezi výstup a zdroj napětí -6 V; tím se dosáhne logického zisku 1; popří. rezistor 2,4 kΩ pro logický zisk 2.

Jeden komparátor řady 711 může řídit až osm vstupů obvodů RTL. Komparátor se však nemůže při logickém zisku 1 trvale provozovat na max. kladný výstupní úrovni, protože velký výstupní proud má za následek velký ztrátový výkon obvodu a ohrožuje jeho spolehlivou funkci. V zapojení čtecího zesilovače nepředstavuje komparátor žádné zvláštní omezení, neboť klíčovací poměr pro kladnou vstupní úroveň je poměrně malý. V každém případě prodluží velký výstupní proud paměťovou dobu logického zapojení. Paměťová doba se může zkrátit sériovým zapojením rezistoru do výstupu komparátoru. Maximální odpor rezistoru je 3,9 kΩ pro logický zisk 1, 8 kΩ pro zisk 2 a 820 Ω pro zisk 3. Ke zkrácení spinaci doby se může k zatěžovacímu rezistoru připojit paralelně kondenzátor s malou kapacitou (podobně jako u komparátorů řady 710). Požaduje-li se několik komparátorů s navzájem propojenými výstupy, může se odpor použitých rezistorů poněkud zmenšit, čímž se vyrovná menší výstupní napětí tohoto zapojení.

Proud vzorkovacího výstupu komparátoru řady 711 je typický 1,2 mA. U komparátoru ve vyváženém stavu (není sepnut) nemusí protékat vzorkovacím výstupem žádný proud. Pracuje-li několik komparátorů s navzájem propojenými vzorkovacími výstupy, musí řídiči logika dodávat proud pouze pro jeden

vzorkovací vstup v dané časové jednotce, protože je sepnut vždy pouze jeden komparátor.

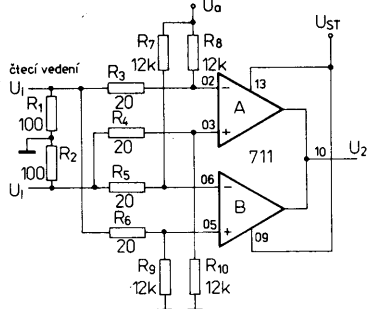
### Doporučená zapojení

Podobně jako u jednoduchých komparátorů mají všechna typická zapojení dvojitých komparátorů (jako jsou čtecí zesilovače) jisté přednosti ve srovnání s konvenčními zapojeními. Jestliže se úroveň prahového napětí na vstupu komparátoru v zapojení čtecího zesilovače pevně určí, vzniká nebezpečí, že velká stejnosměrná napětí během postupu čtení zkreslí rozhodování. Určitou možnost znečisťovat zapojení proti účinkům stejnosměrného napětí je použít napájecí zdroj s „plovoucí zemí“.

Zapojení, při němž se může nastavit prahové napětí na vstupu, je na obr. 38. Přestože se k napájení používá symetrické napájecí napětí, jsou pozoruhodně potlačeny soufázové signály. Rezistory  $R_1$  a  $R_2$  jsou přizpůsobovací rezistory čtecího vedení. Proud ze zdroje vyvažovacího napětí  $U_a$  může nastavit prahovou úroveň pomocí úbytku napětí na rezistorech  $R_3$  a  $R_4$  a to zcela nezávisle na odporu rezistorů  $R_5$  a  $R_6$ . Použijí-li se dva komparátory, získáme výstupní napětí jak pro kladný, tak záporný výstupní signály, které překrývají předem nastavenou prahovou napětí. Další přednost spočívá ve využívání levných vnějších rezistorů pro nastavení úrovni prahového napětí pro feritová jádra různých průměrů. Úroveň prahového napětí se může rovněž nastavovat na optimální velikost změnou společného vyvažovacího napětí  $U_a$ . Protože vstupní napětová nesymetrie, která ovlivňuje nepřesnost prahové úrovni především, je velmi malá, musí se dodržet rovněž velmi malá změna prahové úrovni v závislosti na teplotě. Protože se výstup paměti značně mění s teplotou při konstantním proudu, proto je to důležitější. Jestliže se např. zápis a čtení provádí při různých teplotách, musí se kompenzovat rovněž změna budicího proudu jader. Zadouci je přitom konstantní úroveň prahového napětí čtecího zesilovače v celém rozsahu pracovních teplot.

Prahovou úroveň čtecího zesilovače podle obr. 38 při vyvažovacím napětí 12 V změna soufázový signál 1 V asi jen o 8 %. Protože u většiny jádrových paměti je soufázový signál během čtení menší než 0,5 V, může se tato změna zanedbat. Vliv soufázového signálu se může ovlivňovat zvětšením odporu rezistorů  $R_5$  a  $R_6$  a zvětšením vyvažovacího napětí  $U_a$ . Čtecí zesilovač je navržen se součástkami s krátkou paměťovou dobou, takže doba zotavení při řízení diferenčního nebo soufázového signálem je menší než 50 ns. Mimoto stejnosměrná vazba navíc zmenší u zesilovačů, vázaných střídavým napětím, citlivost na rušení.

Přenosové vlastnosti popsaného čtecího zesilovače s typickým vstupním signálem jsou na obr. 39. Přivedený stupní signál je během 45 ns o 7 mV nad rozhodovací úrovni a způsobí výstupní impuls, který je po dobu 50 ms nad logickým prahovým napětím. Abychom získali delší výstupní impulsy, do-

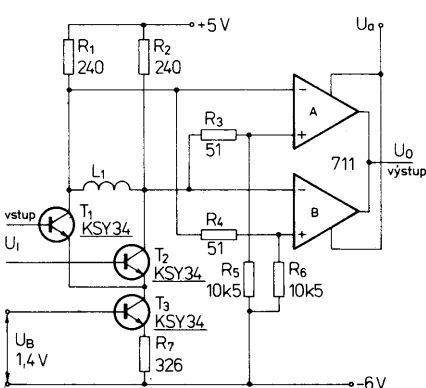


Obr. 40. Zapojení čtecího zesilovače s dvojitým komparátorem řady 711 se zlepšeným potlačením soufázovosti

poručuje se použít metodu prodloužení impulů v zapojení podle obr. 36.

Čtecí zesilovač se zvětšeným potlačením soufázovosti o činiteli 10 je na obr. 40. Vliv soufázového napětí na prahovou úroveň je vyvážen vnějšími rezistory. Potlačení soufázovosti se může na vyšších kmitočtech zmenšit nekompenzovanými rozptylovými kapacitami na čtecím vedení a na vstupu komparátoru. Z tohoto důvodu se musí použít bezkapacitní rezistory  $R_3, R_4, R_5, R_6$  a při konstrukci zesilovače udržet co nejménší rozptylové kapacity.

Zapojení teplotně kompenzovaného předzesilovače čtecího zesilovače, který slouží ke zvětšení vstupní citlivosti, je na obr. 41. Pracuje-li paměť s rozdílově velmi malými jádry, může mít výstupní signál jader práve



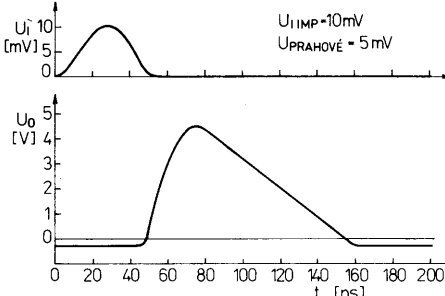
Obr. 41. Zapojení čtecího zesilovače s dvojitým komparátorem řady 711 a teplelně kompenzovaným předzesilovačem, který se vyznačuje zvětšenou vstupní citlivostí

velikost řádu napětí na zesilovači. V tomto případě se předřadí předzesilovač před vlastní čtecí zesilovač. Protože i u něj se projevuje vstupní napěťová nesymetrie, budi se střídavým signálem. Diferenční stupeň jako předzesilovač má zesílení 10. Výstupy diferenčního stupně jsou spojeny se vstupy vlastního čtecího zesilovače, jehož prahové napětí je nastaveno asi na 50 mV. Cívka  $L_1$  zmenšuje napěťovou nesymetrii vstupních tranzistorů, takže není třeba používat párované či jinak vybírané tranzistory. Předzesilovač je teplelně kompenzován v celém rozsahu dovolených provozních teplot. Správnou volbou předpětí  $U_B$  tranzistoru  $T_3$ , jehož optimální napětí 1,4 V bylo navrženo experimentálně, je možné udržet konstantní rovněž napěťové zesílení předzesilovače v celém teplotním rozsahu. U zapojení s tranzistory, které při pokojové teplotě mají proudový zesilovač činitel max. 50, je stabilita zapojení  $\pm 5\%$  v teplotním rozsahu tep-

loty okolí 0 až 70 °C. V užším teplotním rozsahu při předpětí  $U_B = 1,3$  V se přesnost zesílení zvětší až na  $\pm 1\%$ .

Zesílení a tím též úroveň prahového napětí vztázená na vstup se nastaví vyvážením rezistoru  $R_7$ . V popsaném zapojení je prahová úroveň čtecího signálu asi 5 mV. Přenosové vlastnosti jednoho čtecího impulsu 10 mV jsou na obr. 42. Zvětšením kolektorového proudu ve vstupním stupni nad 1 mA se může přenosovou funkce dále zlepšit.

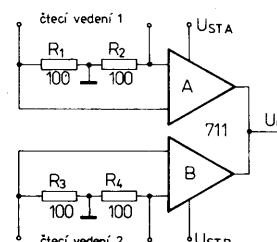
Určité druhy paměťových systémů mají pro logickou úroveň 1 a 0 výstupní signály opačné polarity. V těchto zesilovačích můžeme použít po jednom systému dvojitého komparátoru řady 711 v každém čtecím ve-



Obr. 42. Průběh vstupních impulzů 10 mV při prahovém napětí 5 mV čtecího zesilovače podle zapojení obr. 41

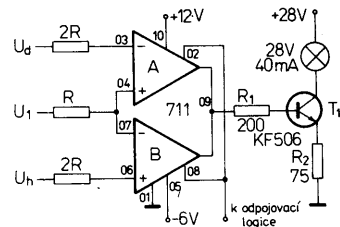
dení jako čtecího zesilovače. Komparátor může sám rozdělavit průchod vstupního signálu nulou, zapojení není proto nutno vybavovat odporovou síť pro nastavení prahové úrovni. Oba systémy komparátoru se zapojí jako dvojity čtecí zesilovač se společným výstupem (obr. 43). Pro řešení logický systém se mohou oddělit z obou vodičů čtecího vedení výstupní impulsy tak, že se oba systémy dotazují navzájem nezávislými vzorkovacími impulsy.

I když komparátory řady 711 jsou určeny pro čtecí zesilovače jádrových paměti, jsou



Obr. 43. Zapojení dvojitého čtecího zesilovače s dvojitým komparátorem řady 711 pro napěťové systémy s kladnými a zápornými výstupními signály

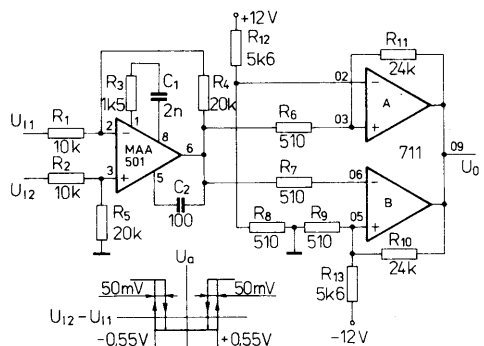
tyto součástky natolik všeobecné, že se mohou používat v mnoha jiných zapojeních. Zapojení na obr. 44 představuje detektor mezních úrovní pro testování zařízení typu GO/NO-GO. Zapojení vydává kladné výstupní impulsy, jestliže vstupní signál překročí nebo nedosáhne obou, navzájem nezávislých nastavitelných prahových úrovní  $U_d$  a  $U_h$ . Výstup je spojen se „žárovkovým“ zesilovačem, který rozsvítí žárovku vzdály, jakmile vstupní signál překročí mezní úroveň. Nepřejeme-li si indikaci žárovkou, může se výstup uzavřít signálem 0 V na vzorkovacích vstupech ST. Velkou předností je možnost propojit až osm dvojitého komparátoru do jednoho výstupu, kterým se pak může řídit jedna indikační žárovka. Při návrhu zapojení se musí splnit podmínka správné volby odporu rezistoru napěťových prahových úrovní a vstupního signálu, které musí být v daném vzájemném poměru a jejich absolutní veli-



Obr. 44. Zapojení detektora mezních hodnot s dvojitým komparátorem řady 711 pro testovací přístroje typu Go/No-Go

kost musí být pokud možno co nejménší, čímž bude závislá jen přesnost vstupní proudu nesymetrie (max. 20  $\mu$ A), nikoli vstupní klidový proud (max. 200  $\mu$ A). Protože odporník vlnáka žárovky za studena je malý, musí se vrcholový proud žárovkového zesilovače omezit v okamžiku zapnutí pomocí rezistoru  $R_2$ . Rezistor  $R_1$  omezuje výstupní proud komparátoru v době, kdy je tranzistor  $T_1$  v nasyceném stavu.

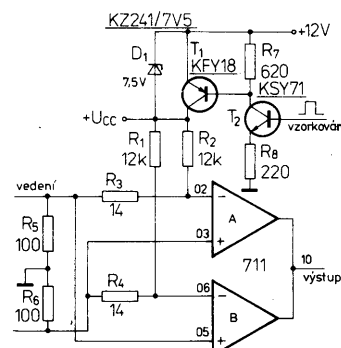
Další zajímavé zapojení na obr. 45 znázorňuje komparátor ve spojení s operačním zesilovačem MAA501, který pracuje jako oddělovací stupeň a rozdílový zesilovač



Obr. 45. Zapojení detektora prahových hodnot se symetrickým diferenčním stupněm

v detektoru prahových úrovní, jehož horní a dolní prahové napětí si podrží hysterezi. S uvedenými součástkami bude na výstupu komparátoru signál, bude-li rozdíl vstupního napětí  $U_{I1} - U_{I2}$  větší než 0,55 V; hystereze je přitom 50 mV.

Jednoduchý způsob vzorkování dvojitého komparátoru řady 711 v zapojení snímacího zesilovače pomocí přídavného klíčovacího obvodu s rezistorovou sítí a tranzistory KFY18 a KSY71 je na obr. 46. Tímto zapojením je možné změnit příkon komparátoru ve stavu provozní připravenosti asi na 40 mW. Vstupní rezistorová síť pro úpravu prahové úrovně, kombinovaná s velkým na-



Obr. 46. Zapojení snímacího zesilovače s dvojitým komparátorem řady 711 se vzorkováním napájecího zdroje pro snížení příkonu komparátoru

přetovým zesílením komparátoru, předchází mnoha nepřesnostem při návrhu běžných snímacích zesilovačů.

Upozornění: Číslování vývodů dvojitého komparátoru ve všech uvedených doporučených zapojeních se vztahuje ke komparátorům v pouzdu DIL-14, zapojení vývodů podle obr. 29.

### Čtyřnásobné komparátory βM339, βM2901, βM3302

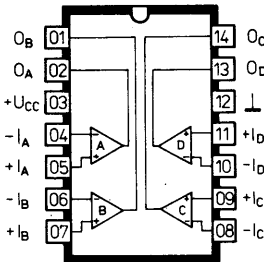
Rumunský výrobce polovodičových součástek I.P.R.S. vyrábí řadu pěti typů čtyřnásobných, na sobě zcela nezávislých přesných komparátorů βM339, βM2901 a βM3302, jejichž hlavní přednost spočívá v napájení z jednoho nesymetrického napájecího zdroje (široký rozsah napájecího napětí). Komparátory se mohou napájet rovněž

souměrným napájecím napětím, přičemž odebíraný napájecí proud je nezávislý na použitém způsobu napájení. Hlavní obor použití komparátorů je v multivibrátoch, logických členech AND nebo OR, v generátoch časově zpožděných impulsů, generátoch pravoúhlých impulsů apod.

Vnitřní elektrické zapojení jednoho ze čtyř systémů komparátorů, integrovaných na společné křemíkové podložce, je pro všechny typy řady na obr. 47. Všechny systémy komparátorů jsou elektricky naprostě shodné. Na vstupech komparátoru jsou použity tranzistory p-n-p v Darlingtonové zapojení. Konstrukce zapojení je volena tak, aby komparátory mohly pracovat s asymetrickým napětím již od  $+2,0$  V, se symetrickým napětím již od  $\pm 1,0$  V. Největší přípustné napájecí napětí je omezeno na 36 V nebo  $\pm 18$  V (u typu βM3302 28 V nebo  $\pm 14$  V). Průměrný napájecí proud jednoho systému je pouze 0,8 mA při napájecím napětí +5 V. Všechny

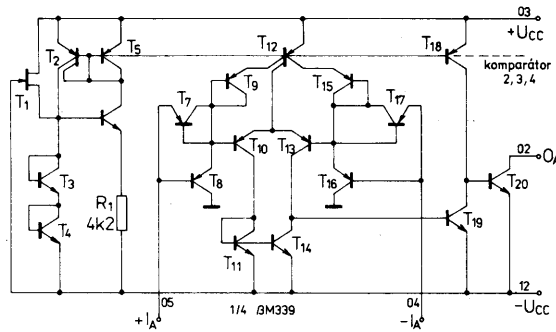
Tab. 14. Elektrické údaje βM339, βM2901, βM3302

Mezní údaje	
Napájecí napětí nesymetrické: βM3302:	$U_{CC} = 2 \text{ až } 36 \text{ V}$ , $U_{CC} = 2 \text{ až } 28 \text{ V}$ .
Napájecí napětí symetrické: βM3302:	$U_{CC} = \pm 1 \text{ až } \pm 18 \text{ V}$ , $U_{CC} = \pm 1 \text{ až } \pm 14 \text{ V}$ .
Vstupní napětí $-U_{CC} = 0 \text{ V}$ :	$U_i = -0,3 \text{ V až } +U_{CC}$ .
Vstupní napětí diferenční: βM3302:	$U_D \leq 36 \text{ V}$ , $U_D \leq 28 \text{ V}$ .
Vstupní proud	$I_i \leq 50 \text{ mA}$ .
Výstupní proud zkratový vůči zemi:	$I_{OS} \leq 20 \text{ mA}$ .
Rozsah pracovní teploty okolí βM339, βM2901, βM3302: βM339V: βM339M:	$\theta_a = 0 \text{ až } +70^\circ\text{C}$ , $\theta_a = -25 \text{ až } +85^\circ\text{C}$ , $\theta_a = -55 \text{ až } +125^\circ\text{C}$ .
Teplota přechodu: βM339M:	$\theta_j = 125^\circ\text{C}$ , $\theta_j = 150^\circ\text{C}$ .
Rozsah skladovací teploty βM339, βM2901, βM3302: βM339V: βM339M:	$\theta_{STG} = -25 \text{ až } +125^\circ\text{C}$ , $\theta_{STG} = -40 \text{ až } +125^\circ\text{C}$ , $\theta_{STG} = -55 \text{ až } +125^\circ\text{C}$ .
Ztrátový výkon celkový:	$P_{tot} \leq 500 \text{ mW}$ .
Tepelný odpor přechod-okolí:	$R_{Thja} \leq 200 \text{ kW}$ .
Charakteristické údaje	
Platí při $\theta_a = 25^\circ\text{C}$ , $+U_{CC} = 5 \text{ V}$ , $-U_{CC} = 0 \text{ V}$ , $R_L$ zapojen z výstupu proti $+U_{CC}$	
Vstupní napěťová nesymetrie βM339: βM2901: βM3302:	$U_{IO} = \text{jmen. } 2; \leq 5 \text{ mV}$ , $U_{IO} = \text{jmen. } 2; \leq 7 \text{ mV}$ , $U_{IO} = \text{jmen. } 3; \leq 20 \text{ mV}$ .
Vstupní proudová nesymetrie βM339, βM2901: βM3302:	$I_{IO} = \text{jmen. } 5; \leq 50 \text{ nA}$ , $I_{IO} = \text{jmen. } 3; \leq 100 \text{ nA}$ .
Vstupní klidový proud βM339, βM2901: βM3302:	$I_{IB} \leq 250 \text{ nA}$ , $I_{IB} \leq 500 \text{ nA}$ .
Napájecí proud $+U_{CC} = 30 \text{ V}$ , $R_L = \infty$ :	$+I_{CC} = 0,8; \leq 2 \text{ mA}$ .
Vstupní napětí nesymetrické:	$U_i = 0 \text{ až } +U_{CC} - 1,5 \text{ V}$ .
Napěťové zesílení $+U_{CC} = 15 \text{ V}$ , $R_L \geq 15 \text{ k}\Omega$ :	$A_u = \text{jmen. } 200; \geq 50 \text{ V/mV}$ , $A_u = \text{jmen. } 100; \geq 25 \text{ V/mV}$ , $A_u = \text{jmen. } 30; \geq 2 \text{ V/mV}$ .
Doba zpoždění signálu při velkém vstupním signálu $U_i = \text{úroveň TTL}$ , $R_L = 5,1 \text{ k}\Omega$	$t = \text{jmen. } 300 \text{ ns}$ .
$U_i = 5 \text{ V}$ , $U_{REF} = 1,4 \text{ V}$ :	$t = \text{jmen. } 1,3 \mu\text{s}$ .
Doba zpoždění signálu $R_L = 5,1 \text{ k}\Omega$ , $U_i = 5 \text{ V}$ :	$I_{OS} = \text{jmen. } 16; \geq 6 \text{ mA}$ .
Výstupní proud $U_{-} \geq 1 \text{ V}$ , $U_{+} = 1,5 \text{ V}$ :	
Saturační napětí $U_{-} \geq 1 \text{ V}$ , $U_{+} = 0 \text{ V}$ , $I_{SAT} = 4 \text{ mA}$	$I_{SAT} = \text{jmen. } 250; \leq 400 \text{ mV}$ , $I_{SAT} \leq 400 \text{ mV}$ , $I_{SAT} \leq 500 \text{ mV}$ .
βM339: βM2901: βM3302:	$I_{OB} = \text{jmen. } 0,1 \text{ nA}$ .
Výstupní proud zbytkový $U_{-} \geq 1 \text{ V}$ , $U_{+} = 0 \text{ V}$ , $U_i = 5 \text{ V}$ :	

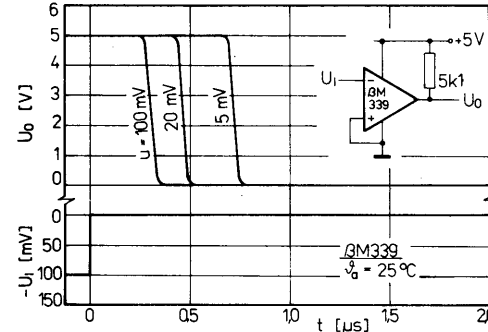


Obr. 48. Zapojení vývodů čtyřnásobných komparátorů βM339, βM2901, βM3302, ROB339

komparátory řady se dále vyznačují vstupní napěťovou nesymetrií typicky  $\pm 2 \text{ mV}$ , proudovou nesymetrií 25 nA a vstupním klidovým proudem 25 nA. Komparátory jsou slučitelné se všemi používanými řadami logických in-



Obr. 47. Vnitřní elektrické zapojení čtyřnásobných komparátorů βM339, βM2901, βM3302



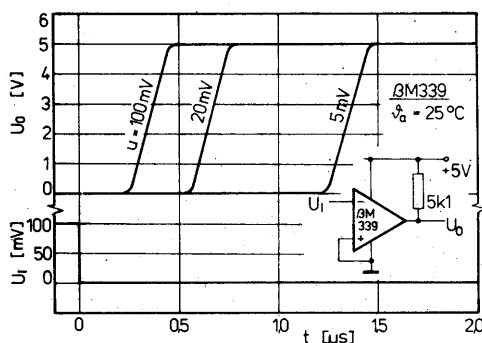
Obr. 49. Závislost doby zpoždění průchodu záporného signálu při přebuzení komparátorů řady βM339 vstupním signálem 5 mV, 20 mV a 100 mV

Platí při $+U_{CC} = 5 \text{ V}$ , βM339, βM2901, βM3303 βM339V βM339M	$\theta_a = 0 \text{ až } +70^\circ\text{C}$ , $\theta_a = -25 \text{ až } +85^\circ\text{C}$ , $\theta_a = -55 \text{ až } +125^\circ\text{C}$ .
Vstupní napěťová nesymetrie βM339, βM339M, βM339V: βM2901: βM3302:	$U_{IO} \leq 9 \text{ mV}$ , $U_{IO} \leq 15 \text{ mV}$ , $U_{IO} \leq 40 \text{ mV}$ .
Vstupní proudová nesymetrie βM339, βM339M: βM339V: βM2901: βM3302:	$I_{IO} \leq \pm 150 \text{ nA}$ , $I_{IO} \leq \pm 100 \text{ nA}$ , $I_{IO} \leq \pm 200 \text{ nA}$ , $I_{IO} \leq \pm 500 \text{ nA}$ .
Vstupní klidový proud βM339, βM339M: βM339V: βM2901: βM3302:	$I_{IB} \leq 400 \text{ nA}$ , $I_{IB} \leq 300 \text{ nA}$ , $I_{IB} \leq 500 \text{ nA}$ , $I_{IB} \leq 1000 \text{ nA}$ .
Vstupní napětí nesymetrické: Saturační napětí $U_{-} \geq 1 \text{ V}$ , $U_{+} = 0 \text{ V}$ , $I_{SAT} = 4 \text{ mA}$	$I_{SAT} \leq 700 \text{ mV}$ .
Vstupní napětí diferenční $U_i > -U_{CC}$ : βM2901, βM3302: Výstupní proud zbytkový $U_{-} \geq 1 \text{ V}$ , $U_{+} = 0 \text{ V}$ , $U_i = 30 \text{ V}$ :	$U_{IO} \leq 36 \text{ V}$ , $U_{IO} \leq +U_{CC} \text{ V}$ .
$I_{OB} \leq 1,0 \mu\text{A}$ .	

tegrovaných obvodů TTL, DTL, ECL, MOS a CMOS.

Komparátory jsou v plastovém pouzdro DIL-14 s 2x sedmi vývody ve dvou řadách. Zapojení vývodů komparátorů je na obr. 48. Funkce vývodů:  $+I_A$ ,  $+I_B$ ,  $+I_C$ ,  $+I_D$  – neinvertující vstupy systémů A, B, C, D,  $-I_A$ ,  $-I_B$ ,  $-I_C$ ,  $-I_D$  – invertující vstupy,  $O_A$ ,  $O_B$ ,  $O_C$ ,  $O_D$  – výstupy systémů A, B, C, D,  $+U_{CC}$  – napájecí napětí kladné,  $\perp$  – zemníci a bod.

Všechny komparátory řady jsou vyráběny společně jednou technologií. Navzájem se odlišují pouze některými elektrickými vlastnostmi, což je patrné i v tab. 14 s elektrickými údaji. Dynamické vlastnosti komparátorů blíže definují grafické závislosti doby zpoždění průchodu signálu. Na obr. 49 je závislost při průchodu záporného signálu pro přebuzení vstupního signálu 5 mV, 20 mV a 100 mV, na obr. 50 při průchodu kladného signálu pro stejná vstupní přebuzení. Obě závislosti platí při nesouměrném doporučeném napájecím napětí + 5 V.



Obr. 50. Závislost doby zpoždění průchodu kladného signálu při přebuzení komparátorů řady βM339 vstupním signálem 5 mV, 20 mV a 100 mV

### Příklady použití

Komparátory řady βM339 mají velký zisk, jsou širokopásmové, což jako u všech neinvertujících komparátorů vede k oscilacím (jestliže se jejich výstupní vývod dobře neodstíní), je to způsobeno nežádoucí kapacitní vazbou mezi výstupem a vstupem. Oscilace se projevují hlavně v závislosti na výstupním napětí při změně stavu komparátoru. K vyřešení tohoto problému nestačí blokovat vývody napájecího napětí, nejúčinnější je pozorný návrh desky s plošnými spoji, na níž se na minimum omezí možnost vzniku nežádoucího výstupu na vstup.

Zmenšení odporu vstupního rezistoru na max. 10 kΩ zmenšuje úroveň zpětnovazebního signálu i již poměrně malou hysterezu kladné zpětné vazby (pohybuje se v rozmezí od 1,0 do 10 mV), pokud je to pro zamýšlené použití nežádoucí. Vnější součástky (rezistory) se musejí připojovat přímo na vývody integrovaného obvodu, címž se rovněž zabráví nežádoucím oscilačním vazbám výstupu na vstup při krátkých časových intervalech průchodu signálu komparátorem (není-li použito hystereze).

Má-li vstupní signál impulsní průběh s poměrně krátkou dobou náběhu a poklesu, není žádoucí využívat hysterezu. Všechny vývody nevyužitých komparátorů jednoho integrovaného obvodu se musejí uzemnit.

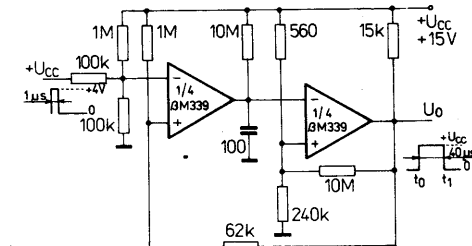
Vstupní diferenční napětí může být větší než použité napájecí napětí + U<sub>CC</sub>, aniž by hrozilo nebezpečí poškození součástky, je však třeba udělat taková opatření, aby se zabránilo působení záporného vstupního

napětí, které se nesmí zmenšit pod -0,3 V (při teplotě 25 °C). Vstupy se musejí opatřit záchrannými diodami, jak je to patrné v některých doporučovaných zapojení. K tomuto účelu jsou nejvhodnější rychlé křemíkové diody, např. TÉSLA KA206, KA207, popřípadě ověřené diody 1N4148 kteréhokoli výrobce.

Výstup komparátoru tvoří jednoduchý tranzistor n-p-n s otevřeným kolektorem v zapojení se společným emitorem. K zavedení logické funkce Wired-OR se může navzájem spojit několik výstupů komparátorů stejného typu. Výstupní rezistor se může bez omezení připojit k jakémukoli zdroji napájecího napětí s rozsahem přípustného napětí. Výstup se může použít rovněž jako jednoduchý spínač pracující vůči zemi (bez zatěžovacího odporu vůči kladnému pólu napájecího zdroje).

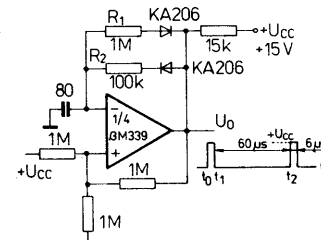
Proud, kterým se může výstup zatížit, je omezen na max. 20 mA (nezávisí na použitém napájecím napěti + U<sub>CC</sub>), což většinou postačí k vybuzení běžných následujících stupňů. Jestliže se proudový limit překročí (přibližně při 16 mA), výstupní tranzistor přejde ze stavu nasycení a výstupní napětí se velmi rychle zvětší. Výstupní saturační napětí je omezeno saturačním odporem (přibližně 60 Ω) výstupního tranzistoru. Malé zbykové napětí výstupního tranzistoru (1 mV) způsobí sepnutí výstupu nezbytně na úrovni země při malém zatěžovacím proudu.

Zapojení jednoho systému komparátoru obvodu βM339 řady jako monostabilní multivibrátor je na obr. 51. Oscilátor se spouští sestupnou hranou vstupního impulsu pra-

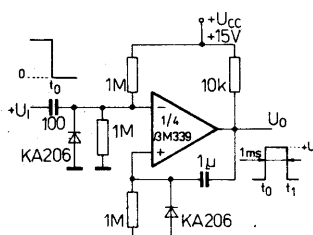


Obr. 53. Monostabilní multivibrátor s komparátorem řady βM339; vstupní signál uzavírá výstup komparátoru

Velmi jednoduché je zapojení generátoru impulsů s dobou trvání 6 μs a dobou mezi impulsy 60 μs, u něhož postačí pouze jeden komparátor z obvodu βM339. Napětí impulsů se rovná použitému napájecímu napětí + U<sub>CC</sub>. Při větším poměru rezistorů R<sub>1</sub>:R<sub>2</sub> se může dioda D<sub>1</sub> vypustit. Návrh zapojení je na obr. 54.



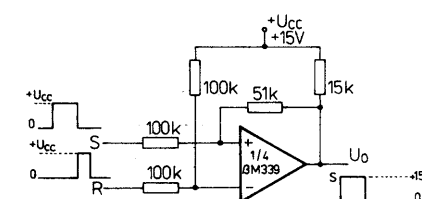
Obr. 54. Generátor pravoúhlých impulsů s komparátorem řady βM339 s dobou trvání výstupního impulsu 6 μs



Obr. 51. Zapojení komparátorů řady βM339 jako monostabilní multivibrátor

vouhlého tvaru. Výstupní impuls má šířku typicky 1 ms. Vstup komparátoru je vybaven mezovací diodou KA206.

Bistabilní multivibrátor v zapojení podle obr. 52 využívá rovněž jednoho komparátoru. Na neinvertující vstup se přivádí impuls s trváním t<sub>1</sub>, na invertující vstup impuls s trváním t<sub>2</sub>. Na výstupu multivibrátoru je výsledný impuls s dobou trvání t<sub>0</sub> = t<sub>1</sub> + t<sub>2</sub>. Bude-li velikost obou vstupních napětí stejná, bude mít výstupní impuls napětí stejně velké jako vstupní impulsy.



Obr. 52. Bistabilní multivibrátor s komparátorem řady βM339

Monostabilní multivibrátor se vstupem uzavíraným výstupem, osazený dvěma komparátory βM339, je na zapojení podle obr. 53. Multivibrátor přemění vstupní pravoúhlý impuls s dobou trvání 1 μs a napětím +4 V na výstupní impuls s trváním 40 μs a napětím rovným použitému + U<sub>CC</sub>.

Generátor časově zpožděných impulsů, který je na obr. 55, vyžaduje všechny čtyři komparátory obvodu βM339. Jeden z nich zpracovává vstupní hradlovací signál, jehož napětí se rovná napájecímu napětí + U<sub>CC</sub>. Na výstupu každého ze tří komparátorů, jejichž výstupy jsou připojeny k výstupu prvního, se může odebrat výstupní napětí určité velikosti, které odpovídá časovému zpoždění výstupních impulsů jednotlivých komparátorů. Závislost časového zpoždění na jednotlivých výstupech komparátoru je v levém dolním rohu obr. 55.

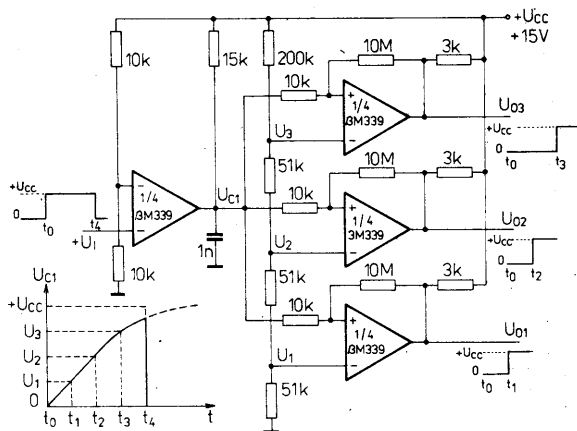
Ke zhotovení oscilátoru s pravoúhlým výstupním signálem s kmitočtem 100 kHz a napětím rovným napájecímu napětí postačí jeden komparátor obvodu βM339. K funkci oscilátoru postačí jeden kondenzátor a pět rezistorů v zapojení podle obr. 56. Změnu kmitočtu ovlivňuje odpor rezistoru R<sub>4</sub> a kondenzátor C<sub>1</sub>. Kmitočet oscilátoru při změněných hodnotách součástek lze určit z přibližného vztahu

$$f = 1,4R_4C_1.$$

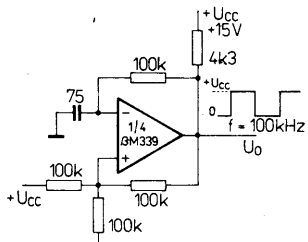
Popisované komparátory se mohou rovněž použít k vytvoření logických členů AND v zapojení obr. 57 a OR v zapojení obr. 58. Funkce výstupního napětí je dána součinem  $U_0 = A \cdot B \cdot C$ . Čtyři komparátory se spojenými výstupy v zapojení na obr. 59 tvoří logický člen Wired-OR.

Způsob řízení logických obvodů TTL komparátorem βM339 je na obr. 60, logických obvodů CMOS na obr. 61. Stejně jednoduché a zajímavé zapojení je rozhraní mezi obvody logiky TTL a MOS podle obr. 62, ke kterému postačí pouze jeden komparátor βM339. V tomto případě se musí použít dvě napájecí napětí (pro logiku TTL napětí +5 V, pro logiku MOS napětí -12 V) a vnější referenční napětí +1,4 V.

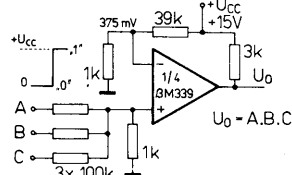
Všechna popsána zapojení kromě posledních dvou (obr. 60 a 62) jsou volena pro nesymetrické napájecí napětí +15 V. Uvedené příklady jsou vybraná zapojení, skutečných možností využití komparátorů je však velké množství. Je samozřejmé, že ve všech



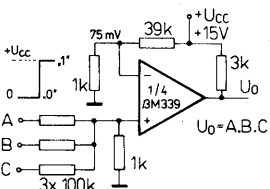
Obr. 55. Generátor časově zpožděných impulsů s plným využitím integrovaných obvodů řady  $\beta M 339$



Obr. 56. Oscilátor s pravoúhlým výstupním signálem 100 kHz, osazený komparátorem řady  $\beta$ M339



Obr. 57. Logický člen AND s komparátorem řady BM339



*Qbr. 58. Logický člen OR s komparátorem  
řady BM339*

popsaných zapojeních se mohou použít též komparátory  $\beta M2901$  nebo  $\beta M3302$  při respektování jejich mezních a charakteristických údajů.

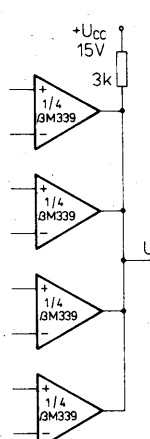
Popsané integrované komparátory rumunské výroby jsou obdobou komparátorů americké výroby firem National Semiconductor a Fairchild podle následujícího přehledu:

Typ	Obdoba	National Semiconductor	Fairchild
βM339	LM339		μA339
βM339M	LM239		μA239
βM339V	LM139		μA139
βM2901	LM2901		μA2901
βM3302	LM3302		μA3302

Tab. 15. Elektrické údaje ROB339

Mezní údaje	
Napájecí napětí:	$U_{CS} \leq 36$ V.
Vstupní napětí diferenční:	$U_{ID} \leq 36$ V.
Zkrátový výkon celkový:	$P_{tot} \leq 670$ mW.
Rozsah pracovní teploty okolí:	$\vartheta_a = 0$ až $+70$ °C.
Charakteristické údaje	
Plati při $\vartheta_a = 25$ °C, $U_{CC} = +5$ V	
Vstupní napěťová nesymetrie	
$R_S = 0$ Ω, $U_0 = 1,4$ V:	$U_{IO} =$ jmen. 2; $\leq 5$ mV.
Vstupní kladový proud:	$I_{IB} =$ jmen. 2,5; $\leq 250$ nA.
Napěťové zeslení	
$R_L = 15$ kΩ, $U_{CC} = 15$ V:	$A_u =$ jmen. 200 000 V/V.
Výstupní saturacní napětí	
$I_O = 4$ mA, $-U_I = 1$ V, $+U_I = 0$ V:	$U_{O,sat} =$ jmen. 0,25; $\leq 0,4$ V.
Doba zpoždění průchodu signálů <sup>1)</sup>	
$R_L = 5,1$ kΩ, $U_{OS} = 5$ V:	$t_{fs} =$ jmen. 1,3 μs.
Napětí spoletěného módu:	$U_{CM} = 0$ až $-1,5$ V..
Výstupní proud	
$-U_I = 1$ V, $+U_I = 0$ V:	$I_O =$ jmen. 16; $\geq 6$ mA.

1) Doba zpoždění je interval mezi začátkem vstupního skoku 100 mV s přebuzením 5 mV a dobou, kdy na výstupu vznikne logické prahové napětí.



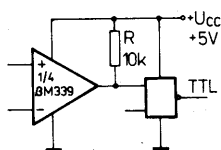
Obr. 59. Logický člen Wired-OR s komparátorem řady BM339

## Čtyřnásobný komparátor ROB339

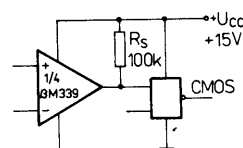
Druhý výrobce polovodičových součástek v Rumunsku, CCSIT-S, vyrábí další typ monolitického čtyřnásobného komparátoru, ROB339, který má v podstatě stejné užitné vlastnosti jako již popsaný typ komparátoru BM339. Může se napájet z jednoho kladného zdroje napětí v rozsahu od 2 V do 36 V nebo kladného a záporného zdroje napětí od  $\pm 1$  V do  $\pm 16$  V. Komparátor má malý příkon asi 2 mW (jednoho systému) při napájení jedním napětím +5 V. Výstup s otevřeným kolektory vývodem je slučitelný s obvodem logiky DTL, TTL, ECL, MOS a CMOS.

Elektrické údaje komparátoru ROB339 jsou v tab. 15. Protože se poněkud odlišují od typu  $\beta$ M339, musí se odchylky, i když jsou malé, respektovat při návrhu pracovního zapojení. Zapojení vývodů komparátoru ROB339 (je shodné s  $\beta$ M339) je na obr. 48. Zjednodušené vnitřní elektrické zapojení je na obr. 63.

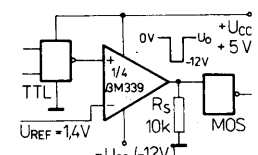
Všechna zapojení doporučená pro komparátory  $\beta$ M339 se mohou plně využít rovněž ve spojení s komparátorem ROB339.



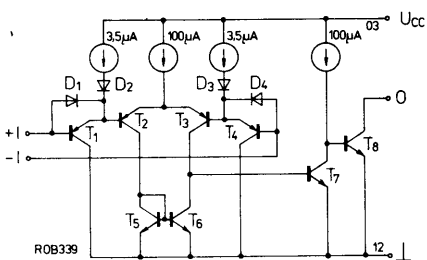
Obr. 60. Zapojení pro řízení logických obvodů TTL komparátorem řady  $\beta M 339$



Obr. 61. Zapojení pro řízení logických obvodů CMOS komparátorem řady BM339



Obr. 62. Rozhraní logiky TTL a MOS s jedním komparátorem řady μM339



Obr. 63. Zjednodušené vnitřní elektrické za-  
pojení jednoho systému čtyřnásobného  
komparátoru ROB339

## Velmi rychlý diferenční komparátor μA760PC

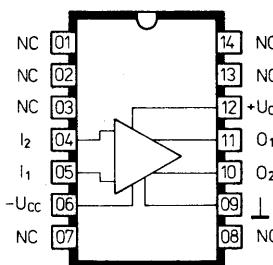
Maďarský výrobce MEV (dříve Tungsram) je výrobcem speciálního, velmi rychlého diferenčního napěťového komparátoru μA760PC, který se vyznačuje velkou rychlostí zpracování signálu (max. 25 ns) a napájí se ze symetrického zdroje malého napětí v rozsahu od  $\pm 4,5$  do  $\pm 6,5$  V. Komparátor se může používat ve velmi rychlých systémech analogově-číslicových převodníků a jako detektor průchodu nuly v diskových a páskových paměťových zesiňovačích. Výstup komparátoru se vyznačuje vyváženými dobami náběhu a poklesu signálu pro minimální činitel sklonu impulsu a uzavřeným výběrem mezi komplementárními výstupy. Výstupy komparátoru jsou sloužitelné s logikou TTL, při zátěži dvěma logickými hradly je zaručováno minimální zmenšení výkonu.

Vnitřní elektrické zapojení komparátoru μA760PC je na obr. 64. Dodává se v plastovém pouzdru DIL-14 s  $2 \times$  sedmi vývody ve dvou řadách. Zapojení vývodů komparátoru je na obr. 65. Funkce vývodů: 01, 02, 03 – nepoužité vývody, 04 – vstup 2, 05 – vstup 1, 06 – přípoj záporného napájecího napětí, 07, 08 – nepoužité vývody, 09 – zemnice vývod, 10 – výstup 2, 11 – výstup 1, 12 – přípoj kladného napájecího napětí, 13, 14 – nepoužité vývody.

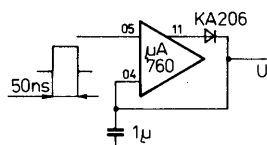
Elektrické údaje komparátoru jsou v tab. 16. Vstupní vlastnosti jsou srovnatelné s běžnými napěťovými komparátory, výstupní napětí jsou volena tak, aby se komparátor mohl používat ve spojení s běžnou logikou TTL. Rychlosť a přesnost činnosti je definována dobou zpoždění průchodu sinusového signálu o kmitočtu 10 MHz mezi vrcholového napětí 30 mV a 2 V a impulsním signálem se vstupním krokem 100 mV. Přesnost obou výstupů zaručuje čtyři měření doby rozdílu průchodu signálu mezi oběma výstupy, která nesmí překročit 5 ns, popří. 10 ns. Doba zpoždění signálů se prakticky nemění při záporném vstupním napěti od 4 V do 10 V, kdy je 20 ns, při kladném vstupním napěti se zkrati k 28 ns při 4 V na 22,5 ns při napěti 10 V.

Diferenční komparátor μA760PC je praktická univerzální součástka pro zapojení detektorů, linkových přijímačů, rychlých převodníků apod. Zapojení na obr. 66 předvádí jednoduchost rychlého detektora kladných vrcholových napětí. Vstupní měřený signál se přivádí na vstup 1, šířka vstupních impulů má být okolo 50 ns.

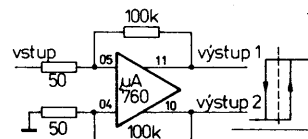
Na obr. 67 je zapojení úrovňového detektoru s hysterezí s integrovaným obvodem μA760PC. Zapojení detektoru s přechodem



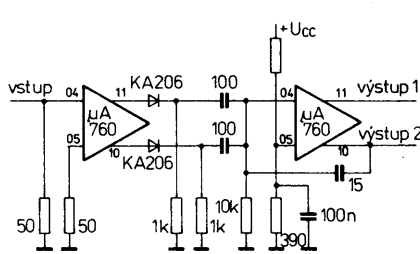
Obr. 65. Zapojení vývodů komparátoru μA760PC, ROB760 v plastovém pouzdru DIL-14



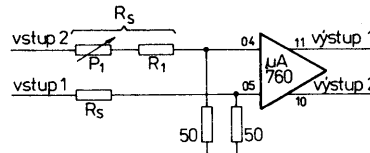
Obr. 66. Rychlý detektor kladných vrcholových napětí s komparátorem řady μA760PC



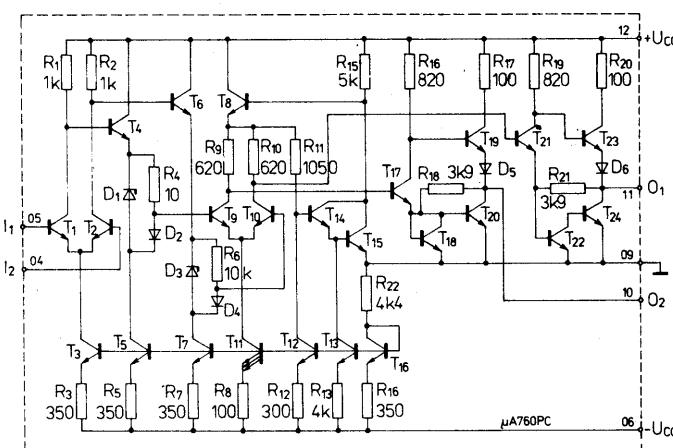
Obr. 67. Úrovňový detektor s hysterezí osazený komparátorem μA760PC



Obr. 68. Zapojení detektora s přechodem v nule se dvěma obvody μA760PC



Obr. 69. Linkový přijímač s velkým pracovním rozsahem osazený komparátorem μA760PC



Obr. 64. Vnitřní elektrické zapojení komparátoru μA760PC a ROB760

v nule, v němž jsou použity dva komparátory μA760PC, je na obr. 68. Detektor pracuje se vstupním signálem o kmitočtovém rozsahu 300 Hz až 3 MHz, který musí mít mezi vrcholové napětí nejméně 20 mV. Celková doba zpoždění detektoru je průměrně 30 ns.

Stejně jednoduché je zapojení linkového přijímače s velkým rozsahem pracovního režimu podle obr. 69. Rozsah pracovního režimu je dán vztahem

$$\pm 4 \frac{R_S}{50} [V],$$

vstupní differenční citlivost

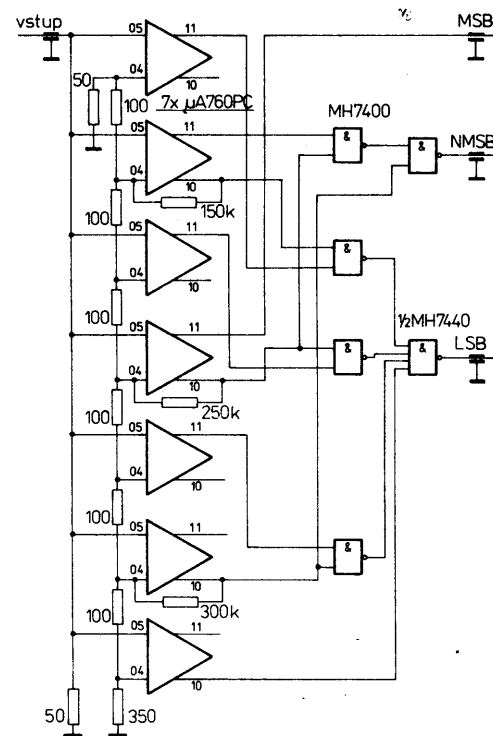
$$5 \frac{R_S}{50} [mV].$$

K nastavení optimálního pracovního režimu se použije potenciometr  $P_1$ , který je součástí vstupního odporu  $R_S$ . Při doporučeném odporu rezistoru  $R_S$  ve vstupu ( $200 \Omega$ ) se dosáhne rozsahu společného napětí  $\pm 16$  V a citlivosti přijímače 20 mV.

Návrh velmi rychlého tříbitového analogovo-číslicového převodníku je na obr. 70. V zapojení je použito sedm komparátorů μA760PC, které pracují s paralelními vstupy. Výstupní signál z komparátorů se přivádí na vstupy logických členů NAND obvodů MH7400, výstupní signál ze středního (pořadím čtvrtého) komparátoru (výstup 11) slouží jako nejvyšší platný bit MSB. Výstupní signály ostatních komparátorů upravují logické členy NAND obvodů MH7400 a MH7440 na výstupní středně platný bit a nejnižší platný bit LSB. Rozsah vstupního napěti převodníku je 3,5 V, typická rychlosť převodu 30 ns.

## Velmi rychlý diferenční komparátor ROB760

Rumunský výrobce CCSIT-S vyrábí velmi rychlý diferenční napěťový komparátor pod označením ROB760, který je obdobou komparátoru μA760. Napájí se ze symetrického zdroje napětí od  $\pm 4,5$  do  $\pm 6,5$  V. Krátká doba vybavení převodníku – průměrně



Obr. 70. Velmi rychlý tříbitový analogovo-číslicový převodník se sedmi komparátory μA760PC

Tab. 16. Elektrické údaje μA760PC

Mezní údaje	
Napájecí napětí kladné:	$U_{CC1} \leq +8 V$ .
Napájecí napětí záporné:	$U_{CC2} \geq -8 V$ .
Výstupní proud vrcholový:	$I_{OM} \leq 10 mA$ .
Vstupní napětí soufázové:	$U_{IC} \leq \pm U_{CC} V$ .
Vstupní napětí diferenční:	$U_{ID} \leq \pm 5 V$ .
Ztrátový výkon celkový	
$\theta_a \leq 70^\circ C$ :	$P_{tot} \leq 670 mW$ .
Rozsah pracovních teplot:	$\theta_a = 0 až +70^\circ C$ .
Rozsah skladovacích teplot:	$\theta_{sig} = -65 až +150^\circ C$ .
Charakteristické údaje	
Platí při $U_{CC} = \pm 4,5$ až $\pm 6,5 V$ , $\theta_a = 0 až +70^\circ C$ .	
Jmenovité údaje platí při $\theta_a = 25^\circ C$ , není-li uvedeno jinak	
Vstupní napěťová nesymetrie	
$R_S \leq 200 \Omega$ :	$U_{IO} = \text{jmen. } 1; \leq 6 mV$ .
Vstupní prouďová nesymetrie:	$I_{IO} = \text{jmen. } 5; \leq 7,5 \mu A$ .
Vstupní klidový proud:	$I_{IB} = \text{jmen. } 8; \leq 60 \mu A$ .
Výstupní odpor (každého výstupu)	$R_O = \text{jmen. } 100 \Omega$ .
$U_0 = U_{OH}$ :	$t_{pd} = \text{jmen. } 18; \leq 30 ns$ ,
Doba zpoždění průchodu signálu	$t_{pd} \leq 25 ns$ ,
$\theta_a = 25^\circ C$ <sup>1)</sup> :	$t_{pd} = \text{jmen. } 16 ns$ .
$\theta_a = 25^\circ C$ <sup>2)</sup> :	
<sup>1)</sup> :	
Rozdíl doby zpoždění průchodu signálu mezi výstupy	
$t_{pd} (+U_1) - t_{pd} (-U_2)$ , $\theta_a = 25^\circ C$ :	$\Delta t_{pd,0-0} \leq 5 ns$ ,
$t_{pd} (+U_2) - t_{pd} (-U_1)$ , $\theta_a = 25^\circ C$ :	$\Delta t_{pd,0-0} \leq 5 ns$ ,
$t_{pd} (+U_1) - t_{pd} (+U_2)$ , $\theta_a = 25^\circ C$ :	$\Delta t_{pd,0-0} \leq 10 ns$ ,
$t_{pd} (-U_1) - t_{pd} (-U_2)$ , $\theta_a = 25^\circ C$ :	$\Delta t_{pd,0-0} \leq 10 ns$ .
Vstupní odpor	
$f = 1 MHz$ :	$R_I = \text{jmen. } 12 k\Omega$ .
Vstupní kapacita	
$f = 1 MHz$ :	$C_I = \text{jmen. } 8 pF$ .
Střední teplotní součinitel vstupní napěťové nesymetrie	
$R_S = 50 \Omega$ , $\theta_a = 0 až +70^\circ C$ :	$\Delta U_0 / \Delta \theta_a = \text{jmen. } 3 \mu V/K$ .
Střední teplotní součinitel vstupní prouďové nesymetrie	
$\theta_a = 25 až +70^\circ C$ :	$\Delta I_{IO} / \Delta \theta_a \text{ jmen. } 5 nA/K$ ,
$\theta_a = 25 až 0^\circ C$ :	$\Delta I_{IO} / \Delta \theta_a \text{ jmen. } 10 nA/K$ .
Rozsah vstupního napětí	
$U_{CC} = \pm 6,5 V$ :	$U_I = \text{jmen. } \pm 4,5; \leq \pm 4,0 V$ .
Rozsah vstupního diferenčního napětí:	$U_{ID} = \text{jmen. } \pm 5,0 V$ .
Výstupní napětí – úroveň H každý výstup	
$I_O = 0 až 5 mA$ , $U_{CC} = \pm 5 V$ :	$U_{OH} = \text{jmen. } 3,2; \geq 2,4 V$ .
$I_O = 80 \mu A$ , $U_{CC} = \pm 4,5 V$ :	$U_{OH} = \text{jmen. } 3,0; \geq 2,5 V$ .
Výstupní napětí – úroveň L každý výstup	
$I_O = 3,2 mA$ :	$U_{OL} = \text{jmen. } 0,25; \leq 0,4 V$ .
$U_{CC} = \pm 6,5 V$ :	$I_{CC1} = \text{jmen. } 18; \leq 34 mA$ .
Napájecí proud ze záporného zdroje	
$U_{CC} = \pm 6,5 V$ :	$I_{CC2} = \text{jmen. } 9; \leq 16 mA$ .

1) Doba zpoždění, měřená z bodu 50% mezivrcholového vstupního napětí 30 mV sinusového signálu 10 MHz do 50 % napětí výstupu.

2) Doba zpoždění, měřená z bodu 50% mezivrcholového vstupního napětí 2 V sinusového signálu 10 MHz do 50 % napětí výstupu.

3) Doba zpoždění, měřená od startu vstupního signálu v krocích 100 mV s přebuzením 5 mV časového okamžiku, kdy výstup překročí logickou prahovou velikost.

18 ns, max. 30 ns předurčuje tuto součástku k použití v rychlých analogově číslicových převodníkových systémech a jako detektor pracující v nule v zesilovačích diskových a páskových paměti apod. Výstupy komparátoru jsou slučitelné s logikou TTL.

Elektrické údaje komparátoru ROB760 jsou v tab. 17. Výrobce dodává tento komparátor ve dvou různých pouzdrách. Jednak je to plastové pouzdro DIL-14 (zapojení vývodů na obr. 65), jednak v kovovém pouzdru TO-99 s osmi drátovými vývody (zapojení vývodů na obr. 71). Obě provedení komparátoru jsou určena pro použití v rozsahu teplot okolo od 0 do  $+70^\circ C$ . K praktickému využití se mohou převést všechna zapojení, uvedená v popisu komparátoru μA760PC (obr. 67 až 70), která platí pro součástku v plastovém pouzdru DIL-14. Pokud se použije komparátor v kovovém pouzdře TO-99,

mohou se tato zapojení rovněž použít (pozor na číslování vývodů).

### Přesné napěťové komparátoru řady 311

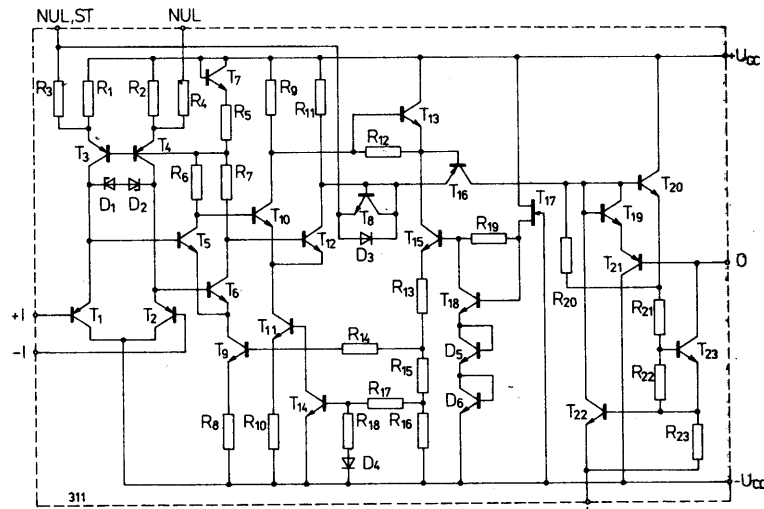
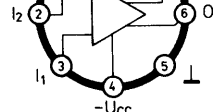
Přesné napěťové komparátoru řady 311 se vyznačují malými vstupními proudy, které jsou řádově stokrát menší než vstupní proudy tradičních komparátorů řady 710, jsou určeny pro přesné komparační zesilovače nebo se mohou používat jako budiče výkonových součástek s napětím od 40 V a proudem do 50 mA. Komparátoru pracují v širokém rozsahu napájecích napětí od běžných úrovní bipolárního napětí  $\pm 15 V$  až po unipolární napětí  $+5 V$ . Výstup komparátoru je slučitelný s obvody logiky DTL, TTL, RTL a MOS. Komparátem se může budit relé,

Tab. 17. Elektrické údaje ROB760

Mezní údaje	
Napájecí napětí kladné:	$U_{CC1} \leq +8 V$ .
Napájecí napětí záporné:	$U_{CC2} \geq -8 V$ .
Výstupní proud vrcholový:	$I_{OM} \leq 10 mA$ .
Vstupní napětí soufázové:	$U_{IC} \leq \pm U_{CC} V$ .
Vstupní napětí diferenční:	$U_{ID} \leq \pm 5 V$ .
Ztrátový výkon celkový	
$\theta_a \leq 70^\circ C$ :	$P_{tot} \leq 670 mW$ .
Rozsah pracovních teplot:	$\theta_a = 0 až +70^\circ C$ .
Rozsah skladovacích teplot:	$\theta_{sig} = -65 až +150^\circ C$ .
Charakteristické údaje	
Platí při $U_{CC} = \pm 4,5$ až $\pm 6,5 V$ , $\theta_a = 0 až +70^\circ C$ .	
Jmenovité údaje platí při $\theta_a = 25^\circ C$ , není-li uvedeno jinak	
Vstupní napěťová nesymetrie	
$R_S \leq 200 \Omega$ :	$I_{IO} = \text{jmen. } 1; \leq 6 mV$ .
Vstupní prouďová nesymetrie:	$I_{IO} = \text{jmen. } 5; \leq 7,5 \mu A$ .
Vstupní klidový proud:	$I_{IB} = \text{jmen. } 8; \leq 60 \mu A$ .
Výstupní odpor (každého výstupu)	$R_O = \text{jmen. } 100 \Omega$ .
$U_0 = U_{OH}$ :	$t_{pd} = \text{jmen. } 18; \leq 30 ns$ ,
Doba zpoždění průchodu signálu	$t_{pd} \leq 25 ns$ ,
$\theta_a = 25^\circ C$ <sup>1)</sup> :	$t_{pd} = \text{jmen. } 16 ns$ .
$\theta_a = 25^\circ C$ <sup>2)</sup> :	
<sup>1)</sup> :	
Rozdíl doby zpoždění průchodu signálu mezi výstupy	
$t_{pd} (+U_1) - t_{pd} (-U_2)$ , $\theta_a = 25^\circ C$ :	$\Delta t_{pd,0-0} \leq 5 ns$ ,
$t_{pd} (+U_2) - t_{pd} (-U_1)$ , $\theta_a = 25^\circ C$ :	$\Delta t_{pd,0-0} \leq 5 ns$ ,
$t_{pd} (+U_1) - t_{pd} (+U_2)$ , $\theta_a = 25^\circ C$ :	$\Delta t_{pd,0-0} \leq 10 ns$ ,
$t_{pd} (-U_1) - t_{pd} (-U_2)$ , $\theta_a = 25^\circ C$ :	$\Delta t_{pd,0-0} \leq 10 ns$ .
Vstupní odpor	
$f = 1 MHz$ :	$R_I = \text{jmen. } 12 k\Omega$ .
Vstupní kapacita	
$f = 1 MHz$ :	$C_I = \text{jmen. } 8 pF$ .
Střední teplotní součinitel vstupní napěťové nesymetrie	
$R_S = 50 \Omega$ , $\theta_a = 0 až +70^\circ C$ :	$\Delta U_0 / \Delta \theta_a = \text{jmen. } 3 \mu V/K$ .
Střední teplotní součinitel vstupní prouďové nesymetrie	
$\theta_a = 25 až +70^\circ C$ :	$\Delta I_{IO} / \Delta \theta_a \text{ jmen. } 5 nA/K$ ,
$\theta_a = 25 až 0^\circ C$ :	$\Delta I_{IO} / \Delta \theta_a \text{ jmen. } 10 nA/K$ .
Rozsah vstupního napětí	
$U_{CC} = \pm 6,5 V$ :	$U_I = \text{jmen. } \pm 4,5; \leq \pm 4,0 V$ .
Rozsah vstupního diferenčního napětí:	$U_{ID} = \text{jmen. } \pm 5,0 V$ .
Výstupní napětí – úroveň H každý výstup	
$I_O = 0 až 5 mA$ , $U_{CC} = \pm 5 V$ :	$U_{OH} = \text{jmen. } 3,2; \geq 2,4 V$ .
$I_O = 80 \mu A$ , $U_{CC} = \pm 4,5 V$ :	$U_{OH} = \text{jmen. } 3,0; \geq 2,5 V$ .
Výstupní napětí – úroveň L každý výstup	
$I_O = 3,2 mA$ :	$U_{OL} = \text{jmen. } 0,25; \leq 0,4 V$ .
$U_{CC} = \pm 6,5 V$ :	$I_{CC1} = \text{jmen. } 18; \leq 34 mA$ .
Napájecí proud ze záporného zdroje	
$U_{CC} = \pm 6,5 V$ :	$I_{CC2} = \text{jmen. } 9; \leq 16 mA$ .

1) Doba zpoždění, měřená z bodu 50% mezivrcholového vstupního napětí 30 mV sinusového signálu 10 MHz do 50 % napětí výstupu.

Obr. 71. Zapojení vývodů komparátoru ROB760 v kovovém pouzdru TO-99



Obr. 72. Vnitřní elektrické zapojení přesného komparátoru řady 311

indikační žárovky či jiné spínací prvky. Výstupní spinaci napětí do 40 V může komparátor dodávat při zatěžovacím proudu do 50 mA. Komparátor této řady vyrábějí tři výrobci v zemích RVHP – v BLR, RSR, SSSR. Vyrábějí se rovněž v podniku TESLA Rožnov pod označením MAB311 a MAC111.

Vnitřní elektrické zapojení komparátorů řady 311 je na obr. 72. Vstupy a výstupy komparátoru se mohou odizolovat od zemnicího potenciálu systému, v němž komparátor pracuje. Výstup může pracovat se zátěží vztaženou k zemnicímu, kladnému nebo zápornému napájecímu napětí. Konstrukce

systému komparátoru umožňuje využít ne-symetrii vstupů a galvanicky spojít výstupy několika komparátorů do společné zátěže a vytvořit tak logický člen Wired-OR nebo funkci vzorkování.

Neocenitelnou předností komparátorů je možnost napájet je bipolárním napětím  $\pm 2,5$  až  $\pm 18$  V, používaných u převážné většiny analogových integrovaných obvodů, nebo unipolárním kladným napětím od 5 V do +36 V (vůči vývodu  $-U_{CC}$ ), které se používá pro napájení logických obvodů TTL a CMOS.

Funkce komparátoru je patrná z vnitřního zapojení. Stupeň integrace použitých součástek systému je IO-2 (do 100 součástek na čipu). Výrobci dodávají komparátory v několika provedeních pouze i pro práci v různých rozsazích provozních teplot okolí. Přehled součástek podle výrobce je v tab. 18.

Nejrozšířenější jsou komparátory v plastovém pouzdro DIL-14 nebo kovovém pouzdro TO-99 s osmi drátovými vývody ve skleněné průchodce. Bulharský výrobce dodává komparátory též ve zkráceném plastovém pouzdro DIL-8. Funkce vývodů: (GND) – zemníci bod, +1 – neinvertující vstup, -1 – invertující vstup,  $-U_{CC}$  – pripoj záporného napájecího napětí (nebo zemníci bod při provozu komparátoru s unipolárním kladným napájecím napětím), NUL – nulován. NUL, ST – nulování/vzorkování, O – výstup, + $U_{CC}$  – pripoj kladného napájecího napětí.

Integrované komparátory řady 311 mají stejná zapojení vývodů jako komparátory staršího typu LM306, LF111, LM710C v provedených se stejnými pouzdry. Ve srovnání s komparátory LM306 a LM710C jsou komparátory řady 311 pomalejší (doba jejich odezvy je typicky okolo 110 ns ve srovnání s 40 ns u LM306 a LM710C), proto jsou méně náchylné k nežádoucím oscilacím.

#### Komparátory 1CA311E, 1CA311M

Bulharský výrobce Mikroelektronika vyrábí dva typy komparátorů řady 311. Označuje je typovým znakem 1CA311E a 1CA311M. Rozdíl je pouze v použití plastovém pouzdro DIL-14 nebo zkráceném pouzdro DIL-8 a v poněkud zhoršených vlastnostech elektrických typu 1CA311M. Rozsah provozních teplot je u obou typů 0 až +70 °C. Výhodou provedení ve zkráceném pouzdro je úspora místa na desce s plošnými spoji, proto jsou tyto součástky určeny pro přístroje široké spotřeby s méně náročnými požadavky. Zapojení vývodů komparátorů je na obr. 73 a 74.

#### Komparátory ROB311

Rumunský výrobce CCSIT-S vyrábí popisovaný komparátor pod označením ROB311 ve dvou odlišných pouzdrech – v plastovém pouzdro DIL-14 a kovovém pouzdro TO-99. Zapojení vývodů je na obr. 73 a 75. Oba komparátory mohou pracovat v základním rozsahu provozních teplot od 0 do 70 °C. Výrobce zaručuje jen ty nezákladnější elektrické vlastnosti.

#### Komparátory K554SA3A, K554SA3B, K521SA3

Sovětské závody polovodičových součástek vyrábějí tři provedení komparátorů řady 311. Provedení K554SA3A a K554SA3 je v plastovém pouzdro DIL-14, jsou určeny pro použití v širokém rozsahu provozních teplot okolí a navzájem se odlišují přísnějšími specifikacemi typu K554SA3A. Starší provedení komparátoru K521SA3 je elektricky shodné s komparátorem K554SA3B, je však v kovovém pouzdro TO-99. Podle posledních informací tento typ již není vyráběn, je však používán v dovezených zařízeních.

Elektrické údaje popsaných typů komparátorů jsou v tab. 19, 20 a 21.

Tab. 18. Přehled komparátorů řady 311 podle jednotlivých výrobců v zemích RVHP

Typ	Výrobce	Rozsah provozních teplot	Pouzdro	Zapojení vývodů obr.:
ROB3L1	CCSIT-S, RSR	A	DIL-14	73
ROB311	CCSIT-S, RSR	A	TO-99	75
1CA311E	Mikroelektronika, BLR	A	DIL-14	73
1CA311M	Mikroelektronika, BLR	A	DIL-8	74
K521SA3	SSSR	C	TO-99	75
K554SA3A	SSSR	C	DIL-14	73
K554SA3B	SSSR	C	DIL-14	73

Rozsah provozních teplot okolí:  
A: 0 až +70 °C, C: -40 až +85 °C.

#### Doporučení konstruktérům

Komparátory všechny popsaných typů jsou všeobecně velmi obtížně použitelné analogové součástky v praxi. Snadno se samovolně rozkmitávají při průchodu vstupních napětí komparační úrovni. Oscilace způsobují indukční a kapacitní vazby mezi výstupem a všemi ostatními signálnovými vývody, hlavně pak vstupy. Další příčinou mohou být též vnitřní nebo vnější vazby komparátoru na impedanci vývodů z napájecích zdrojů. Nežádoucí obtíží se může předejít dodržením několika následujících doporučení.

Rychlé komparátory řady 311 se vyznačují při provozu s rychlým vstupním signálem a malou impedancí zdroje vstupního signálu rychlou a stabilní odezvou výstupu, ovšem za předpokladu, že zdroje napájecích napětí budou blokovány kvalitními vf monolitickými keramickými kondenzátory s kapacitou 0,1  $\mu F$ . Je vhodné kombinovat keramický kondenzátor s paralelním tantalovým elektrolytickým kondenzátorem, který současně plní funkci zásobníku napájecí energie při zvětšených odběrech špičkového proudu.

Vstupní signál se musí odvádět co nejdále od vstupu komparátoru a nulovacích vývodů. Jako dobré uzemnění může posloužit tlustý vodič plošného spoje nebo měděná vrstva, která pokrývá horní desku s plošnými spoji.

Použije-li se výstupní signál se skokovým napětím nebo sinusový s nízkým kmitočtem, popříp. má-li zdroj vstupního signálu velkou impedanci (v rozmezí od 1 k $\Omega$  do 100 k $\Omega$ ), bude komparátor velmi náchylný k oscilacím v okamžiku dosažení komparační úrovni. Příčinou je velký zisk a velká šířka pásma komparátoru. Oscilace a nestabilita provozu komparátoru se dá potlačit úpravou zapojení podle obr. 76.

Využívající vývody vstupní napěťové ne-symetrie pracují jako nežádoucí pomocné vstupy. Nejsou-li tyto vývody využívány (není-li k nim připojen využívající potenciometr), musí se navázat zkratovat. Je-li k této vývodům připojen využívající potenciometr, musí se k němu připojit paralelní kondenzátor s kapacitou 2 až 10 nF, kterým se zamezí vazba střídavým napětím na minimální míru. Využívá-li se vývod NUL ke kladné zpětné vazbě (jako je tomu na obr. 76), postačí k přemostění potenciometru kondenzátor s menší kapacitou.

Připojí-li se paralelně ke vstupu komparátoru kondenzátor s kapacitou 100 až 1000 pF, spolehlivě se tím zajistí nezkeslený výstupní signál komparátoru.

Jestliže se zdroj vstupního signálu připojuje ke komparátoru přes rezistor  $R_S$ , musí se zvážit účelnost připojení rezistoru  $R_S$  se stejným odporem v obvodu druhého vstupního vývodu. Oba rezistory se však musí posuzovat s ohledem na jejich stejnosměrné i dynamické vlastnosti. Doporučuje se výlučně používat uhlikové tenkovrstvové nebo metalizované rezistory, které zajistí dobrou funkci vstupního obvodu komparátoru. Zásadně se nesmí používat drámem vinuté rezistory, které mají velkou indukčnost.

Použije-li se v zapojení komparátoru vstupní rezistor (např. sumační rezistor), jeho odpor a umístění se musí dobře zvážit. Tělesko rezistoru má být vždy co nejbližší k vývodu integrovaného obvodu nebo k jeho objímce. Rezistor musí mít co nejkratší vývod, neboť dlouhé vývody a spoje mezi komparátem a rezistorem vyzařují nebo zachycují nežádoucí signály z okolí. Totéž platí při použití kondenzátorů, potenciometrů a dalších součástek. Např. rezistor  $R_S$  s odporem 10 k $\Omega$  a přívod od rezistoru ke vstupním vývodům v délce 125 mm způsobí rozkmitání komparátoru, které se jen velmi obtížně potlačuje nebo tlumí. Jediným řešením je pak zkroucení nebo spletení vstupních vývodů a umístění rezistoru těsně ke komparátoru.

Protože zpětná vazba mezi téměř všemi vývody komparátoru může způsobovat oscilace, musí se deska s plošnými spoji navrhovat technicky velmi obezřetně. Především základní spoje okolo obvodu součástky mají být odstíněny. K tomu se používají jedné strany vodivé vrstvy oboustranně plátnové desky. Základní fólie, popříp. vývod kladného nebo záporného zdroje se má rozprostírat mezi vstupem a výstupem, kde působí jako aktivní ochrana. Přívod ke vstupu může být co nejkratší a pokud možno má být co nejpevnější, aby se v provozu nerozkmital. Má být ze všech stran obklopen základní fólií, která chrání integrovaný obvod proti kapacitní vazbě při signálech s jakoukoli větší napěťovou úrovni. Totéž platí o výstupních signálech.

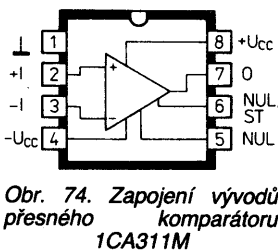
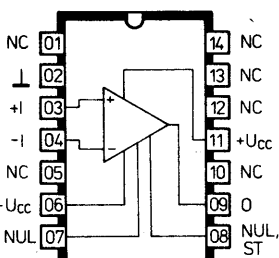
Pokud se nevyužijí nulovací vývody NUL, doporučuje se je navázat galvanicky spojit. Připojí-li se k uvedeným vývodům využívající potenciometr, má být umístěn tak, aby byl co nejdále (několik centimetrů) od integrovaného obvodu. Přímo k vývodům se připojí blokovací kondenzátor  $C_1$  s kapacitou 10 nF. Nepoužije-li se tento kondenzátor, doporučuje se zavést stínici fólii plošného spoje mezi vývody výstupu a vzorkování/nulování. Blokovací kondenzátory napájecích zdrojů musí být současně umístěny přímo na výdech komparátoru. Toto opatření vyžaduje rovněž jakékoli jiné typy komparátorů. Blokování napájecích zdrojů kondenzátory bezprostředně v přilehlých místech komparátoru je základní podmínkou správné funkce integrovaného komparátoru.

K zamezení vzniku nežádoucích oscilací se dále doporučuje využít hysterezu komparátoru – řízené kladné zpětné vazby z výstupu do vstupu nebo do vývodu NUL. Nežádoucímu šumu na výstupu komparátoru se vyhneme správným využitím dobrých vlastností doporučených součástek. V zapojení na obr. 77 zavedená zpětná vazba z výstupu na neinvertující vstup způsobuje hysterezi asi 3 mV. Má-li rezistor  $R_S$  větší odpor než 100  $\Omega$  (např. 50 k $\Omega$ ), nebylo by přiměřené zvětšovat velikost kladné zpětné vazby rezistorem s odporem větším než 510 k $\Omega$ .

Zapojení podle obr. 78 se doporučuje použít pouze v případě, kdy potřebujeme zavést kladnou zpětnou vazbu komparátoru, který

Tab. 19. Elektrické údaje 1CA311E, 1CA311M

Mezní údaje	
Napájecí napětí: Vstupní napětí souřázové: Vstupní napětí diferenční: Napětí mezi výstupem a vývodem záporného napájecího napětí: Napětí mezi zemnicím vývodem a vývodem záporného napájecího napětí: Ztrátový výkon celkový: Teplota přechodu: Rozsah pracovních teplot okolí: Rozsah skladovacích teplot:	$U \leq 36 \text{ V}$ . $U_{IC} = -15 \text{ až } +15 \text{ V}$ . $U_{ID} = -30 \text{ až } +30 \text{ V}$ . $U_O \leq 40 \text{ V}$ . $U_{GND/-} \leq 30 \text{ V}$ . $P_{tot} \leq 500 \text{ mW}$ . $\theta \leq 85^\circ \text{C}$ . $\theta_a = 0 \text{ až } +70^\circ \text{C}$ . $\theta_{sig} = -55 \text{ až } +125^\circ \text{C}$ .
Charakteristické údaje Platí při $\theta_a = 25^\circ \text{C} \pm 5 \text{ K}$ , $U_{CC} = \pm 15 \text{ V} \pm 5 \%$ , není-li uvedeno jinak.	
Vstupní napěťová nesymetrie $R_s \leq 50 \Omega$ , $I_f = 1 \text{ mA}$ , $U_n = 0 \text{ V}$ , $U_0 = 14 \text{ V}$ , $U_0 = -13 \text{ V}$ :	1CA311E      1CA311M
Vstupní proudová nesymetrie $R_s \leq 50 \Omega$ , $I_f = 1 \text{ mA}$ , $U_{CC} = \pm 2,5 \text{ V}$ :	$U_{IO} \leq 7,5 \text{ mV}$ . $I_0 \leq 50 \text{ nA}$ .
Vstupní klidový proud $U_0 = 0 \text{ V}$ , $U_0 = 1,5 \text{ V}$ , $U_0 = -1,5 \text{ V}$ :	$I_B \leq 250 \text{ nA}$ .
Napěťové zesílení $R_i = 1,5 \text{ k}\Omega$ , $U_0 = 0 \text{ V}$ , $U_0 = 13 \text{ V}$ $U_0 = -10 \text{ V}$ :	$A_u \geq 40 \cdot 10^3$ . $U_{OH\ ST} \geq 14 \text{ mV}$ .
Výstupní napětí – úroveň H $R_S \leq 50 \Omega$ , $I_{ST} = 3 \text{ mA}$ :	$U_{OL} \geq 1,5 \text{ V}$ , $U_{OL} \geq 0,4 \text{ V}$ .
Výstupní napětí – úroveň L $U_l = 0$ , $I_{OL} = 50 \text{ mA}$ , $\Delta U_l \geq 10 \text{ mV}$ : $U_l = 0$ , $I_{OL} = 8 \text{ mA}$ , $\Delta U_l \geq 10 \text{ mV}$ :	$I_{OS} \leq 50 \text{ nA}$ .
Výstupní proud zbytkový $U_0 = 35 \text{ V}$ , $U_l = 10 \text{ mV}$ :	$+I_{CC} \leq 7,5 \text{ mA}$ .
Napájecí proud z kladného zdroje $U_l = 0 \text{ V}$ , $U_0 = U_{OL}$ :	$-I_{CC} \leq 5,0 \text{ mA}$ .
Napájecí proud ze záporného zdroje $U_l = 0 \text{ V}$ , $U_0 = U_{OL}$ :	
Potlačení souřázovosti $\Delta U_{IC1} = -14 \text{ V}$ , $\Delta U_{IC2} = 13 \text{ V}$ :	$CMR \geq 70 \text{ dB}$ .
Doba zpoždění průchodu signálu:	$t_d \leq 300 \text{ ns}$ .



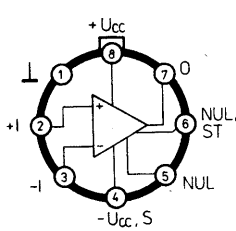
Obr. 74. Zapojení vývodů přesného komparátoru 1CA311M

Obr. 73. Zapojení vývodů přesného komparátoru 1CA311E, ROB311, K554SA3A, K554SA3B

pracuje s velkým odporem zdroje vstupního signálu.

Přivádíme-li aktivní signál na oba vstupy komparátoru nebo budíme-li kladný vstup komparátoru signálem s velkou impedancí, je ideální kladná zpětná vazba podle obr. 76. Zavádí se z výstupu na vývod NUL (slouží k nulování). Zavedená vazba postačuje k hysterezi 1 až 2 mV a k ostrému přechodu se vstupním přívětivým napětím s kmitočtem od několika Hz až po stovky Hz. Signál

kladné zpětné vazby na rezistoru  $82 \Omega$  vyvola rozkmit 240 mV pod úrovní kladného napájecího napětí. Střed signálu je okolo jmenovitého napětí na vývodu NUL, takže zpětná vazba se nepřičítá k výstupnímu napětí komparátoru. Bude-li hysterese větší o 8 mV než výstupní napětí, může se využít připojeným potenciometrem  $5 \text{ k}\Omega$  a rezistorem  $3 \text{ k}\Omega$  podle obr. 76.



Obr. 75. Zapojení vývodů přesného komparátoru ROB311, K554SA3 v kovovém pouzdru TO-99

Obr. 76. Zavedením kladné zpětné vazby se dá potlačit nestabilitu a oscilace komparátoru

Tab. 20. Elektrické údaje ROB311

Mezní údaje	
Napájecí napětí mezi vývody + $U_{CC}$ a - $U_{CC}$ :	$U_{CS} \leq 36 \text{ V}$ .
Vstupní napětí diferenční: Ztrátový výkon celkový: Rozsah pracovní teploty okolí:	$U_{ID} = -30 \text{ až } +30 \text{ V}$ . $P_{tot} \leq 500 \text{ mW}$ . $\theta_a = 0 \text{ až } +70^\circ \text{C}$ .
Charakteristické údaje	

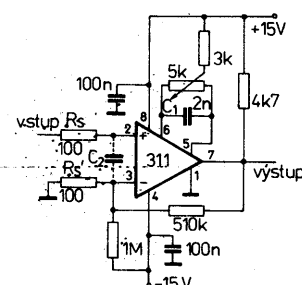
Platí při  $\theta_a = 25^\circ \text{C} \pm 5 \text{ K}$ ,  $U_{CC} = \pm 15 \text{ V} \pm 5 \%$ , není-li uvedeno jinak.

Tab. 21. Elektrické údaje komparátorů K554SA3A, K554SA3B, K521SA3

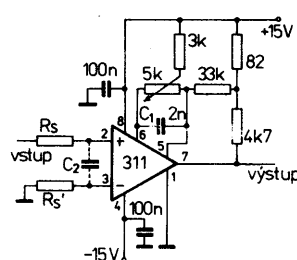
Mezní údaje	
Napájecí napětí mezi vývody 11 a 6      K554SA3A,B: 8 a 4      K521SA3:	$U_{CC\ 11/6} = 4,5 \text{ až } 33 \text{ V}$ . $U_{CC\ 8/4} = 4,5 \text{ až } 33 \text{ V}$ .
Vstupní napětí souřázové: Vstupní napětí: Napětí mezi vývody 9 a 12      K554SA3A,B: 7 a 1      K521SA3:	$U_l = -15 \text{ až } +15 \text{ V}$ . $U_l \leq 30 \text{ V}$ .
Ztrátový výkon $\theta_a \leq 75^\circ \text{C}$ :	$U_{9/2} \leq 30 \text{ V}$ . $U_{7/1} \leq 30 \text{ V}$ .
Rozsah pracovních teplot okolí:	

Platí při  $+U_{CC} = 15 \text{ V} \pm 10 \%$ ,  $-U_{CC} \pm 10 \%$

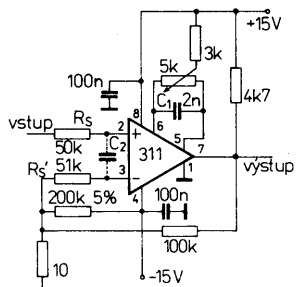
K554SA3A, K521SA3	K554SA3B
Vstupní napěťová nesymetrie $R_s = 50 \text{ k}\Omega$ :	$U_{IO} \leq 3,0 \text{ mV}$ .
Vstupní proudová nesymetrie:	$I_0 \leq 10 \text{ nA}$ .
Vstupní klidový proud:	$I_B \leq 100 \text{ nA}$ .
Napěťové zesílení $R_i = 10 \text{ k}\Omega$ , $U_0 = \pm 10 \text{ V}$ :	$A_u \geq 150 \cdot 10^3$ .
Výstupní napětí – úroveň L $U_l = 10 \text{ mV}$ , $I = 50 \text{ mA}$ :	$U_{OL} \leq 1,5 \text{ V}$ .
Napájecí proud z kladného zdroje $U_l = 10 \text{ mV}$ :	$+I_{CC} \leq 6,0 \text{ mA}$ .
Napájecí proud ze záporného zdroje $U_l = -10 \text{ mV}$ :	$-I_{CC} \leq 5,0 \text{ mA}$ .
Doba zpoždění průchodu signálu $U_l = 10 \text{ mV}$ , $I = 50 \text{ mA}$ :	$t_{PLH} \leq 300 \text{ ns}$ .



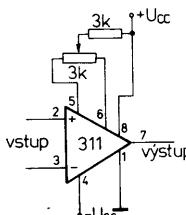
Obr. 77. Běžný způsob zavedení kladné zpětné vazby



B/3 89 Amatérské RADI



Obr. 78. Kladná zpětná vazba, vhodná při velkém odporu generátoru vstupního signálu



Obr. 79. Kompenzace vstupního zbytkového napětí

#### Typické příklady použití

Vstupní zbytkové napětí se kompenzuje v zapojení podle obr. 79 potenciometrem s odporem  $3\text{ k}\Omega$ , který se připojuje k vývodu NUL a NUL, ST.

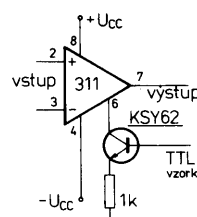
Základní zapojení komparátoru řady 311 pro provoz vzorkování je na obr. 80. V obvodu vývodu NUL, ST je zapojen krémikový tranzistor n-p-n typu KSY63 nebo 2N2222, v jehož emitoru je rezistor  $R_1$  s odporem  $1\text{ k}\Omega$ . Vzorkovací signál s úrovní TTL se přivádí na bázi tohoto tranzistoru.

Typické zapojení budiče relé se vzorkováním na obr. 81 vychází z předchozího základního zapojení. Přímo k výstupu je připojená proti zemi Zenerova dioda s vhodným Zenerovým napětím (závisí na použitém napájecím napětí), která „absorbuje“ indukční špičková napětí, vzniklá na vinutí relé. Chrání tak integrovaný obvod před zničením napětím ze zdroje napětí pro napájení relé,  $+U_B$ .

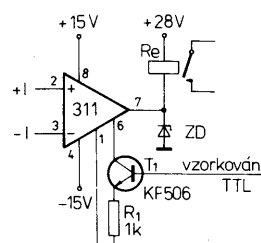
Zapojení na obr. 82 uvádí způsob vzorkování oběma vstupy a výstupem. Na neinvertující vstup se přivádí signál z číslicového analogového převodníku, na invertující vstup analogový signál přes polem řízený tranzistor MOS. K oběma nulovacím vývodům je připojen již známým způsobem tranzistor n-p-n, na jehož bázi se přivádí vzorkovací signál TTL. Typický vstupní proud vstupu bez vzorkovacího signálu je pouze 50 pA. Ve všech třech popsaných vzorkovacích zapojeních se nesmí spojit nepoužitý nulovací vstup se zemí.

Proud vstupního stupně se může v případě nutnosti zvětšit galvanickým spojením obou nulovacích vývodů s vývodem kladného napájecího napětí podle obr. 83. Touto úpravou se zvětší typická rychlosť přeběhu komparátoru z  $7,0\text{ V}/\mu\text{s}$ . Tuto typickou hodnotu neuvádí žádný výrobce ve svých katalogových údajích, je však všeobecně známá.

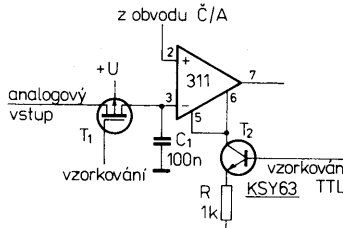
Emitorový výstup (vývod 1) koncového tranzistoru  $T_{13}$  komparátoru (viz vnitřní elektrické zapojení na obr. 72) dovoluje připojit uzemněnou zátěž podle zapojení na obr. 84. Kolektornový výstup 0 se připojí ke kladnému napájecímu napětí. Výstup pracuje do uzemněné zátěže. Na vývodu 1, který pra-



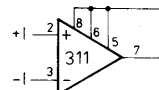
Obr. 80. Zapojení komparátoru řady 311 ve vzorkovacím provozu



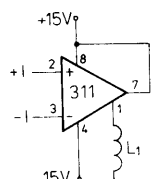
Obr. 81. Zapojení komparátoru řady 311 jako budiče relé se vzorkováním



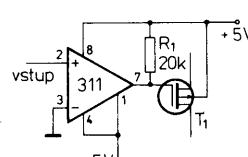
Obr. 82. Způsob vzorkování komparátoru řady 311 oběma vstupy a výstupem



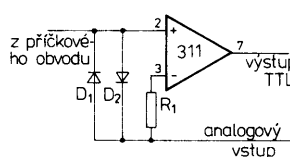
Obr. 83. Zapojení pro zvýšení proudu vstupního stupně komparátoru řady 311



Obr. 84. Připojení uzemněné zátěže komparátoru řady 311



Obr. 85. Komparátor řady 311 jako detektor s průchodem v nule



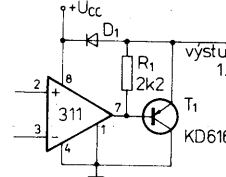
Obr. 86. Paralelní připojení antiparalelních diod na vstupu komparátoru řady 311 zlepšuje jeho odezvu

uje jako výstup, je vzhledem ke vstupnímu signálu polarita signálu obrácená.

Komparátor, zapojený jako detektor s nulovým průchodem, který budí na výstupu připojený spínač s polem řízeným tranzistorem, je na obr. 85. Vstupní signál se přivádí na neinvertující vstup, invertující vstup je uzemněn.

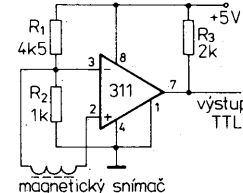
Paralelním připojením dvou proti sobě položených záchranných diod mezi vstupy komparátoru podle obr. 86 je možné zlepšit odezvu komparačního zesilovače. Na neinvertující vstup se přivádí signál z příčkového obvodu, invertující vstup se sériovým rezistorom  $R_1$  slouží jako analogový vstup.

Zapojení komparátoru jako budiče solenoidu je na obr. 87. K výstupu integrovaného obvodu je připojen výkonový tranzistor p-n-p typu KD616 nebo 2N3740 (nebo podobný), který se napájí ze společného zdroje unipolárního kladného napětí. Výstup tranzistoru se může zatěžovat proudem do 1 A.



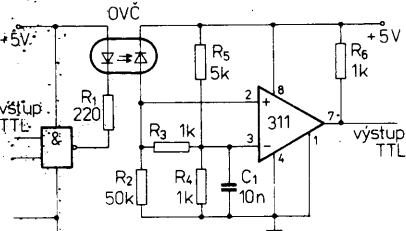
Obr. 87. Budič solenoidu s komparátorem řady 311

Zapojení komparátoru jako detektoru ve spojení s magnetickým snímačem je navrženo na obr. 88. Magnetický snímač se připojuje mezi oba vstupní vývody. Předpří invertujícího vstupu je nastaveno rezistorovým děličem  $R_1, R_2$ . Výstup komparátoru pracuje se zatěžovacím rezistorem  $2\text{ k}\Omega$ . Z výstupu se může odebrát signál s úrovní TTL. Celé zapojení detektoru se napájí jedním kladným napětím 5 V.

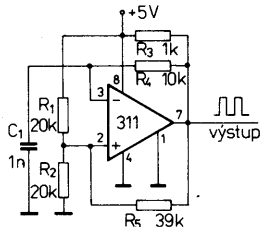


Obr. 88. Detektor s magnetickým snímačem na vstupu komparátoru řady 311; výstupní signál je číslicový TTL

Komparátor zapojený podle obr. 89 slouží jako izolátor, který galvanicky odděluje přenosovou cestu optoelektronickým vazebním členem OVČ. Výstupní logický člen NAND TTL budí světelnou diodu optoelektronického vazebního členu v rytmu přiváděného číslicového signálu. Světelné signály z diody přijímá fotodioda vazebního členu, která je připojena na vstup komparátoru. Po vyhodnocení přivedeného signálu je na výstupu komparátoru možné odebrat nezkrasený signál TTL se stejným průběhem jako má signál na výstupu logického členu NAND. Zapojení se napájí pouze jedním kladným napětím 5 V.



Obr. 89. Optoelektronický vazební člen galvanicky odděluje vstup komparátoru řady 311 v cestě číslicového signálu



Obr. 90. Komparátor řady 311 zapojený jako multivibrátor s obdélníkovým výstupním napětím

Jako multivibrátor může pracovat komparátor zapojený podle obr. 90. Zapojení kmitá v důsledku zavedení kombinované kladné a záporné zpětné vazby tak, že na výstupu je signál s pravoúhlým průběhem a s výstupními úrovněmi TTL. Zapojení se rovněž napájí jedním kladným napětím 5 V. Hodnoty součástek nejsou kritické. Změnou odporu rezistorů  $R_4$ ,  $R_5$  a kapacity kondenzátoru  $C_1$  se může měnit v určitých mezích kmitočet multivibrátoru.

Všechna doporučená zapojení komparátorů řady 311 se mohou využít rovněž ve spojení s komparátory čsl. výroby TESLA MAC111 a MAB311. Doporučená zapojení jsou pouze vybraná zapojení z nejpoužíváníjších, zdaleka to není jejich úplný výčet.

## Napěťové komparátory řady 527

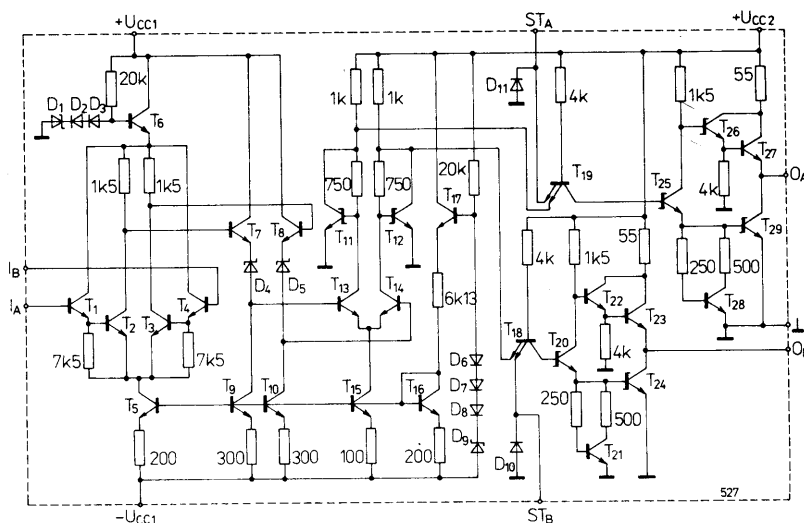
Velmi rychlé analogové napěťové komparátory řady 527, které se vyrábějí běžnou technologií integrovaných obvodů se Schottkyho diodami, vyrábí bulharský podnik Mikroelektronika pod označením 1CA527, 1CA527C a sovětské podniky na výrobu polovodičových součástek pod označením KR521SA4. Na společném čipu sdružují přesný lineární zesilovač, k jehož dvěma výstupům jsou připojeny logické členy NAND TTL.

Vnitřní elektrické zapojení komparátorů řady 527 je na obr. 91, funkční skupinové zapojení na obr. 94. Na obou vstupech A a B komparátoru jsou tranzistory n-p-n v Darlingtonové zapojení. Předností této úpravy je velmi malý vstupní klidový proud. Diferenční zesilovač na vstupu pracuje s emitorovým sledovačem, má proto lepší vstupní vlastnosti při menších rychlostech. Komparátor je vybaven přímým a doplňkovým výstupem, které tvoří dva logické členy NAND. Výstupy jsou slučitelné s logikou TTL a ECL. Vstup může zpracovávat souhlasné a diferenční vstupní napětí v širokém rozsahu do  $\pm 6$  V a do  $\pm 5$  V. Typické zlepšení komparátoru je okolo 5000 (oba výrobci jej však neuvedají). Doba zpoždění průchodu signálu komparátorem je max. 26 ns.

Typické použití popisovaných komparátorů je v číslicově analogových převodnicích, rozhraní logiky ECL na TTL, TTL na ECL, jako snímací zesilovač z paměti RAM MOS nebo jako optoelektronický vazební zesilovač.

## Komparátory 1CA527, 1CA527C

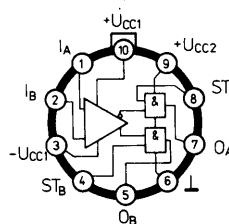
Oba komparátory bulharské výroby jsou v kovovém pouzdro TO-100 s deseti dráty vývody ve skleněné průchode, jejich zapojení vývodů je na obr. 92. Rozdíl mezi nimi je ve zpřísněných statických vlastnostech základního typu 1CA527 a možnosti jejich použití v rozsahu pracovních teplot okolo od  $-55$  do  $+125$  °C. Komparátor 1CA527 má volnější meze charakteristických vlastností a je určen k provozu v rozsahu pracovních teplot od 0 do  $+70$  °C. Doba zpoždění průchodu signálu je u obou typů komparátorů stejná (tab. 22).



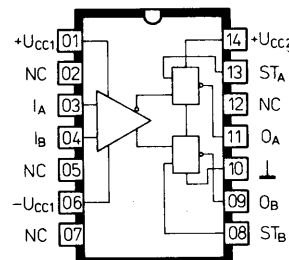
Obr. 91. Informativní vnitřní zapojení elektrické komparátorů 1CA527, 1CA527C, KP521SA4

## Komparátory KR521SA4

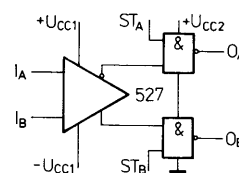
Jejich výrobcem je polovodičový průmysl Sovětského svazu. Základní elektrické údaje tohoto komparátoru odpovídají bulharskému typu 1CA527C, rozsah dovolených pracovních teplot je však od  $-45$  do  $+85$  °C. Jsou v plastovém pouzdru DIL-14, zapojení vývodů je na obr. 73. Elektrické údaje jsou v tab. 23. Tak jako u předchozích typů komparátorů v tento typ se vyrábí rovněž v kovovém pouzdru TO-100 pod označením K521SA4. Jeho zapojení vývodů odpovídá zapojení na obr. 92. Elektrické údaje jsou stejné s typem KR521SA4, pouze vstupní napěťová nesymetrie je menší než 4 mV. Tento typ již není ve výrobě, v zařízeních se však stále vyskytuje.



Obr. 92. Zapojení vývodů komparátorů 1CA527, 1CA527C v kovovém pouzdře TO-100



Obr. 93. Zapojení vývodů komparátoru KR521SA4 v plastovém pouzdru DIL-14



Obr. 94. Funkční skupinové zapojení komparátorů řady 527

Jednou z hlavních vlastností popisovaných komparátorů řady 527 je schopnost jejich funkce i při provozu s nevyváženými napájecími napětími  $+U_{CC1}$  a  $-U_{CC1}$ . Ke spolehlivé funkci se však musí dodržet podmínka, že záporné napájecí napětí  $-U_{CC1}$  bude vždy nejméně o 6 V větší než potenciál země (vývod označený  $\perp$ ). Rozsah vstupního napětí souhlasného je omezen. Musí být vždy o 2 V menší než je použité napájecí napětí  $+U_{CC1}$  a  $-U_{CC1}$  s tím, že maximum  $\pm 6$  V platí při plném využití dovoleného napájecího napětí  $\pm 15$  V.

Další charakteristikou vlastností komparátorů je stav výstupů. Výstup A je vždy ve fázi se vstupem A, výstup B ve fázi se vstupem B. Funkční vlastnosti komparátorů řady 527 blíže definuje funkční tab. 24.

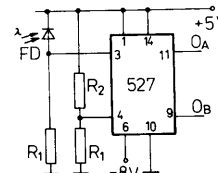
Komparátory bulharské a sovětské výroby jsou přímou obdobou součástek firmy Philips-Valvo-Signetics řady NE527:

1CA527 obdoba	SE527H
1CA527C	NE527H
KR521SA4	SE527F*
K521SA4	SE527H*)

\*) Sovětské komparátory KR521SA4 a K521SA4 mají zúžený rozsah pracovních teplot okolo od  $-45$  do  $+85$  °C.

## Doporučená zapojení

Fotoelektrický detektor s fotodiodou na vstupu komparátoru řady 527 využívá vlastnosti fotodiody při jejím osvětlení nebo zatemnění, kdy se fotoelektrický proud zvětšuje nebo změní. Průtok fotoelektrického proudu rezistorom  $R_1$  vytvárá na něm úbytek napětí, který se mění podle změny osvětlení fotodiody. Ubytek napětí se přivádí na vstup A komparátoru. Odpor rezistoru  $R_1$  se volí tak, aby se dosáhlo žádaného rozsahu detekce rozdílu mezi podmínkami při osvětlení nebo za tmy. Úroveň signálu na vstupu komparátoru je dána pouze velikostí odporu



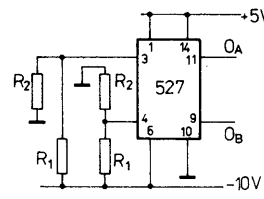
Obr. 95. Zapojení fotoelektrického detektora s komparátorem řady 527

Tab. 22. Elektrické údaje 1CA527, 1CA527C

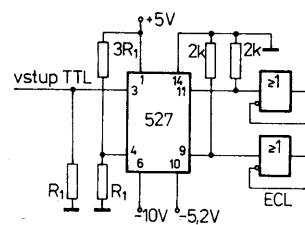
Mezní údaje		
Napájecí napětí kladné:	$+U_{CC1} \leq +15 \text{ V}$ .	
Napájecí napětí záporné:	$-U_{CC1} \geq -15 \text{ V}$ .	
Napájecí napětí kladné pro napájení logických členů:	$+U_{CC2} \leq +7 \text{ V}$ .	
Vstupní napětí:	$U_I = -6 \text{ až } +6 \text{ V}$ .	
Vstupní napětí diferenční:	$U_D = -5 \text{ až } +5 \text{ V}$ .	
Výstupní proud vrcholový:	$I_{OS} = 18 \text{ až } 70 \text{ mA}$ .	
Rozsah pracovní teploty okolí		
1CA527:	$\theta_a = -55 \text{ až } +125^\circ\text{C}$ ,	
1CA527C:	$\theta_a = 0 \text{ až } +70^\circ\text{C}$ ,	
Rozsah skladovací teploty:	$\theta_{sig} = -55 \text{ až } +155^\circ\text{C}$ .	
Charakteristické údaje		
Platí při $\theta_a = 25^\circ\text{C} \pm 5 \text{ K}$ , $U_{CC1} = \pm 10 \text{ V} \pm 5 \%$ , $U_{CC2} = \pm 5 \text{ V} \pm 5 \%$ , $U_{ST\ A} = U_{ST\ B} = 2,7 \text{ V} \pm 5 \%$		
Vstupní napěťová nesymetrie	1CA527	1CA527C
$R_S = 50 \Omega$ :	$U_O \leq 4,0$	$\leq 6,0 \text{ mV}$ .
Vstupní proudová nesymetrie:	$I_O \leq 0,5$	$\leq 0,75 \mu\text{A}$ .
Vstupní klidový proud:	$I_B \leq 2,0$	$\leq 2,0 \mu\text{A}$ .
Výstupní napětí – úroveň H:	$U_{OH} \geq 2,5$	$\geq 2,7 \text{ V}$ .
$I_{OH} = -1 \text{ mA}$ :		
Výstupní napětí – úroveň L:	$U_{OL} \leq 0,5$	$\leq 0,5 \text{ V}$ .
$I_{OL} = 10 \text{ mA}$ :		
Napájecí proud z kladného zdroje		
$U_I = 0 \text{ V}$ :	$+I_{CC1} \leq 5,0$	$\leq 5,0 \text{ mA}$ .
Napájecí proud ze záporného zdroje		
$U_I = 0 \text{ V}$ :	$-I_{CC1} \leq 10$	$\leq 10 \text{ mA}$ .
Napájecí proud ze zdroje pro napájení logických členů		
$U_I = 0 \text{ V}$ :	$+I_{CC} \leq 20$	$\leq 20 \text{ mA}$ .
Doba zpoždění průchodu signálu		
$U_{IP} = \pm 100 \text{ mV}$ , $f_p = 1 \text{ MHz}$		
z úrovni L do úrovni H:	$t_{PLH} \leq 26$	$\leq 26 \text{ ns}$ ,
z úrovni H do úrovni L:	$t_{PHL} \leq 24$	$\leq 24 \text{ ns}$ .

Tab. 23. Elektrické údaje komparátoru KR521SA4, K521SA4

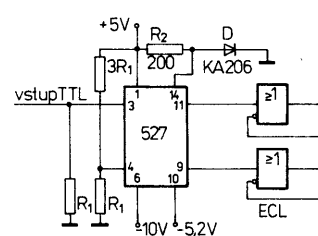
Mezní údaje	
Napájecí napětí kladné:	$+U_{CC1} \leq +15 \text{ V}$ .
Napájecí napětí záporné:	$-U_{CC1} \geq -15 \text{ V}$ .
Napájecí napětí kladné pro napájení logických členů:	$+U_{CC2} \leq +7 \text{ V}$ .
Vstupní napětí:	$U_I = -6 \text{ až } +6 \text{ V}$ .
Vstupní napětí diferenční:	$U_D = -5 \text{ až } +5 \text{ V}$ .
Rozsah pracovní teploty okolí:	$\theta_a = -45 \text{ až } +85^\circ\text{C}$ .
Charakteristické údaje	
Platí při $U_{CC1} = 9 \text{ V}$ , $-U_{CC1} = -9 \text{ V}$ , $+U_{CC2} = 5 \text{ V}$ (s přesností $\pm 10 \%$ )	
Vstupní napěťová nesymetrie:	$U_O \leq \pm 6,0 \text{ mV}$ .
Vstupní proudová nesymetrie:	$I_O \leq 0,75 \mu\text{A}$ .
Vstupní klidový proud:	$I_B \leq 2,0 \mu\text{A}$ .
Výstupní napětí – úroveň H:	$U_{OH} = 2,5 \text{ až } 4,5 \text{ V}$ .
Výstupní napětí – úroveň L:	$U_{OL} = 0 \text{ až } 0,5 \text{ V}$ .
Vstupní proud – úroveň L:	$-I_{L\ ST} \geq 2 \text{ mA}$ .
Vstupní proud – úroveň H:	$I_{H\ ST} \leq 100 \mu\text{A}$ ,
Napájecí proud z kladného zdroje:	$+I_{CC1} \leq 4,0 \text{ mA}$ .
Napájecí proud ze záporného zdroje:	$-I_{CC1} \leq 8,5 \text{ mA}$ .
Napájecí proud ze zdroje pro napájení logických členů:	$+I_{CC2} \leq 18 \text{ mA}$ .
Doba zpoždění průchodu signálu:	$t_{PLH} \leq 26 \text{ ns}$ .



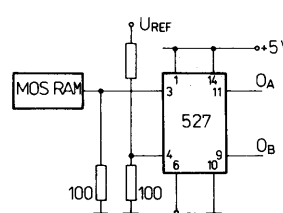
Obr. 96. Rozhraní logiky ECL k logice TTL pomocí komparátoru řady 527



Obr. 97. Rozhraní logiky TTL k logice ECL pomocí komparátoru řady 527



Obr. 98. Úprava rozhraní logiky TTL k logice ECL pomocí komparátoru řady 527



Obr. 99. Snímací zesilovač paměti MOS ROM s komparátorem řady 527

$R_1$  a charakteristikou použité fotodiody. Střední úroveň signálů mezi osvětlením diody a při jejím zatemnění je dána poměrem odporů rezistorového děliče  $R_1$ ,  $R_2$ , jehož střed je spojen se vstupem B komparátoru (určuje referenční napětí). Stav logických výstupů komparátoru přímo závisí na provozním stavu fotodiody, zda je zatemněna či je na ni přivedeno světlo (obr. 95).

Jak již bylo uvedeno, komparátory řady 527 nevyžadují v provozu přesně vyvážená napájecí napětí  $+U_{CC1}$  a  $-U_{CC1}$  zasilovače. Je-li např. na „zemnicím vývodu“ napětí  $-5,2 \text{ V}$  a druhý zdroj se může nastavit na vhodné napětí, bude výstupní napětí v logické úrovni 1 asi  $-1,5 \text{ V}$ , v logické úrovni 0 pak  $-5 \text{ V}$ . Touto volností volby napájecího napětí se může nastavit potřebný rozdíl výstupního napětí ve spojení s velikostí logické úrovni navazující spolupracující logiky s komparátorem, která může být jiná než TTL nebo Schottky TTL.

Emitorová logika je velmi populární pro svou velkou rychlosť zpracování dat. Systémy jsou však často konstruovány se standardními logickými obvody TTL, požadavky na větší rychlosť některých funkčních skupin

se plní navazujícími obvody emitorové logiky. Obě řady logických obvodů nejsou slučitelné. Problém obou spolupracujících logik řeší rozhraní logických úrovní ECL na úrovni TTL v zapojení podle obr. 96. Standardní výstupní rozkmit logiky ECL je od  $-0,8 \text{ V}$  do  $1,8 \text{ V}$  při pokojové teplotě okolí. K přeměně této logických úrovní na úrovň logiky TTL se může použít napěťový komparátor řady 527. Napájecí napětí převodníku se posune v záporném směru tak, aby se dosáhlo potřebné úrovni. Protože logika ECL je extrémně rychlá, musí se komparátor obvykle vybírat na co největší rychlosť tak, aby se převodem úrovní co nejméně ztratilo na rychlosti.

Rovněž logické úrovně logiky TTL se mohou převést na úrovni ECL komparátorem řady 527. I v tomto případě se musí komparátor vybrat na co největší rychlosť, čímž se dosáhne též pružnosti napájecího napětí k dosažení posunu úrovní při miminálních nákladech a velkém výkonu.

Zapojení jednoduchého převodníku úrovní TTL na úrovni ECL je na obr. 97. Vlastní převod provádí komparátor řady 527, k jehož výstupům je připojen další logický člen NOR. Zapojení pracuje velmi spolehlivě. Kontrola výstupního napětí pro komparátor ovšem v některém případě odhalí, že napětí je poněkud menší, než vyžaduje logika ECL pro rychlé spinání. V těchto případech se doporučuje upravit zapojení podle obr. 98 tak, že se k vývodu 09 zapojí rychlá dioda proti zemi a mezi vývody 10 a 09 rezistor  $R_2$ . Tím se zvětší napájecí napětí hradel a současně též výstupní napětí komparátoru o součinitel 0,7 a tak zajistí rychlé spinání převodníku. Rezistorové dělení výstupního napětí komparátoru vůči  $U_{CC}$  se může rovněž použít při uzemnění napájení hradla. Metoda je závislá na časové konstantě  $RC$  rozdělovací kapacity. Je proto pomalejší.

Na obr. 98 je jednoduché zapojení komparátoru řady 521 jako snímací zesilovače

Tab. 24. Funkční tabulka komparátorů řady 527

Vstupy		Výstupy		Funkce	
$I_{A+}$	$I_{B-}$	$ST_A$	$ST_B$	$O_A$	$O_B$
$I_{ID} \leq -U_{OS}$	H	X	L	H	čtení $I_{HA}$ , $I_{LB}$
$-U_{OS} < I_{B} < U_{OS}$	H	H	není def.	–	–
$I_{ID} \geq U_{OS}$	X	H	H	L	čtení $I_{LA}$ , $I_{HB}$
X	X	L	L	H	–

X – libovolná úroveň

paměti MOS RAM. Signály derivované z několika zdrojů se vyznačují poměrně malou amplitudou, která není slučitelná s používánou následující úrovní logiky. Musí se proto zesílit na potřebnou úroveň a zesílený signál převést převodníkem na úroveň logiky TTL. Tento úkol plní popsaný snímací zesilovač. Převodník navíc dodává dostatečně velký výstupní proud dalším připojeným obvodům.

## Operační zesilovače

Mezi analogovými integrovanými obvody zaujímají význačná a nezastupitelné místo operační zesilovače. Jejich použití je skutečně všeobecné. Pod pojmem operační zesilovač rozumíme součástku se dvěma vstupy, z nichž jeden vstup invertuje (neguje) přiváděný vstupní signál. Druhý vstup přiváděný vstupní signál zpracovává v jeho původním tvaru. Invertující vstup je mezinárodně označován znaménkem minus (-), neinvertující vstup znaménkem plus (+). Obvody tohoto typu mohou sčítat napětí. Proto se operační zesilovače původně používaly v analogových počítačích k základním výpočetním úkonům.

Své počáteční základní použití integrované operační zesilovače již dříve opustily. Dnes se používají v nejrůznějších elektronických oborech, kde se staly základní všeobecnou a velmi obtížně zastupitelnou součástkou. V praxi se setkáváme s několika základními provedeními operačních zesilovačů (řady 709, 611, 741, 747, 748) a dalšími typy bipolárních operačních zesilovačů pro speciální použití nebo jednoúčelová zapojení.

## Operační zesilovače řady 709

Mezi nejrozšířenější operační zesilovače, používané v přístrojích průmyslové i spotřební elektroniky, patří monolitické bipolární zesilovače řady 709. Jsou určeny pro všeobecná použití. Protože mají velké zesílení, jsou obvykle vhodné pro regulační techniku, pro přístroje pro zpracování dat, měřicí přístroje a obvody lineárních a nelineárních funkcí.

Přednosti operačních zesilovačů řady 709 je malá vstupní napěťová a proudová nesymetrie, velký vstupní odpor, velký rozsah vstupního součtového i diferenčního napětí, velké zesílení při malém příkonu a dobré

Tab. 25. Přehled operačních zesilovačů řady 709 podle jednotlivých výrobců v zemích RVHP

Typ	Výrobce	Rozsah provozních teplot	Pouzdro	Zapojení vývodů obr.
A109D	VEB HFO, NDR	A	DIL-14	100
B109D	VEB HFO, NDR	B	DIL-14	100
IL709M	RIZ, SFRJ	D	TO-99	102
IL709S	RIZ, SFRJ	A	DIL-14	100
ROB709	CCSIT-S, RSR	A	DIL-14	100
$\mu$ A709	Ei, SFRJ	A	DIL-14	100
$\mu$ A709PC	MEV, MLR	A	DIL-14	100
$\mu$ A709PCE	MEV, MLR	B	DIL-14	100
K153UD3	SSSR	C	TO-99	102
K553UD1A	SSSR	C	DIL-14	100
K553UD1B	SSSR	C	DIL-14	100
1Y0709	Mikroelektronika, BLR	D	TO-99	102
1Y0709C	Mikroelektronika, BLR	A	TO-99	102
1Y0709CE	Mikroelektronika, BLR	A	DIL-14	100
1Y0709CM	Mikroelektronika, BLR	A	DIL-8	101
1Y0709E	Mikroelektronika, BLR	D	DIL-14	100
1Y0709M	Mikroelektronika, BLR	D	DIL-8	101

Rozsah provozních teplot okolo:  
A: 0 až +70 °C, B: -25 až +85 °C, C: -45 až +85 °C, D: -55 až +125 °C

vybuzení zatíženého výstupu. Z hlediska teplotní stability většina výrobců zaručuje u kvalitních součástek teplotní soudržnost vstupní napěťové a proudové nesymetrii. Dobrá teplotní stabilita je dána promyslenou konstrukcí systému tohoto operačního zesilovače, který je vyroben na malé ploše křemíkového čipu.

Operační zesilovače řady 709 vyrábějí téměř všechni výrobci polovodičových součástek v zemích RVHP a Jugoslávie. Přehled vyráběných typů zesilovače řady 709 je v tab. 25. Z tabulky je možno zjistit jak výrobce, tak typ pouzdra a zapojení vývodu jednotlivých typů zesilovačů. Pozor! Zapojení jsou kreslena při pohledu na součástku shora (obr. 100 až 102).

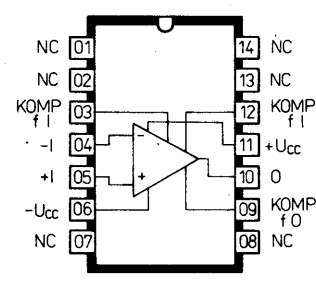
Vnitřní elektrické zapojení operačních zesilovačů řady 709 je na obr. 103. Vývody jsou označeny funkční zkratkou, číslo vývodu je třeba zjistit ze zapojení vývodů!

Operační zesilovače popisované řady jsou vlastně prvními, nejrozšířenějšími a dosud nejvíce používanými operačními zesilovači, i když jejich vlastnosti byly v poslední době překonány jinými, dokonalejšími typy. Málo se však o tom, že návrh systému pochází z návrhářské dílny systémů integrovaných obvodů R. Widlara z podniku National Semiconductor. Teprve později je začal vyrábět v mnohamiliónových sériích multinárodní vý-

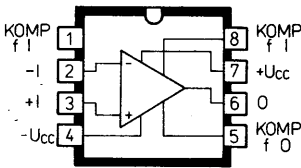
robce polovodičových součástek Fairchild pod označením  $\mu$ A709, dal jím jméno série a zajistil jejich oblibu.

Systém operačního zesilovače 709 sdružuje na společném čipu 15 tranzistorů a 15 rezistorů. K provozu vyžaduje tento zesilovač symetrické napájecí napětí z kladného a záporného zdroje  $\pm 15$  V, které se má dodržovat s přesností  $\pm 10\%$ . Vstupní stupeň tvorí diferenční zesilovač s tranzistory  $T_1$ ,  $T_2$ , které určují vstupní vlastnosti (napěťovou a proudovou nesymetrii) a teplotní závislost celého integrovaného obvodu. Ke vstupnímu stupni patří též zdroj konstantního proudu s tranzistory  $T_{10}$  a  $T_{11}$ .

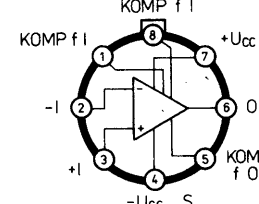
Vstupní tranzistory mají malý proud kolektoru, proto má vstup zesilovače velkou impedanci (min. 50 k $\Omega$ ). Za prvním diferenčním stupněm následuje druhý diferenční stupeň s tranzistory  $T_3$ ,  $T_5$  a  $T_4$ ,  $T_6$  v Darlingtonové zapojení. Tranzistor  $T_8$  pracuje jako emitorový sledovač a má největší podíl na celkovém velkém zesílení součástky. Tranzistor  $T_{15}$ , zapojený jako dioda, spolu s rezistory  $R_3$  a  $R_4$  slouží k teplotní kompenzaci. Výstupní stupeň začíná rezistorem  $R_7$  a skládá se z laterálního tranzistoru  $T_9$ , budiče  $T_{12}$  a dvojčinného koncového stupně třídy B s tranzistory  $T_{13}$  a  $T_{14}$ . Předzesilovací a koncový stupeň je osazen komplementárními tranzistory, které zajišťují na straně výstupu dobrou využitelnost.



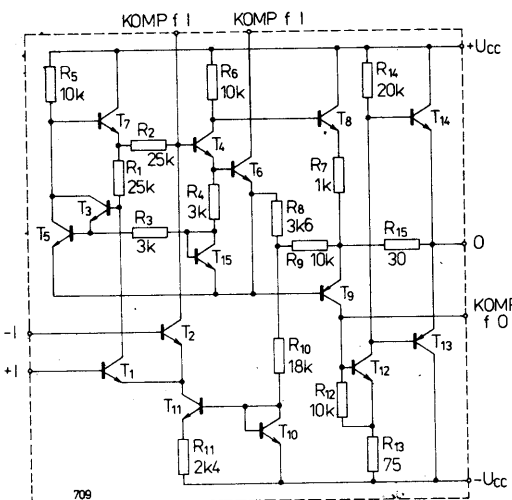
Obr. 100. Zapojení vývodů operačních zesilovačů A109D, B109D, IL709S, ROB709,  $\mu$ A709,  $\mu$ A709PC,  $\mu$ A709PCE, 1Y0709C, 1Y0709CE, K553UD1A, K553UD1B



Obr. 101. Zapojení vývodů operačních zesilovačů 1Y0709M, 1Y0709CM



Obr. 102. Zapojení vývodů operačních zesilovačů IL709M, 1Y0709, 1Y0709C, 153UD3, K1UT531A, K1UT531B



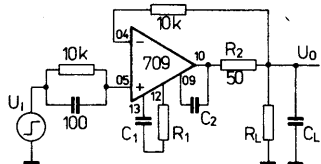
Obr. 103. Vnitřní elektrické zapojení operačních zesilovačů řady 709

Tab. 26. Potřebné součástky ke kmitočtové kompenzaci operačních zesilovačů řady 709

$A_v$ [dB]	$C_{K1}$ [pF]	$R_{K1}$ [kΩ]	$C_{K2}$ [pF]
60	10	0	3
50	27	1,5	3
40	100	1,5	3
30	270	1,5	10
20	470	1,5	20
10	2700	1,5	100
0	4700	1,5	200

Funkce vývodů operačních zesilovačů řady 709: KOMP f I – vývod pro připojení vnějších součástek kmitočtové kompenzace vstupu, KOMP f O – vývod pro připojení vnějšího kondenzátoru kmitočtové kompenzace výstupu, +I – neinvertující vstup, -I – invertující vstup, O – výstup, +U<sub>CC</sub> – připoj zdroje kladného napájecího napětí, -U<sub>CC</sub> – připoj zdroje záporného napájecího napětí, S – vývod kovového pouzdra součástky (u zesilovačů v kovovém pouzdru TO-99 je kovový kryt spojen uvnitř součástky s vývodem záporného napájecího napětí).

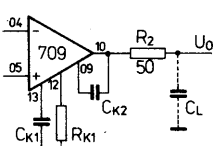
Protože se elektrické vlastnosti vyráběných operačních zesilovačů řady 709 v zemích RVHP dosti značně odlišují, i když jejich funkce je stejná a jsou zaměnitelné s přihlédnutím na základní vlastnosti porovnávaných typů a jejich použití, jsou jejich elektrické údaje shrnutы в табличках подле jednotlivých výrobců. U kvalitnějších součástek zaručují některí výrobci přechodové vlastnosti (dynamické vlastnosti). Zkušební zapojení pro jejich měření a definování je na obr. 104.



Obr. 104. Zapojení pro měření a definování přechodových vlastností operačních zesilovačů řady 709

Všechny operační zesilovače řady 709 nemají vnitřní kmitočtovou kompenzaci. Protože je velmi důležitá správná volba vnějších kompenzačních součástek. V blízkosti horního mezního kmitočtu (okolo 1 MHz) vzniká v důsledku vnitřního obrácení fáze nebezpečí rozkmitání, protože zesilovač má zavedenou silnou zpětnou vazbu. K zamezení nezádoucího rozkmitání se musí zesílení smyčky zmenšit na velikost menší než 1 při kmitočtu, při němž je vnitřní posuv fáze 180°. Spolehlivější provoz vyžaduje zmenšit zesílení smyčky pod 1 již při posuvu fáze 135°.

Zesilovače se kompenzují vnějšími součástkami podle základního zapojení na obr. 105. Potřebné součástky kompenzačního člena pro optimální kmitočtovou kompenzaci



Obr. 105. Způsob kmitočtové kompenzace operačních zesilovačů řady 709

se mohou volit podle tab. 26. Resistor R<sub>2</sub> s odporem 50 Ω se musí použít vždy, použijte-li se kapacitní zátěž zesilovače.

#### Operační zesilovače A109D, B109D

Integrované operační zesilovače s velkým zesílením A109D a B109D jsou výrobce podniku VEB Halbleiterwerk, Frankfurt/O., NDR. Jsou v plastovém pouzdru DIL-14 s 2x sedmi vývody ve dvou řadách. Zapojení vývodů součástek je na obr. 100. Elektrické údaje obou zesilovačů jsou v tab. 27. Navázem se odlišují rozsahem dovolených pracovních teplot. Základní typ A109D je určen pro teploty od 0 do +70 °C, výběrový typ B109D pro práci v rozšířeném rozsahu od -25 do +85 °C. Navíc má zúžené hranice kritických veličin.

V minulých letech dodával tento výrobce operační zesilovače označené A109C, B109C, které byly v keramických pouzdrách DIL-14. Jejich elektrické vlastnosti se shodovaly s provedením v plastových pouzdrách DIL-14.

Na trhu elektronických součástek a v literatuře z NDR se vyskytují operační zesilovače označené typovým označením R109D nebo nověji A109D S1. Jsou to součástky, jejichž elektrické vlastnosti jsou v některých kritických parametrech horší než u typu A109D, avšak pro mnohé použití postačují. Jsou určeny pro amatérské použití. Prodávají se jako jednotlivé kusy, ve stavebnicích nebo sáčcích s dalšími elektronickými součástkami pro radioamatéry. Jsou podstatně levnější než standardní výrobky.

#### Operační zesilovače IL709M, IL709S

Jugoslávský výrobce RIZ vyrábí velmi kvalitní operační zesilovače řady 709, označené typovým znakem IL709M a IL709S. Pro přístroje průmyslové elektroniky jsou určeny zesilovače IL709M v kovovém pouzdru TO-99, které mohou pracovat v širokém rozsahu teplot -55 do +125 °C a mají zúžené kritické vlastnosti. Zapojení vývodů je na obr. 102.

Pro běžné komerční přístroje, pracující v rozsahu teplot od 0 °C do +75 °C jsou určeny zesilovače IL709S v plastovém pouzdru DIL-14. Zapojení vývodů je na obr. 100. Obě provedení zesilovačů mají výrobcem podrobne definované elektrické vlastnosti, které jsou v tab. 28.

#### Operační zesilovače ROB709

Výrobcem zesilovačů ROB709 je rumunský výrobce CCSIT-S. Jsou v plastovém pouzdru DIL-14, mají zapojení vývodů podle obr. 100. Výrobce u nich zaručuje pouze nezákladnější vlastnosti, které obsahují tab. 29. Jejich použití je omezeno na rozsah teplot okolo 0 až +70 °C.

#### Operační zesilovače μA709

Jugoslávský výrobce polovodičových součástek Elektronika Industria (Ei) v Niši vyrábí rovněž operační zesilovač popisované řady, označeným znakem μA709. Jsou v plastovém pouzdru DIL-14, zapojení vývodů podle obr. 100. Může se použít v rozsahu pracovních teplot od 0 do +70 °C, elektrické údaje jsou v tab. 30.

#### Operační zesilovače μA709PC, μA709PCE

Výrobcem obou uvedených zesilovačů μA709PC a μA709PCE je maďarský výrobce MEV (Tungsram). Jsou v plastovém pouzdru DIL-14. Rozdíl mezi nimi je pouze v dovoleném rozsahu pracovních teplot okolo - typ μA709PC je určen pro rozsah od 0 do +70 °C, μA709PCE pro rozšířený rozsah od -25 do +85 °C. Zapojení vývodů zesilovačů podle obr. 100, elektrické údaje jsou obsaženy v tab. 31.

#### Operační zesilovače 1YO709, 1YO709C, 1YO709CE, 1YO709M, 1YO709CM

Bulharský výrobce kombinát Mikroelektronika zařádil do svého výrobního programu rovněž operační zesilovače řady 709 a to zřejmě v důsledku velkých potřeb této součástek výrobci výpočetní techniky. Vyrábí je ve dvou elektrických provedeních, obě provedení ve třech pouzdrech. Základní typy 1YO709, 1YO709E, 1YO709M jsou určeny pro průmyslové přístroje, pracují v širokém rozsahu teplot od -55 do +125 °C. Mají zúžené hranice kritických veličin. Vytríděné typy 1YO709C, 1YO709CM, 1YO709CM mají širší hranice a jsou určeny pro běžné komerční přístroje, pracující v rozsahu teplot od 0 do +70 °C.

Obě řady operačních zesilovačů dodává výrobce v třech různých pouzdrech. Zesilovače 1YO709, 1YO709C jsou v kovovém pouzdru TO-99 s osmi drátovými vývody, zapojení vývodů podle obr. 102. Zesilovače 1YO709C, 1YO709CE jsou v plastovém pouzdru DIL-14 se zapojením vývodů podle obr. 100, 1YO709M, 1YO709CM ve zkráceném plastovém pouzdru DIL-8 s 2x čtyřmi vývody a zapojením vývodů podle obr. 101. Elektrické údaje všech popsaných typů jsou v tab. 32.

#### Operační zesilovače K553UD1A, K553UD1V, K153UD3, K1UT531A, K1UT531B

Rovněž výrobci polovodičových součástek v Sovětském svazu vyrábějí operační zesilovače řady 709. Vývoj potřeb uživatelů a výrobčů tam prodělal určité etapy vývoje, během nichž se vlastnosti vyráběných součástek jednak zlepšily, jednak ustálily v nejvíce používaných pouzdrech.

V poslední době jsou nejvíce používány operační zesilovače sovětské řady K553, označené typovým znakem K553UD1A, K553UD1V. Jsou v plastovém pouzdru DIL-14, jejich zapojení vývodů je podle obr. 100. Ve srovnání s mezinárodními typy operačních zesilovačů řady 709 mají ohrazeno minimální a maximální napájecí napětí od ±9 V do ±16,5 V. Výběrový typ K553UD1V má zúžené elektrické parametry.

Operační zesilovač K153UD3, jehož výroba je omezena, odpovídá elektrickým vlastnostem typu K553UD1V. Je však v pouzdru TO-99, zapojení vývodů podle obr. 102. Ten-to zesilovač bývá někdy označován též typovým znakem 153UD3. Elektrické údaje všech tří typů jsou v tab. 33.

V minulých letech se vyráběly operační zesilovače s typovým označením K1UT531A, K1UT531V, které byly v kovovém pouzdru TO-99. Jejich elektrické údaje jsou v tab. 34, zapojení vývodů mají podle obr. 102. Tyto součástky se již nevyrábějí, jsou však použity v dovezených starších přístrojích.

Všechny popsané sovětské operační zesilovače jsou určeny pro použití v rozsahu pracovních teplot okolo -45 °C do +85 °C.

#### Doporučení k použití

Číslování vývodů operačních zesilovačů ve všech popisovaných zapojeních se vztahuje k součástkám v pouzdru DIL-14 při pohledu shora!

Všechny operační zesilovače řady 709 vyžadují v provozu blokování přívodu kladného a záporného napájecího napětí kvalitním kondenzátorem s kapacitou 10 nF až 100 nF vůči zemi. Kondenzátor se musí připojit přímo na vývody integrovaného obvodu.

K zamezení případného rozkmitání operačního zesilovače během kladné půlvlny výstupního napětí slouží rezistor 50 Ω zapojený ve výstupním obvodu zesilovače.

Tab. 27. Elektrické údaje operačních zesilovačů A109D, B109D

Mezní údaje	
Platí v celém rozsahu provozních teplot	
Napájecí napětí kladné:	$+U_{CC} \leq +18 \text{ V}$ .
Napájecí napětí záporné:	$-U_{CC} \leq -18 \text{ V}$ .
Vstupní napětí souhlasné:	$U_C = -10 \text{ až } +10 \text{ V}$ .
Vstupní napětí diferenční:	$U_D = -5 \text{ až } +5 \text{ V}$ .
Ztrátový výkon celkový:	$P_{tot} \leq 300 \text{ mW}$ .
Rozsah provozních teplot okolo	$\theta_a = 0 \text{ až } +70^\circ\text{C}$ , A109D: $\theta_a = -25 \text{ až } +85^\circ\text{C}$ . B109D: $\theta_a = -25 \text{ až } +85^\circ\text{C}$ .
Napájecí proud	$\theta_{stg} = -55 \text{ až } +125^\circ\text{C}$ .
Rozsah skladovacích teplot:	$P_{thja} \leq 150 \text{ kW}$ .
Tepeň odpor přechod-okoli:	$t_k \leq 5 \text{ s}$ .
Charakteristické údaje	
Platí při $\theta_a = +25^\circ\text{C} - 5 \text{ K}, \pm U_{CC} = \pm 15 \text{ V}$ , není-li uvedeno jinak.	
Vstupní napěťová nesymetrie	
$R_S = 100 \Omega$ :	A109D: $U_O = \text{jmen. } 1.0; \leq 7.5 \text{ mV}$ , B109D: $U_O = \text{jmen. } 0.5; \leq 5.0 \text{ mV}$ ,
$R_S = 100 \Omega$ :	A109D: $U_O = \text{jmen. } 1.2 \text{ mV}$ , B109D: $U_O = \text{jmen. } 0.65 \text{ mV}$ ,
$R_S = 10 \text{ k}\Omega$ :	A109D: $U_O \leq 10 \text{ mV}$ , B109D: $U_O \leq 10 \text{ mV}$ .
$R_S = 100 \Omega, \theta_a = 0 \text{ až } +70^\circ\text{C}$	A109D: $\Delta U_O = \text{jmen. } 2.2; \leq 25 \mu\text{V/V}$ .
$R_S = 100 \Omega, \theta_a = -25 \text{ až } +85^\circ\text{C}$	B109D: $\Delta U_O = \text{jmen. } 35; \leq 500 \text{ nA}$ , B109D: $\Delta U_O = \text{jmen. } 27; \leq 200 \text{ nA}$ , B109D: $\Delta U_O = \text{jmen. } 750 \text{ nA}$ , B109D: $\Delta U_O = \text{jmen. } 750 \text{ nA}$ .
Teplotní součinitel vstupní napěťové nesymetrie	$\Delta U_O$
$\theta_a = -25^\circ\text{C}, \theta_a = +85^\circ\text{C}$	B109D: $\Delta U_O = \text{jmen. } 2.2; \leq 25 \mu\text{V/V}$ .
Vstupní proudová nesymetrie	A109D: $I_O = \text{jmen. } 35; \leq 500 \text{ nA}$ , B109D: $I_O = \text{jmen. } 27; \leq 200 \text{ nA}$ , B109D: $I_O \leq 750 \text{ nA}$ , B109D: $I_O \leq 750 \text{ nA}$ .
$\theta_a = 0 \text{ až } +70^\circ\text{C}$	A109D: $I_B = \text{jmen. } 350; \leq 1500 \text{ nA}$ , B109D: $I_B = \text{jmen. } 200; \leq 500 \text{ nA}$ .
$\theta_a = -25 \text{ až } +85^\circ\text{C}$	A109D: $I_B \leq 2000 \text{ nA}$ , B109D: $I_B \leq 2000 \text{ nA}$ .
Vstupní klidový proud	A109D: $I_B = \text{jmen. } 350; \leq 1500 \text{ nA}$ , B109D: $I_B = \text{jmen. } 200; \leq 500 \text{ nA}$ .
$\theta_a = 0 \text{ až } +70^\circ\text{C}$	A109D: $I_B \leq 2000 \text{ nA}$ , B109D: $I_B \leq 2000 \text{ nA}$ .
$\theta_a = -25 \text{ až } +85^\circ\text{C}$	A109D: $I_B \leq 2000 \text{ nA}$ , B109D: $I_B \leq 2000 \text{ nA}$ .
Potlačení vlivu změn napájecího napětí na vstupní napěťovou nesymetrii	
$R_S = 100 \Omega, \Delta +U_{CC} = +1 \text{ V}$	A109D, B109D: $SVR = \text{jmen. } 100 \mu\text{V/V}$ ,
$\pm U_{CC} = \pm 9 \text{ V}$	A109D: $SVR = \text{jmen. } 45; \leq 200 \mu\text{V/V}$ ,
$\pm U_{CC} = \pm 15 \text{ V}$	B109D: $SVR = \text{jmen. } 45; \leq 150 \mu\text{V/V}$ ,
$\pm U_{CC} = \pm 15 \text{ V}$	
$R_S = 100 \Omega, \Delta -U_{CC} = -1 \text{ V}$	A109D: $SVR = \text{jmen. } 60 \mu\text{V/V}$ , B109D: $SVR = \text{jmen. } 55 \mu\text{V/V}$ ,
$\pm U_{CC} = \pm 9 \text{ V}$	A109D: $SVR = \text{jmen. } 25; \leq 200 \mu\text{V/V}$ , B109D: $SVR = \text{jmen. } 20; \leq 150 \mu\text{V/V}$ ,
$\pm U_{CC} = \pm 9 \text{ V}$	
$\pm U_{CC} = \pm 15 \text{ V}$	
$\pm U_{CC} = \pm 15 \text{ V}$	
$R_S = 10 \text{ k}\Omega, \Delta -U_{CC} = +1 \text{ V}$	A109D: $SVR = \text{jmen. } 120 \mu\text{V/V}$ , B109D: $SVR = \text{jmen. } 100 \mu\text{V/V}$ ,
$\pm U_{CC} = \pm 9 \text{ V}$	A109D: $SVR = \text{jmen. } 50 \mu\text{V/V}$ , B109D: $SVR = \text{jmen. } 45 \mu\text{V/V}$ ,
$\pm U_{CC} = \pm 9 \text{ V}$	
$\pm U_{CC} = \pm 15 \text{ V}$	
$\pm U_{CC} = \pm 15 \text{ V}$	
$R_S = 10 \text{ k}\Omega, \Delta -U_{CC} = -1 \text{ V}$	A109D: $SVR = \text{jmen. } 65 \mu\text{V/V}$ , B109D: $SVR = \text{jmen. } 60 \mu\text{V/V}$ ,
$\pm U_{CC} = \pm 9 \text{ V}$	A109D, B109D: $SVR = \text{jmen. } 20 \mu\text{V/V}$ .
$\pm U_{CC} = \pm 9 \text{ V}$	
$\pm U_{CC} = \pm 15 \text{ V}$	
$\pm U_{CC} = \pm 15 \text{ V}$	
Výstupní napětí vrcholové	
$R_L = 2 \text{k}\Omega, \pm U_{CC} = \pm 9 \text{ V}$	A109D: $\pm U_{OL} = \text{jmen. } +7.3; -7.7 \text{ V}$ , B109D: $\pm U_{OL} = \text{jmen. } +7.8; -7.8 \text{ V}$ ,
$R_L = 2 \text{k}\Omega, \pm U_{CC} = \pm 15 \text{ V}$	A109D: $\pm U_{OL} = \text{jmen. } 13.1; \geq 10 \text{ V}$ , A109D: $\pm U_{OL} = \text{jmen. } 13.4; \geq 10 \text{ V}$ , B109D: $\pm U_{OL} = \text{jmen. } 13.5; \geq 10 \text{ V}$ , B109D: $\pm U_{OL} = \text{jmen. } 13.3; \geq 10 \text{ V}$ , B109D: $\pm U_{OL} = \text{jmen. } 13.0; \geq 10 \text{ V}$ , B109D: $\pm U_{OL} = \text{jmen. } 8.0; -8.1 \text{ V}$ , B109D: $\pm U_{OL} = \text{jmen. } +8.2; -8.1 \text{ V}$ ,
$R_L = 10 \text{k}\Omega, \pm U_{CC} = \pm 9 \text{ V}$	A109D: $\pm U_{OL} = \text{jmen. } 14.0; \geq 12 \text{ V}$ , B109D: $\pm U_{OL} = \text{jmen. } 13.6; \geq 12 \text{ V}$ , B109D: $\pm U_{OL} = \text{jmen. } 14.0; \geq 12 \text{ V}$ , B109D: $\pm U_{OL} = \text{jmen. } 13.8; \geq 12 \text{ V}$ , B109D: $\pm U_{OL} = \text{jmen. } 8.0; \geq 8 \text{ V}$ .
$R_L = 10 \text{k}\Omega, \pm U_{CC} = \pm 15 \text{ V}$	
Rozsah vstupního napětí:	
$R_S = 100 \Omega$	A109D: $CMR = \text{jmen. } 110; \geq 65 \text{ dB}$ , B109D: $CMR = \text{jmen. } 115; \geq 70 \text{ dB}$ ,
$R_S = 10 \text{k}\Omega$	A109D: $CMR = \text{jmen. } 110 \text{ dB}$ , B109D: $CMR = \text{jmen. } 115 \text{ dB}$ .
Napěťové zesílení při velkém signálu	
$R_L = 2 \text{k}\Omega, U_0 = \pm 10 \text{ V}$	A109D: $A_U = \text{jmen. } 40; \geq 15.10^4$ , B109D: $A_U = \text{jmen. } 40; \geq 25.10^4$ ,
$R_L = 2 \text{k}\Omega, U_0 = \pm 10 \text{ V}$	A109D: $A_U \geq 12.10^4$ , B109D: $A_U \geq 12.10^4$ ,
$\theta_a = 0 \text{ až } +70^\circ\text{C}$	
$\theta_a = -25 \text{ až } +85^\circ\text{C}$	
Napájecí proud	A109D: $I_{CC} = \text{jmen. } 3.7 \text{ mA}$ , B109D: $I_{CC} = \text{jmen. } 3.5 \text{ mA}$ .
Vstupní odpor	A109D: $R_i = \text{jmen. } 370; \geq 50 \text{ k}\Omega$ , B109D: $R_i = \text{jmen. } 500; \geq 150 \text{ k}\Omega$ .

Příkon	A109D: B109D:	$P_{tot} \leq 200 \text{ mW}$ , $P_{tot} \leq 165 \text{ mW}$ .
<i>Dynamické údaje</i>		
Platí při $\theta_a = +25^\circ\text{C} - 5 \text{ K}, \pm U_{CC} = \pm 15 \text{ V}$		
Doba čela	$R_L = 2 \text{k}\Omega, C_L = 0$	A109D: B109D: $t_l = \text{jmen. } 0.6 \mu\text{s}$ , $t_l = \text{jmen. } 0.7 \mu\text{s}$ .
Překmit	$I_l = 20 \text{ mV}, C_L = 100 \text{ pF}$	jmen. 3 %.
Vstupní šumové napětí	$R_S = 100 \Omega, f = 15 \text{ kHz}$	$U_l = \text{jmen. } 1.1 \mu\text{V}$ .
	$R_S = 10 \text{k}\Omega, f = 15 \text{ kHz}$	$U_h = \text{jmen. } 3.5 \mu\text{V}$ .

Tab. 28. Elektrické údaje operačních zesilovačů IL709M, IL709S

Mezní údaje	
Napájecí napětí kladné:	$+U_{CC} \leq +18 \text{ V}$ .
Napájecí napětí záporné:	$-U_{CC} \leq -18 \text{ V}$ .
Vstupní napětí:	$U_C = -10 \text{ až } +10 \text{ V}$ .
Vstupní napětí diferenční:	$U_D = -5 \text{ až } +5 \text{ V}$ .
Ztrátový výkon celkový	$P_{tot} \leq 300 \text{ mW}$ , $P_{tot} \leq 250 \text{ mW}$ .
$\theta_a \leq 125^\circ\text{C}$	IL709M: IL709S:
$\theta_a \leq 70^\circ\text{C}$	IL709S: IL709M:
Rozsah provozních teplot okolo	IL709S: IL709M:
$\theta_a = 0 \text{ až } +70^\circ\text{C}$	IL709S: IL709M:
$\theta_a = -55 \text{ až } +125^\circ\text{C}$	IL709S: IL709M:
$\theta_{stg} = -65 \text{ až } +150^\circ\text{C}$	IL709S: IL709M:
$\theta_l \leq 300^\circ\text{C}$	IL709S: IL709M:
Doba trvání zkratu výstupního proudu:	$t_k \leq 5 \text{ s}$ .
Charakteristické údaje	
Platí při $\theta_a = +25^\circ\text{C}, \pm U_{CC} = \pm 15 \text{ V}$ , není-li uvedeno jinak.	
Vstupní napěťová nesymetrie	
$R_S \leq 10 \Omega$	IL709S: IL709M:
$R_S = 100 \Omega$	IL709S: IL709M:
$R_S = 1 \text{k}\Omega$	IL709S: IL709M:
$R_S = 10 \text{k}\Omega$	IL709S: IL709M:
$R_S = 100 \text{k}\Omega$	IL709S: IL709M:
$R_S = 1 \text{ M}\Omega$	IL709S: IL709M:
$R_S = 10 \text{ M}\Omega$	IL709S: IL709M:
$R_S = 100 \text{ M}\Omega$	IL709S: IL709M:
$R_S = 1 \text{ G}\Omega$	IL709S: IL709M:
$R_S = 10 \text{ G}\Omega$	IL709S: IL709M:
$R_S = 100 \text{ G}\Omega$	IL709S: IL709M:
$R_S = 1 \text{T}\Omega$	IL709S: IL709M:
$R_S = 10 \text{T}\Omega$	IL709S: IL709M:
$R_S = 100 \text{T}\Omega$	IL709S: IL709M:
$R_S = 1 \text{ G}\Omega, \Delta +U_{CC} = +1 \text{ V}$	IL709S: IL709M:
$\pm U_{CC} = \pm 9 \text{ V}$	IL709S: IL709M:
$\pm U_{CC} = \pm 15 \text{ V}$	IL709S: IL709M:
$\pm U_{CC} = \pm 15 \text{ V}$	IL709S: IL709M:
$R_S = 100 \Omega, \Delta -U_{CC} = -1 \text{ V}$	IL709S: IL709M:
$\pm U_{CC} = \pm 9 \text{ V}$	IL709S: IL709M:
$\pm U_{CC} = \pm 15 \text{ V}$	IL709S: IL709M:
$\pm U_{CC} = \pm 15 \text{ V}$	IL709S: IL709M:
$R_S = 10 \text{k}\Omega, \Delta -U_{CC} = +1 \text{ V}$	IL709S: IL709M:
$\pm U_{CC} = \pm 9 \text{ V}$	IL709S: IL709M:
$\pm U_{CC} = \pm 15 \text{ V}$	IL709S: IL709M:
$\pm U_{CC} = \pm 15 \text{ V}$	IL709S: IL709M:
$R_S = 10 \text{k}\Omega, \Delta -U_{CC} = -1 \text{ V}$	IL709S: IL709M:
$\pm U_{CC} = \pm 9 \text{ V}$	IL709S: IL709M:
$\pm U_{CC} = \pm 15 \text{ V}$	IL709S: IL709M:
$\pm U_{CC} = \pm 15 \text{ V}$	IL709S: IL709M:
Výstupní napětí vrcholové	
$R_L = 2 \text{k}\Omega, \pm U_{CC} = \pm 9 \text{ V}$	A109D: $\pm U_{OL} = \text{jmen. } +7.3; -7.7 \text{ V}$ , B109D: $\pm U_{OL} = \text{jmen. } +7.8; -7.8 \text{ V}$ ,
$R_L = 2 \text{k}\Omega, \pm U_{CC} = \pm 15 \text{ V}$	A109D: $\pm U_{OL} = \text{jmen. } 13.1; \geq 10 \text{ V}$ , A109D: $\pm U_{OL} = \text{jmen. } 13.4; \geq 10 \text{ V}$ , B109D: $\pm U_{OL} = \text{jmen. } 13.5; \geq 10 \text{ V}$ , B109D: $\pm U_{OL} = \text{jmen. } 13.3; \geq 10 \text{ V}$ , B109D: $\pm U_{OL} = \text{jmen. } 13.0; \geq 10 \text{ V}$ , B109D: $\pm U_{OL} = \text{jmen. } 8.0; -8.1 \text{ V}$ , B109D: $\pm U_{OL} = \text{jmen. } +8.2; -8.1 \text{ V}$ ,
$R_L = 10 \text{k}\Omega, \pm U_{CC} = \pm 9 \text{ V}$	A109D: $\pm U_{OL} = \text{jmen. } 14.0; \geq 12 \text{ V}$ , B109D: $\pm U_{OL} = \text{jmen. } 13.6; \geq 12 \text{ V}$ , B109D: $\pm U_{OL} = \text{jmen. } 14.0; \geq 12 \text{ V}$ , B109D: $\pm U_{OL} = \text{jmen. } 13.8; \geq 12 \text{ V}$ , B109D: $\pm U_{OL} = \text{jmen. } 8.0; \geq 8 \text{ V}$ .
$R_L = 10 \text{k}\Omega, \pm U_{CC} = \pm 15 \text{ V}$	
Rozsah vstupního napětí:	
$R_S = 100 \Omega$	A109D: $CMR = \text{jmen. } 110; \geq 65 \text{ dB}$ , B109D: $CMR = \text{jmen. } 115; \geq 70 \text{ dB}$ ,
$R_S = 10 \text{k}\Omega$	A109D: $CMR = \text{jmen. } 110 \text{ dB}$ , B109D: $CMR = \text{jmen. } 115 \text{ dB}$ .
Napěťové zesílení při velkém signálu	
$R_L = 2 \text{k}\Omega, U_0 = \pm 10 \text{ V}$	A109D: $A_U = \text{jmen. } 40; \geq 15.10^4$ , B109D: $A_U = \text{jmen. } 40; \geq 25.10^4$ ,
$R_L = 2 \text{k}\Omega, U_0 = \pm 10 \text{ V}$	A109D: $A_U \geq 12.10^4$ , B109D: $A_U \geq 12.10^4$ ,
$\theta_a = 0 \text{ až } +70^\circ\text{C}$	
$\theta_a = -25 \text{ až } +85^\circ\text{C}$	
Napájecí proud	A109D: $I_{CC} = \text{jmen. } 3.7 \text{ mA}$ , B109D: $I_{CC} = \text{jmen. } 3.5 \text{ mA}$ .
Vstupní odpor	A109D: $R_i = +125^\circ\text{C}$ , B109D: $R_i = -55^\circ\text{C}$
Rozkmit vstupního napětí	IL709M: IL709S: $I_l \leq 750 \text{nA}$ , $I_l = \text{jmen. } 3.5; \leq 50 \text{nA}$ , $I_l = \text{jmen. } 40; \leq 250 \text{nA}$ .
Vstupní klidový proud	IL709S: IL709M: $I_B \leq 2000 \text{nA}$ , $I_B = \text{jmen. } 300; \leq 600 \text{nA}$ .
Napěťový zisk při velkém signálu	IL709S: IL709M: $A_v \geq 12000 \text{ V/V}$ , $A_v = 25000 \text{ až } 70000 \text{ V/V}$ .
Vstupní odpor	IL709S: IL709M: $R_i \geq 35 \text{k}\Omega$ , $R_i = \text{jmen. } 170; \geq 85 \text{k}\Omega$ .
Rozkmit vstupního napětí	IL709M: IL709S: $U_{OMM} = \text{jmen. } \pm 14; \geq \pm 12 \text{ V}$ , $U_{OMM} = \text{jmen. } \pm 13; \geq \pm 10 \text{ V}$ .
Napájecí proud	IL709M: IL709S: $I_{CC} = \text{jmen. } 2.1; \leq 3 \text{ mA}$ , $I_{CC} = \text{jmen. } 2.7; \leq 4.5 \text{ mA}$ .
Příkon	IL709M: IL709S: $P = \text{jmen. } 63; \leq 90 \text{ mW}$ , $P = \text{jmen. } 81; \leq 135 \text{ mW}$ .

Informativní údaje pouze pro IL709M

Teplotní součinitel vstupní napěťové nesymetrie $R_S = 50 \Omega$ , $\vartheta_a = +25 \text{ až } +125^\circ\text{C}$ : $R_S = 50 \Omega$ , $\vartheta_a = +25 \text{ až } -55^\circ\text{C}$ : $R_S = 10 \text{ k}\Omega$ , $\vartheta_a = +25 \text{ až } +125^\circ\text{C}$ : $R_S = 10 \text{ k}\Omega$ , $\vartheta_a = +25 \text{ až } -55^\circ\text{C}$ : Teplotní součinitel vstupní proudové nesymetrie $\vartheta_a = +25 \text{ až } +125^\circ\text{C}$ : $\vartheta_a = +25 \text{ až } -55^\circ\text{C}$ :	$TK_{UO} = \text{jmen. } 1,8; \leq 10 \mu\text{V/K}$ , $TK_{UO} = \text{jmen. } 1,8; \leq 10 \mu\text{V/K}$ , $TK_{UO} = \text{jmen. } 2,0; \leq 15 \mu\text{V/K}$ , $TK_{UO} = \text{jmen. } 4,8; \leq 25 \mu\text{V/K}$ , $TK_{IO} = \text{jmen. } 0,08; \leq 0,5 \text{nA/K}$ , $TK_{IO} = \text{jmen. } 0,45; \leq 2,8 \text{nA/K}$ .
---	--

Rozkmit výstupního napětí

 $R_L \geq 10 \text{ k}\Omega$ : $R_L \geq 2 \text{ k}\Omega$ :

Rozsah výstupního napětí:

Potlačení souhlasného signálu

 $R_S \leq 10 \text{ k}\Omega$ :

Potlačení vlivu změn napájecího napětí na vstupní napěťovou nesymetrii

 $R_S \leq 10 \text{ k}\Omega$ :

Příkon:

Přechodové vlastnosti

 $U_I = 20 \text{ mV}$ ,  $R_L = 2 \text{ k}\Omega$ ,  $C_1 = 5000 \text{ pF}$ , $R_1 = 1,5 \text{ k}\Omega$ ,  $C_2 = 200 \text{ pF}$ ,  $R_2 = 50 \Omega$ , $C_L \leq 100 \text{ pF}$ 

Doba čela:

Překmit:

 $U_O \text{ MM} = \text{jmen. } \pm 14; \leq \pm 12 \text{ V}$ , $U_O \text{ MM} = \text{jmen. } \pm 13; \leq \pm 10 \text{ V}$ , $U_I = \text{jmen. } \pm 10; \leq \pm 8 \text{ V}$ ,CMR = jmen. 90;  $\geq 65 \text{ dB}$ .SVR = jmen. 25;  $\leq 200 \mu\text{V/V}$ . $P = \text{jmen. } 80; \leq 200 \text{ mW}$ .Platí při  $\vartheta_a = 0 \text{ až } +70^\circ\text{C}$ ,  $\pm U_{CC} = \pm 15 \text{ V}$ , není-li uvedeno jinak $I_{IO} \leq 10 \text{ mA}$ . $I_{IO} \leq 750 \text{ nA}$ . $I_{IB} \leq 2 \mu\text{A}$ .

Napěťový zisk při velkém signálu

 $R_L \geq 2 \text{ k}\Omega$ ,  $U_O = \pm 10 \text{ V}$ :

Vstupní odpor:

 $A_{IO} \geq 12 000 \text{ V/V}$ . $R_I \geq 35 \text{ k}\Omega$ .

Tab. 29. Elektrické údaje operačního zesilovače ROB709

Mezní údaje	
Napájecí napětí kladné: $U_{CC} = +18 \text{ V}$	$+U_{CC} \leq +18 \text{ V}$ .
Napájecí napětí záporné: $U_{CC} = -18 \text{ V}$	$-U_{CC} \geq -18 \text{ V}$ .
Vstupní napětí diferenční: $U_D = -5 \text{ až } +5 \text{ V}$	$U_D = -5 \text{ až } +5 \text{ V}$ .
Ztrátový výkon celkový: $P_{tot} \leq 300 \text{ mW}$	$P_{tot} \leq 300 \text{ mW}$ .
Rozsah pracovních teplot: $\vartheta_a = 0 \text{ až } +70^\circ\text{C}$	$\vartheta_a = 0 \text{ až } +70^\circ\text{C}$ .
Charakteristické údaje	
Platí při $\vartheta_a = 25^\circ\text{C}$ , $\pm U_{CC} = \pm 15 \text{ V}$	
Vstupní napěťová nesymetrie: $R_S \leq 10 \text{ k}\Omega$ :	$U_{IO} = \text{jmen. } 1; \leq 5 \text{ mV}$ .
Vstupní kladový proud: $I_{IO} \leq 2 \text{ k}\Omega$ , $U_O = \pm 10 \text{ V}$ :	$I_{IO} = \text{jmen. } 200; \leq 500 \text{ nA}$ .
Napěťový zisk při velkém signálu: $R_L \geq 2 \text{ k}\Omega$ :	$A_u = \text{jmen. } 30\,000; \geq 15\,000$ .
Rozkmit výstupního napětí: $R_S \leq 10 \text{ k}\Omega$ :	$U_{MM} = \text{jmen. } \pm 13; \geq \pm 10 \text{ V}$ .
Příkon:	CMR jmen. 90; $\geq 70 \text{ dB}$ .
Doba čela:	$P = \text{jmen. } 80; \leq 200 \text{ mW}$ .
Překmit:	$t_f = \text{jmen. } 0,3; \leq 1 \mu\text{s}$ .

Tab. 30. Elektrické údaje operačního zesilovače μA709

Mezní údaje	
Napájecí napětí kladné: $U_{CC} = +18 \text{ V}$	$+U_{CC} \leq +18 \text{ V}$ .
Napájecí napětí záporné: $U_{CC} = -18 \text{ V}$	$-U_{CC} \geq -18 \text{ V}$ .
Vstupní napětí: $U_C = -10 \text{ až } +10 \text{ V}$	$U_C = -10 \text{ až } +10 \text{ V}$ .
Vstupní napětí diferenční: $U_D = -5 \text{ až } +5 \text{ V}$	$U_D = -5 \text{ až } +5 \text{ V}$ .
Ztrátový výkon celkový: $P_{tot} \leq 670 \text{ mW}$	$P_{tot} \leq 670 \text{ mW}$ .
Rozsah provozních teplot okolí: $\vartheta_a = 0 \text{ až } +70^\circ\text{C}$	$\vartheta_a = 0 \text{ až } +70^\circ\text{C}$ .
Rozsah skladovacích teplot: $\vartheta_{stg} = -65 \text{ až } +150^\circ\text{C}$	$\vartheta_{stg} = -65 \text{ až } +150^\circ\text{C}$ .
Teplota vývodu při pájení: $\vartheta_t = 300^\circ\text{C}$	$\vartheta_t = 300^\circ\text{C}$ .
Doba trvání zkratu výstupního proudu: $t_k \leq 5 \text{ s}$	$t_k \leq 5 \text{ s}$ .
Charakteristické údaje	
Platí při $\vartheta_a = +25^\circ\text{C}$ , $\pm U_{CC} = \pm 15 \text{ V}$	
Vstupní napěťová nesymetrie: Teplotní součinitel vstupní napěťové nesymetrie: $R_S \leq 10 \text{ k}\Omega$ :	$U_{IO} \leq 7,5 \text{ mV}$ .
Vstupní proudová nesymetrie: $I_{IO} \leq 500 \text{ nA}$ :	$TK_{UO} = \text{jmen. } 10 \mu\text{V/K}$ .
Vstupní kladový proud: $I_{IO} \leq 1500 \text{ nA}$ :	$I_{IO} \leq 1500 \text{ nA}$ .
Napěťový zisk při velkém signálu: $R_L \geq 2 \text{ k}\Omega$ :	$A_u \leq 15\,000 \text{ V/V}$ .
Rozsah napájecího napětí: $A_u = 1$ :	$\pm U_{CC} = \pm 9 \text{ až } \pm 18 \text{ V}$ .
Šířka přenášeného pásmá: $A_u = 1$ :	$B = \text{jmen. } 1 \text{ MHz}$ .
Rozsah vstupního napětí: $A_u = -1$ :	$U_{IO} \leq 10 \text{ V}$ .
Rozsah vstupního napětí diferenčního: $A_u = -1$ :	$U_D \leq \pm 5 \text{ V}$ .
Překmit: $A_u = 1$ :	$\text{jmen. } 0,3 \text{ V/}\mu\text{s}$ ,
$A_u = -1$ :	$\text{jmen. } 0,3 \text{ V/}\mu\text{s}$ ,
$A_u = 10$ :	$\text{jmen. } 3,0 \text{ V/}\mu\text{s}$ .

Tab. 31. Elektrické údaje operačního zesilovače μA709PC, μA709PCE

Mezní údaje	
Napájecí napětí kladné: $U_{CC} = +18 \text{ V}$	$+U_{CC} \leq +18 \text{ V}$ .
Napájecí napětí záporné: $U_{CC} = -18 \text{ V}$	$-U_{CC} \geq -18 \text{ V}$ .
Vstupní napětí: $U_C = -10 \text{ až } +10 \text{ V}$	$U_C = -10 \text{ až } +10 \text{ V}$ .
Vstupní napětí diferenční: $U_D = -5 \text{ až } +5 \text{ V}$	$U_D = -5 \text{ až } +5 \text{ V}$ .
Ztrátový výkon celkový: $P_{tot} \leq 670 \text{ mW}$	$P_{tot} \leq 670 \text{ mW}$ .
Rozsah provozních teplot okolí: $\vartheta_a = 0 \text{ až } +70^\circ\text{C}$	$\vartheta_a = 0 \text{ až } +70^\circ\text{C}$ .
$\mu A709PC$ :	$\vartheta_a = -25 \text{ až } +85^\circ\text{C}$ .
$\mu A709PCE$ :	$\vartheta_{stg} = -55 \text{ až } +125^\circ\text{C}$ .
Rozsah skladovacích teplot: $\vartheta_{stg} = -55 \text{ až } +125^\circ\text{C}$	$\vartheta_{stg} = -55 \text{ až } +125^\circ\text{C}$ .
Teplota vývodu při pájení: $t \leq 10 \text{ s}$	$\vartheta_t \leq 260^\circ\text{C}$ .
Doba trvání zkratu výstupního proudu: $t_k \leq 5 \text{ s}$	$t_k \leq 5 \text{ s}$ .
Charakteristické údaje	
Platí při $\vartheta_a = +25^\circ\text{C}$ , $\pm U_{CC} = \pm 15 \text{ V}$ , není-li uvedeno jinak	
Vstupní napěťová nesymetrie: $R_S \leq 10 \text{ k}\Omega$ , $\pm U_{CC} = \pm 9 \text{ až } \pm 15 \text{ V}$ :	$U_{IO} = \text{jmen. } 2,0; \leq 7,5 \text{ mV}$ .
Vstupní proudová nesymetrie: $I_{IO} \leq 500 \text{ nA}$ :	$I_{IO} = \text{jmen. } 100; \leq 500 \text{ nA}$ .
Vstupní kladový proud: $I_{IO} \leq 1500 \text{ nA}$ :	$I_{IO} = \text{jmen. } 300; \leq 1500 \text{ nA}$ .
Vstupní odpor: $R_I > 10 \text{ k}\Omega$ :	$R_I = \text{jmen. } 250; \geq 50 \text{ k}\Omega$ .
Napěťový zisk při velkém signálu: $R_L \geq 2 \text{ k}\Omega$ , $U_O = \pm 10 \text{ V}$ :	$R_O = \text{jmen. } 150 \Omega$ .

Rozkmit výstupního napětí

 $R_L \geq 10 \text{ k}\Omega$ : $R_L \geq 2 \text{ k}\Omega$ :

Rozsah výstupního napětí:

Potlačení souhlasného signálu

 $R_S \leq 10 \text{ k}\Omega$ :

Potlačení vlivu změn napájecího napětí na vstupní napěťovou nesymetrii

 $R_S \leq 10 \text{ k}\Omega$ :

Příkon:

Přechodové vlastnosti

 $U_I = 20 \text{ mV}$ ,  $R_L = 2 \text{ k}\Omega$ ,  $C_1 = 5000 \text{ pF}$ , $R_1 = 1,5 \text{ k}\Omega$ ,  $C_2 = 200 \text{ pF}$ ,  $R_2 = 50 \Omega$ , $C_L \leq 100 \text{ pF}$ 

Doba čela:

Překmit:

Platí při  $\vartheta_a = 0 \text{ až } +70^\circ\text{C}$ ,  $\pm U_{CC} = \pm 15 \text{ V}$ , není-li uvedeno jinak

Vstupní napěťová nesymetrie

 $R_S \leq 10 \text{ k}\Omega$ ,  $\pm U_{CC} = \pm 9 \text{ až } \pm 15 \text{ V}$ :

Vstupní kladový proud:

Napěťový zisk při velkém signálu

 $R_L \geq 2 \text{ k}\Omega$ ,  $U_O = \pm 10 \text{ V}$ :

Vstupní odpor:

 $A_{IO} \geq 10000 \text{ V/V}$ . $R_I \geq 35 \text{ k}\Omega$ .

Vstupní napětí:

 $A_u = 0 \text{ až } +70^\circ\text{C}$ , $\vartheta_a = -55 \text{ až } +125^\circ\text{C}$ . $\vartheta_{stg} = -55 \text{ až } +125^\circ\text{C}$ .

Vstupní napěťová nesymetrie

 $R_S \leq 10 \text{ k}\Omega$ :

Vstupní proudová nesymetrie

 $I_{IO} \leq 200 \text{ nA}$ :

Vstupní kladový proud

Napěťové zisení

 $R_L \geq 2 \text{ k}\Omega$ :

Rozkmit výstupního napětí

 $R_L \geq 2 \text{ k}\Omega$ ,  $U_I \geq 0,1 \text{ V}$ 

Napájecí proud

 $R_L > 10 \text{ k}\Omega$ :

Potlačení souhlasného signálu

 $R_S \leq 10 \text{ k}\Omega$ ,  $U_D = \pm 8 \text{ V}$ :CMR  $\geq 65 \text{ dB}$ .

Vstupní napěťová nesymetrie

 $R_S \leq 10 \text{ k}\Omega$ :

Vstupní proudová nesymetrie

 $I_{IO} \leq 500 \text{ nA}$ :

Vstupní kladový proud

Napěťové zisení

 $R_L \geq 2 \text{ k}\Omega$ :

Rozkmit výstupního napětí

 $R_L \geq 2 \text{ k}\Omega$ ,  $U_I \geq 0,1 \text{ V}$ 

Napájecí proud

 $R_L > 10 \text{ k}\Omega$ :

Potlačení souhlasného signálu

 $R_S \leq 10 \text{ k}\Omega$ ,  $U_D = \pm 8 \text{ V}$ :CMR  $\geq 65 \text{ dB}$ .

Rozkmit výstupního napětí

 $R_L \geq 10 \text{ k}\Omega$ : $R_L \geq 2 \text{ k}\Omega$ :

Rozsah výstupního napětí:

Potlačení vlivu změn napájecího napětí na vstupní napěťovou nesymetrii

 $R_S \leq 10 \text{ k}\Omega$ :

Příkon:

Přechodové vlastnosti

 $U_I = 20 \text{ mV}$ ,  $R_L = 2 \text{ k}\Omega$ ,  $C_1 = 5000 \text{ pF}$ , $R_1 = 1,5 \text{ k}\Omega$ ,  $C_2 = 200 \text{ pF}$ ,  $R_2 = 50 \Omega$ , $C_L \leq 100 \text{ pF}$ 

Doba čela:

Překmit:

Platí při  $\vartheta_a = 0 \text{ až } +70^\circ\text{C}$ ,  $\pm U_{CC} = \pm 15 \text{ V}$ , není-li uvedeno jinak

Vstupní napěťová nesymetrie

 $R_S \leq 10 \text{ k}\Omega$ ,  $\pm U_{CC} = \pm 10 \text{ V}$ :

Vstupní kladový proud:

Napěťový zisk při velkém signálu

 $R_L \geq 2 \text{ k}\Omega$ ,  $U_O = \pm 10 \text{ V}$ :

Vstupní odpor:

Napájecí proud

 $R_L > 10 \text{ k}\Omega$ :

Potlačení souhlasného signálu

 $R_S \leq 10 \text{ k}\Omega$ ,  $U_D = \pm 8 \text{ V}$ :

Tab. 34. Elektrické údaje operačních zesilovačů K1UT531A, K1UT531B

Mezní údaje	
Napájecí napětí kladné:	$+U_{CC} \leq +16,5 \text{ V}$ .
Napájecí napětí záporné:	$-U_{CC} \geq -16,5 \text{ V}$ .
Vstupní napětí soufázové:	$U_{IC} = -8 \text{ až } +8 \text{ V}$ .
Vstupní napětí diferenční:	$U_{ID} = -5 \text{ až } +5 \text{ V}$ .
Odpod zátěže:	$R_L \geq 2 \text{ k}\Omega$ .
Rozsah provozních teplot okolí:	$\theta_a = -45 \text{ až } +85^\circ\text{C}$ .
Charakteristické údaje	
Platí při $\theta_a = +25^\circ\text{C}$ , $\pm U_{CC} = \pm 15 \text{ V}$	
Vstupní napěťová nesymetrie:	$U_0 \leq 7,5 \text{ mV}$ .

#### Vstupní proudová nesymetrie

K1UT531A:

K1UT531B:

#### Vstupní klidový proud:

K1UT531A:

K1UT531B:

#### Napěťové zesilení

K1UT531A:

K1UT531B:

#### Rozkmit výstupního signálu

K1UT531A:

K1UT531B:

#### Vstupní odpor:

Vstupní odpor:

#### Potlačení souhlasného signálu:

$I_O \leq 500 \text{ nA}$ ,

$I_O \leq 600 \text{ nA}$ .

$I_B \leq 1500 \text{ nA}$ ,

$I_B \leq 2000 \text{ nA}$ .

$A_u = 15000 \text{ až } 80000$ ,

$A_u = 10000 \text{ až } 100000$ .

$U_{OMM} \geq \pm 10 \text{ V}$ ,

$U_{OMM} \geq \pm 9 \text{ V}$ .

$R_i \geq 100 \text{ k}\Omega$ .

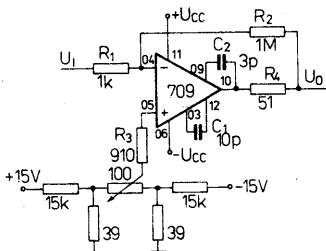
$R_o \leq 200 \Omega$ .

CMR  $\geq 65 \text{ dB}$ .

Kmitočtová kompenzace operačních zesilovačů je nutná i při provozu s otevřenou smyčkou. Ke kompenzaci se využívají dvou kondenzátorů:  $C_{K1}$  s kapacitou  $10 \text{ pF}$  se připojuje mezi vývody 03 a 12,  $C_{K2}$  s kapacitou  $3 \text{ pF}$  mezi vývody 09 a 10.

Při provozu s uzavřenou smyčkou je kmitočtová kompenzace nezbytná. Potřebné součástky ke kmitočtové kompenzaci pro napěťový zisk od 0 do 60 dB byly uvedeny v tab. 26.

V důsledku určité nesymetrie vnitřní konstrukce operačního zesilovače a tím vzniklých nepatrně odlišných napěťových úbytků, které způsobují vstupní proudy zesilovače na předřazených rezistorach v obou vstupech, není výstupní napětí přesně nulové, pokud se nevyváží vstupní napětí přesně na nulu. Tato skutečnost se může často rušivě projevovat zvláště při velkém zesílení. Proto se musí vhodným způsobem vyvážit vstupní napěťová nesymetrie. Vhodné zapojení s malým kompenzačním napětím je na obr. 106. Zvlášť při napěťovém zisku většinou než 30 dB se musí zapojení opatřit kompenzací vstupní nesymetrie, kterou se vyváží výstupní napětí v klidu na nulovou velikost při nulovém vstupním napětí.

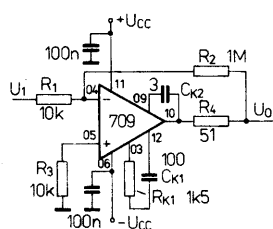


Obr. 106. Základní zapojení pro vyvážení vstupní nesymetrie operačních zesilovačů řady 709

K dosažení co nejmenší teplotní závislosti musejí mít použité vnější rezistory v obvodu invertujícího, popří. neinvertujícího vstupu přesně stejný odpór (viz obr. 107). Odtud platí podmínka

R\_3 = R\_1 / R\_2

Provozuje-li se operační zesilovač jako napěťový sledovač, je nezbytné dodržovat maximální rozsah vstupního stejnosměrného napětí. Maximální rozsah souhlasného vstupního napětí se nesmí ani krátkodobě



Obr. 107. Invertující operační zesilovač řady 709

překročit, neboť jinak vzniká nebezpečí „zavření“ nebo ujiždění výstupního napětí. Proto se doporučuje při provozu zesilovače řady 709 jako napěťový sledovač zapojit z výstupu na invertující vstup rezistor  $10 \text{ k}\Omega$ .

Pokud by se v použití zapojení mohlo vyskytnout rozdílové napětí mezi invertujícím a neinvertujícím vstupem větší než  $5 \text{ V}$ , musí se vstupy opatřit zvláštní ochranou. Vhodná ochrana se může vytvořit ze dvou sériově, proti sobě zapojených Zenerových diod nebo ze dvou antiparalelně zapojených rychlých křemíkových diod (např. KA206, KA207 apod.).

Má-li operační zesilovač řady 709 řídit logický obvod, je třeba mezi výstup zesilovače a vstup následujícího logického obvodu zařadit člen pro vyrovnaní logických úrovní. K řízení vstupu logického člena TTL postačí k tomuto účelu zapojit rezistor  $2 \text{ k}\Omega$  mezi výstup operačního zesilovače a vstup logického člena a připojit dvě záchranné diody na konci rezistoru, který je spojen s logickým členem. Dioda  $D_1$  je katodou připojena k rezistoru, anodou na zemní potenciál. Druhá dioda  $D_2$  je připojena anodou k rezistoru, katodou ke kladnému pomocnému napětí  $2,8 \text{ V}$ . Dioda  $D_1$  omezuje zápornou vstupní amplitudu asi na  $-0,7 \text{ V}$ , dioda  $D_2$  kladnou výstupní amplitudu přibližně na úroveň logického napájecího napětí. Rezistor mezi operačním zesilovačem a logickým členem udržuje výstupní proud operačního zesilovače na konstantní velikost.

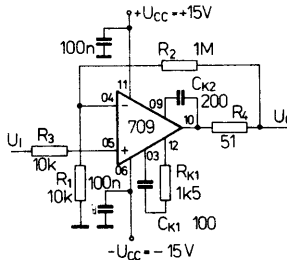
Operační zesilovače se doporučuje chránit proti zničení chyběným přepříváním napájecích napětí. K tomu postačí zapojit do přívodu kladného a záporného napětí po jedné křemíkové diodě pólované ve směru průtoku proudu. Při špatně pólovaných napájecích zdrojích budou diody nevodivé a zabrání zničení integrovaného obvodu.

Účelná je rovněž ochrana operačního zesilovače před napěťovými špičkami ze zdroje. K ochraně postačí Zenerova dioda s vhodným Zenerovým napětím, připojená mezi vývody  $-U_{CC}$  a  $+U_{CC}$  (anoda je připojena k zápornému zdroji, katoda ke kladnému zdroji přes ochranný rezistor  $100 \Omega$ ).

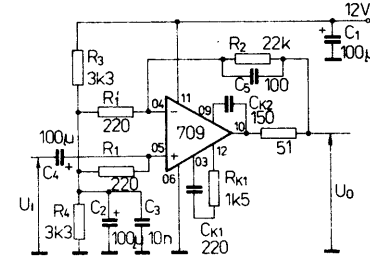
#### Doporučená zapojení

Protože v naší časopisecké a knižní literatuře bylo publikováno mnoho zajímavých zapojení s operačními zesilovači řady 709 včetně zesilovačů TESLA typů MAA501 až MAA504, uvádíme pro doplnění jen dvě zajímavá nf zapojení, která platí pro všechny součástky popsáne řady. Na obr. 107 je úplné zapojení invertujícího zesilovače, na obr. 108 neinvertujícího zesilovače.

Zapojení na obr. 109 pracuje jako nf předzesilovač s malým šumem. K napájení se používá unipolární napětí  $+12 \text{ V}$ , které se připojuje na vývod  $+U_{CC}$ , vývod  $-U_{CC}$  je spojen se zemí. Pracovní bod zesilovače je nastaven rezistory  $R_3, R_4$  ( $6 \text{ V}$ ). Kondenzátory  $C_3$  a  $C_2$  slouží k odblokování střídavého napětí. Vstupní šumové napětí předzesilovače je lepší než  $2 \mu\text{V}$ , vstupní impedance



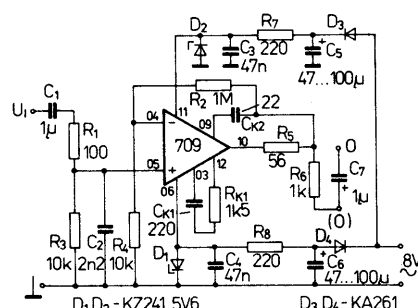
Obr. 108. Neinvertující operační zesilovač řady 709



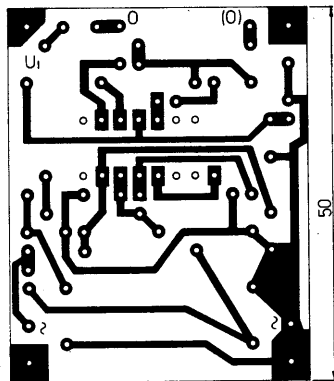
Obr. 109. Nízkofrekvenční předzesilovač s malým šumem, osazený operačním zesilovačem řady 709

$220 \Omega$ . Šířka přenášeného pásma pro pokles  $\pm 1 \text{ dB}$  je  $20 \text{ Hz}$  až  $20 \text{ kHz}$ , zesílení je  $40$ .

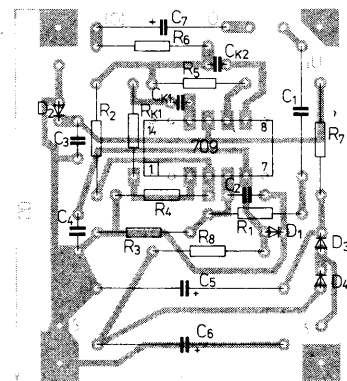
Další zajímavé zapojení nf předzesilovače se zesílením 100, které se může podle potřeby změnit změnou rezistoru  $R_2$  (zmenšením jeho odporu), je na obr. 110. Zesilovač je vhodný pro laboratorní pokusy zájemců, kteří se chtějí seznámit s vlastnostmi a funkcemi operačního zesilovače. Napájí se střídavým napětím ze zvonkového transformátoru. Součástí zesilovače je dvoucestný usměrňovač se dvěma křemíkovými univerzálními diodami  $D_3, D_4$  typu KA261, KA265, KA267 nebo diodami podobných vlastností. Usměr-



Obr. 110. Nízkofrekvenční předzesilovač se zesílením 100, osazený operačním zesilovačem řady 709; zesilovač je vybaven vlastním usměrňovacím zdrojem



Obr. 111a. Deska s plošnými spoji X208 pro sestavení nf předzesilovače podle obr. 110



Obr. 111b. Rozmístění součástek na desce s plošnými spoji nf předzesilovače podle obr. 110

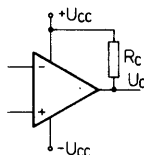
něně a vyhlazené napájecí napětí je stabilizováno Zenerovými diodami  $D_1$ ,  $D_2$  typu KZ241/6V2, popříp. KZ721 nebo KZZ71. Zesilovač se může použít též k různým kontrolním a hlídacím účelům. Ve spojení s integrovaným koncovým zesilovačem typu MBA810S nebo MBA810DS a ke vstupu připojeným mikrofonem může celek sloužit jako akustický hlídač.

K sestavení popsaného nf předzesilovače je možné použít desku s plošnými spoji podle obr. 111a. Rozmístění součástek na desce s plošnými spoji je na obr. 111b.

### Operační zesilovače s otevřeným kolektorovým výstupem

Oblíbené a velmi rozšířené operační zesilovače řady 709, 741 a 748 mají dvojčinný výstupní stupeň. Proto se jejich vnější zapojení omezuje především na vstupy, využívání vstupní napěťové a proudové nesymetrie, nastavení napěťového zisku a popříp. vnější kmitočtovou kompenzaci. Výstupní zapojení je prakticky nemenné, pokud se nepoužijí k rozšíření diskrétní tranzistory a pasivní součástky.

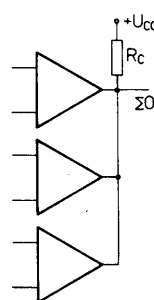
V hodným doplňkem uvedených operačních zesilovačů jsou operační zesilovače s otevřeným kolektorovým výstupem. Systém těchto zesilovačů není vybaven známou horní částí výstupního stupně. Při potřebném vybuzení sice může vzniknout na výstupu těchto zesilovačů záporné napětí o velikosti blízké napájecímu napětí, v žádném případě však kladné výstupní napětí. Proto k základnímu zapojení operačních zesilovačů s otevřeným kolektorem patří kolektorový rezistor  $R_C$ , připojený mezi zdroj kladného napětí  $+U_{CC}$  a výstup podle obr. 112. Uvede-



Obr. 112. Základní zapojení operačních zesilovačů s otevřeným kolektorovým výstupem; výstup detektora je spojen s kladným napájecím napětím rezistorem  $R_C$

ný rezistor bývá často označován jako zatěžovací rezistor  $R_L$ , což není zcela správné.

Jednou z velkých přednosti popisovaných operačních zesilovačů je možnost spojovat výstupy stejných typů součástek do společného výstupu. Do společného vývodu se pak zařadí společný rezistor  $R_C$ , který se připojí ke kladnému napájecímu napětí podle obr. 113.



Obr. 113. Výstupy operačních zesilovačů s otevřeným kolektorem se mohou spojovat do společného výstupu, který se musí opět spojit výstupním odporem  $R_C$  s kladným napájecím napětím

slučitelný s logikou TTL. Tyto součástky jsou určeny především jako komparátory. Při záření menším než 60 dB jsou náchylné ke kmitání.

Sdružené zesilovače B2761D, B2765D mají na společném čipu dva systémy operačních zesilovačů základního typu 761D, B4761D, B4765D čtyři zesilovače typu B761D.

Všechny uvedené součástky nemají vývody pro využití vstupní nesymetrie. Využití není u nich zpravidla nutné. V případech, kdy se využívá vstupní nesymetrie nevyhneme, musí se použít některé ze známých zapojení, používaných u zesilovačů řady 709 (např. podle obr. 106).

Dvojité a čtyřnásobné operační zesilovače B2761D, B2765D, B4761D, B4765D jsou vybaveny vnitřní kmitočtovou kompenzací, u většiny ostatních je možné snadno zavést vnitřní kompenzací.

Všechny popisované integrované obvody se napájejí symetrickým napětím, mohou se však napájet i z nesymetrického napájecího zdroje. Výstupní proud všech typů je max. 70 mA. Zbytkové napětí je při tomto proudu velmi příznivé. U zesilovačů B611D, B615D, určených pro spolupráci s obvody TTL, se může napájet budící tranzistor koncového stupně odděleně, čímž se dosáhne zvláště malého zbytkového napětí.

Univerzální použití operačních zesilovačů dovoluje poměrně velký rozsah vstupního souhlasného a diferenčního napětí. Napájejí-li se operační zesilovače z nesymetrického zdroje, může se pracovat s malým vstupním napětím asi do 800 mV, aniž by se zesilovače začaly chovat nepředvídatelně. Zvláště malé napájecí napětí (minimálně 3 V) postačuje ke spolehlivému provozu zesilovačů B761D a B861D.

Funkční skupinové zapojení operačních zesilovačů s jedním systémem je na obr. 118, dvojitého zesilovače na obr. 119. Základní zapojení platí pro všechny pět jednoduchých typů. Každý ze zesilovačů se skládá ze vstupního diferenčního zesilovače, základního „mezizesilovače“ a výstupního stupně. Společný zdroj konstantního napětí napájí všechny tři stupně. Zdroj konstantního proudu je společný pro oba systémy dvojitych operačních zesilovačů B2761D, B2765D. Dvojité a čtyřnásobné zesilovače jsou vybaveny čtvrtým stupněm vnitřní kmitočtové kompenzace. Čtyřnásobný zesilovač je složen ze dvou identických dvojic dvojnásobných zesilovačů B2761D na monolitické křemíkové podložce.

Uplně vnitřní elektrické zapojení všech pěti jednoduchých zesilovačů je na obr. 120. Jak je patrné z tab. 35, mají operační zesilovače řady 761 vstupní stupeň podle typu buď jednoduchý nebo diferenční s Darlingtonovým tranzistorem. Jednoduchý vstupní stupeň obsahuje rovněž tranzistory v diodovém zapojení, které slouží jako ochranné diody. V Darlingtonové vstupu jsou tyto tranzistory zapojeny jako Darlingtonův zesilovač. Na obou kolektorových rezistorech tranzistorů  $T_1$ ,  $T_2$  vstupního stupně se odebrá zesiřený signál a přivádí se na vstup mezizesilovačho stupně.

### Operační zesilovače řady 761

Jediným výrobcem operačních zesilovačů s otevřeným kolektorovým výstupem v zemích RVHP je podnik VEB Halbleiterwerk, Frankfurt/O., v NDR. Sortiment vyráběných typů je bohatý. Ze sedmi typů zesilovačů je pět typů s jedním systémem, jeden se dvěma a jeden se čtyřmi systémy zesilovačů. Všechny typy jsou vyrábány s určením pro použití v komerčních přístrojích s rozsahem teplot od 0 do +70 °C a pro průmyslové přístroje, pracující v rozsahu teplot od -25 do +85 °C. Přehled sortimentní skladby popisovaných součástek je v tab. 35.

Sedm základních typů operačních zesilovačů řady 761 se odlišuje úpravou vnitřního zapojení vstupů a výstupů, popříp. napájecím napětím. Zesilovače B761D, B765D jsou určeny pro provoz s napájecím napětím od  $\pm 1,5$  V do  $\pm 18$  V, B611D, B675D s napětím od  $\pm 1,5$  V do  $\pm 10$  V, všechny ostatní typy napětím od  $\pm 2$  V do  $\pm 15$  V.

Zesilovač B611D, B615D, B631D, B635D mají vstupní stupeň vybavený tranzistory v Darlingtonové zapojení, proto se jejich vstupní odpor velký, vstupní klidový proud naopak malý.

Zesilovače B611D, B615D, B621D, B625D mají výstup upraven tak, aby byl

Tab. 35. Přehled operačních zesilovačů s otevřeným kolektorovým výstupem řady 761

Rozsah provozních teplot A	Rozsah provozních teplot B	Počet systémů	Vstup	Výstup	Kmitočtová kompenzace	Pouzdro	Zapojení vývodů obr.
B761D	B765D	1	jednoduchý	Darlington	vnější	DIL-6	114
B861D	B865D	1	jednoduchý	Darlington	vnější	DIL-6	114
B611D	B615D	1	Darlington	TTL-sluč.	bez	DIL-6	115
B621D	B625D	1	jednoduchý	TTL-sluč.	bez	DIL-6	115
B631D	B635D	1	Darlington	Darlington	vnější	DIL-6	114
B2761D	B2765D	2	jednoduchý	Darlington	vnitřní	DIL-8	116
B4761D	B4765D	4	jednoduchý	Darlington	vnitřní	DIL-14	117

A: 0 až +70 °C; B: -25 až +85 °C

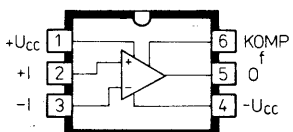
Tab. 36. Mezní údaje operačních zesilovačů řady 761

Napájecí napětí z kladného a záporného zdroje B861D, B865D:	$\pm U_{CC} = \pm 1,5$ až $\pm 10$ V
B761D, B765D: B611D, B615D, B621D, B625D, B631D, B635D, B2761D, B2765D, B4761D, B4765D:	$\pm U_{CC} = \pm 1,5$ až $\pm 18$ V
Vstupní napětí souhlasné všechny typy:	$\pm U_{CC} = \pm 2$ až $\pm 15$ V
Vstupní napětí diferenční $\pm U_{CC} = \pm 1,5$ až $\pm 7,5$ V B761D, B765D, B861D, B865D, B621D, B625D, B2761D, B2765D, B4761D, B4765D:	$U_D = -(+U_{CC} - U_{CC})$ až $(+U_{CC} - U_{CC})$
$\pm U_{CC} = \pm 2$ až $\pm 6,5$ V B611D, B615D, B631D, B635D:	
$\pm U_{CC} = \pm 7,5$ až $\pm 18$ V B761D, B765D:	
$\pm U_{CC} = \pm 7,5$ až $\pm 10$ V B861D, B865D:	$U_D = -15$ až $+15$ V.
$\pm U_{CC} = \pm 7,5$ až $\pm 15$ V B621D, B625D, B2761D, B2765D, B4761D, B4765D:	$U_D = -15$ až $+15$ V,
$\pm U_{CC} = \pm 6,5$ až $\pm 15$ V B611D, B615D, B631D, B635D	$U_D = -13$ až $+13$ V.
Výstupní proud všechny typy:	$I_O \leq 70$ mA.
Teplota přechodu všechny typy:	$\theta_j \leq 150$ °C.
Tepelný odpor všechny typy mimo B4761D, B4765D: pouze B4761D, B4765D:	$R_{Thj} \leq 140$ kW. $R_{Tha} \leq 120$ kW.
Rozsah provozních teplot okolí B761D, B861D, B611D, B621D, B631D, B2761D, B4761D: B765D, B865D, B615D, B625D, B635D, B2765D, B4765D:	$\theta_a = 0$ až $+70$ °C, $\theta_a = -25$ až $+85$ °C.

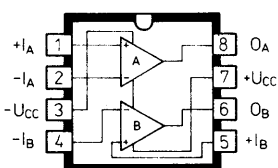
1) Minimální provozní napětí.

2) Napětí se vztahuji vůči zemnímu potenciálu (vůči středu napájecích napětí  $+U_{CC}$  a  $-U_{CC}$ ).

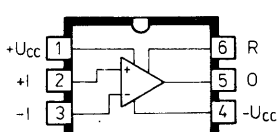
Vstupní napětí diferenční je napětí neinvertujícího vstupu vztavené vůči invertujícímu vstupu.



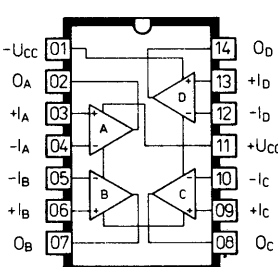
Obr. 114. Zapojení vývodů operačních zesilovačů B631D, B635D, B761D, B861D, B765D, B865D



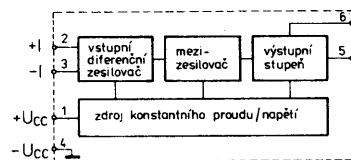
Obr. 116. Zapojení vývodů operačních zesilovačů B2761D, B2765D



Obr. 115. Zapojení vývodů operačních zesilovačů B611D, B615D, B621D, B625D



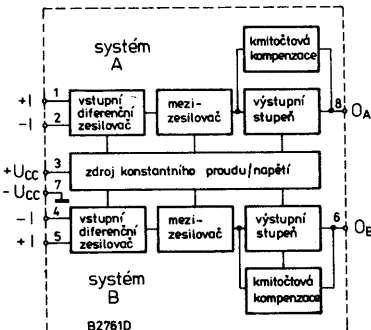
Obr. 117. Zapojení vývodů operačních zesilovačů B4761D, B4765D



Obr. 118. Funkční skupinové zapojení operačních zesilovačů řady 761 s jedním systémem

Tab. 37. Charakteristické údaje operačních zesilovačů řady 761

Platí při $\theta_a = 25$ °C – 5 K, $\pm U_{CC} = \pm 15$ V; B861D; B865D: $\pm U_{CC} = \pm 10$ V; $R_S = 2$ kΩ	
Vstupní napěťová nesymetrie $R_S = 50$ Ω B761D, B765D, B2761D, B2765D, B4761D, B4765D: B621D, B625D: B861D, B865D: B611D, B615D, B631D, B635D: B761D, B765D, B861D, B865D, B2761D, B2765D, B4761D, B4765D, B621D, B625D: B611D, B615D, B631D, B635D: Vstupní proudová nesymetrie B761D, B765D, B861D, B865D, B2761D, B2765D, B4761D, B4765D, B621D, B625D: B611D, B615D, B631D, B635D: Vstupní klidový proud B761D, B765D, B861D, B865D, B2761D, B2765D, B4761D, B4765D, B621D, B625D: B611D, B615D, B631D, B635D: Napěťové zesílení otevřené smyčky $A_{V0} = \pm 10$ B661D, B865D: $A_{V0} = \pm 5$ B2761D, B2765D, B4761D, B4765D: B721D, B765D: B611D, B615D, B621D, B625D, B631D, B635D: Rozsah vybuzení výstupního napětí $\pm U_{D0} = 1$ V: B761D, B765D, B631D, B635D, B2761D, B2765D, B4761D, B4765D: B611D, B615D, B621D, B625D: B661D, B865D: $R_C = 620$ Ω: B761D, B765D, B861D, B865D, B2761D, B2765D: B611D, B615D, B621D, B625D: B4761D, B4765D: $R_C = 400$ Ω: B661D, B865D: Napěťové zesílení otevřené smyčky $\pm U_{CC} = \pm 5$ V, $A_{V0} = \pm 2$ V B761D, B765D, B861D, B865D, B2761D, B2765D, B4761D, B4765D: B611D, B615D, B631D, B635D, B621D, B625D: Rozsah vybuzení výstupního napětí $\pm U_{D0} = \pm 5$ V B761D, B765D, B2761D, B2765D, B4761D, B4765D: B661D, B865D: Zbytkové napětí $I_o = 10$ mA B611D, B615D, B621D, B625D: ostatní typy: Potláčení souhlasného napětí $R_S = 50$ Ω, $A_{V0} = \pm 10$ B761D, B765D, B2761D, B2765D, B4761D, B4765D: B611D, B615D, B621D, B625D, B631D, B635D: $R_S = 50$ Ω, $A_{V0} = \pm 7$ B661D, B865D: Potláčení vlivu změn napájecího napětí $\Delta U_{CC} = 10$ V: B2761D, B2765D, B4761D, B4765D: ostatní typy: $\Delta U_{CC} = 7$ V B661D, B865D: Závěrný proud výstupu B861D, B865D: ostatní typy: Napájecí proud $R_C = \infty$ , $I_o = 0$ V B2761D, B2765D, B4761D, B4765D: ostatní typy: $I_{CC} \leq 3$ mA, $I_{CC} \leq 1,5$ mA.	
$U_{IO} = -6$ až $+6$ mV, $U_{IO} = -7,5$ až $+7,5$ mV, $U_{IO} = -10$ až $+10$ mV, $U_{IO} = -15$ až $+15$ mV.	
$I_{IO} = -300$ až $+300$ nA, $I_{IO} = -25$ až $+25$ nA.	
$I_B \leq 1$ μA, $I_B \leq 0,05$ μA.	
$A_{V0} \geq 75$ dB.	
$A_{V0} \geq 80$ dB, $A_{V0} \geq 81,5$ dB,	
$A_{V0} \geq 75$ dB.	
$U_0 = 14,9$ až $-14$ V, $U_0 = 14,9$ až $-14,8$ V, $U_0 = 9,8$ až $-9,0$ V;	
$U_0 = 14,9$ až $-12,5$ V, $U_0 = 14,9$ až $-14$ V, $U_0 = 14,0$ až $-11,5$ V;	
$U_0 = 9,8$ až $-8,0$ V.	
$A_{V0} \geq 70$ dB,	
$A_{V0} \geq 65$ dB.	
$U_{IO} = 4,9$ až $-4,0$ V, $U_{IO} = 4,8$ až $-4,0$ V.	
$U_{IO} \leq 0,2$ V, $U_{IO} \leq 1,0$ V.	
$CMR \geq 65$ dB,	
$CMR \geq 60$ dB,	
$CMR \geq 60$ dB.	
$SVR \leq 100$ μV/V, $SVR \leq 200$ μV/V;	
$SVR \leq 200$ μV/V.	
$I_{OR} \leq 100$ μA, $I_{OR} \leq 10$ μA.	



Obr. 119. Funkční skupinové zapojení operačních zesilovačů B2761D, B2765D se dvěma systémy

Mezizesilovači stupeň se skládá ze dvou tranzistorů, které zajišťují invertující i neinvertující funkci. Mezizesilovači stupeň je shodný u všech popisovaných zesilovačů řady 761.

Výstupní zesilovač operačních zesilovačů je podle typu obvodu buď v Darlingtonovém zapojení nebo je proveden jako výstup slučitelný s logikou TTL. Výstup slučitelný s logikou TTL má rozdeleny kolektory, čímž se dosáhlo menšího výstupního zbytkového napětí. Navíc odpadla vnější kmitočtová kompenzace. Darlingtonový výstup mají kolektory obou tranzistorů navzájem spojeny. Výstupy dvojitých a čtyřnásobných zesilovačů jsou doplněny kondenzátorem s kapacitou 20 pF (kmitočtová kompenzace).

Vnitřní zdroj konstantního napětí vyrábí stabilitu napětí asi 0,6 V pro napájení všech tří zesilovacích stupňů konstantním proudem. Tím je zajištěna nízká dolní hranice pracovního napájecího napětí, malý vliv změn napájecího napětí na charakteristické veličiny a dobrá potláčení vlivu změn napájecího napětí na vstupní napěťovou nesymetrii.

Dvojité a čtyřnásobné operační zesilovače sdružují přesně stejně dva či čtyři systémy na společném čipu. Oba systémy dvojnásobných zesilovačů napájí společný zdroj konstantního napětí podle obr. 119. Čtyřnásobný zesilovač je ze dvou shodných úplných dvojitých zesilovačů (tedy monolitický systém dvou zesilovačů podle obr. 119). Kompenzační kondenzátory pro kmitočtovou kompenzaci jsou v obou případech integrovány přímo na čipu součástky.

Jak již bylo uvedeno, všechny typy operačních zesilovačů řady 761 jsou vybaveny

výstupem s otevřeným kolektorem. Proto se musí vždy zapojit rezistor mezi výstup a kladné napájecí napětí. Možnost vzájemného spojení výstupů několika zesilovačů přináší celou řadu zajímavých praktických zapojení, které s jinými druhy operačních zesilovačů nejsou možné.

Mezní údaje operačních zesilovačů řady 761 jsou uvedeny ve společné tab. 36, charakteristické údaje v tab. 37. Výrobní podnik vyrábí méně jakostní operační zesilovače všech popsaných typů pro amatérskou potřebu, označuje je na konci typového znaku S1 (např. B761DS1) a prodává je v sáčcích (např. v sáčku č. 13) v odborných prodejnách součástek v NDR. Elektrické údaje těchto operačních zesilovačů jsou v tab. 38.

Zapojení vývodů jednotlivých typů zesilovačů je na obr. 114 až 117. Funkce vývodů: -I – invertující vstup, +I – neinvertující vstup, KOMP f – přípoj vnitřního kompenzačního člena pro kmitočtovou kompenzací výstupu (kondenzátor s kapacitou 22 pF), R – přípoj vnějšího rezistoru (s odporem 6,8 kΩ) pro napájení kolektoru tranzistoru T<sub>8</sub> ve výstupním stupni pouze u typů B611D, B615D, B621D, B625D, +U<sub>CC</sub> – přípoj kladného napájecího napětí, -U<sub>CC</sub> – přípoj záporného napájecího napětí.

#### Provozní doporučení

Jak již bylo uvedeno, mají všechny zesilovače řady 761 výstup s otevřeným kolektorem. Proto se v každém případě musí spojit výstup zesilovače rezistorem R<sub>C</sub> s kladným napájecím napětím podle zapojení na obr. 121. Přitom se musí postupovat tak, aby výstupní proud nepřekročil 70 mA. Větší výstupní proud může zničit integrovaný obvod. Potřebný odpor kolektorového rezistoru R<sub>C</sub> se může vypočítat z provozního napájecího napětí a žádaného výstupního proudu. Jestliže se nevyžaduje velký výstupní proud, může se při napájecím napětí ±15 V použít rezistor s odporem 2 kΩ. Při větších proudech se musí počítat s tím, že v důsledku zvěšeného zbytkového napětí tranzistorů výstupního stupně bude omezen rozsah buditelnosti zesilovače. Horní hranice kolektorového rezistoru je 20 kΩ. Nedodrží-li se, může se zesilovač samovolně rozmítat.

Operační zesilovače B611D, B615D, B621D, B625D s výstupem slučitelným s logikou TTL mají Darlingtonový výstupní stupeň rozdělen. Oba kolektory výstupních tranzistorů jsou vybaveny samostatně. U těchto obvodů se musí kolektor budicího tranzistoru rovněž spojit samostatným rezistorem R s kladným napájecím napětím (viz obr.

121a). Odpor rezistoru R má být 3 až 20 R<sub>C</sub>. Skutečný odpor rezistoru ovlivňuje závislost zbytkového napětí U<sub>BO</sub> při výstupním proudu I<sub>O</sub>. Cím větší bude odpor rezistoru R, tím bude strmější zbytkové napětí (v praxi lze tak ovlivnit rozsah vybuzení při větších výstupních proudech). Pro volbu odporu rezistoru R<sub>C</sub> platí v zásadě stejné podmínky jako u zesilovačů s Darlingtonovým výstupem. Vždy se musí počítat s tím, že proud vývodom R nemá být větší než 10 mA.

Charakteristické vlastnosti popisovaných zesilovačů se v rozsahu dovoleného napájecího napětí změnou přiváděného napětí nijak nezmění. Zásluhu na tom má integrovaný společný zdroj konstantního napětí, který řídí zdroj konstantního proudu pro všechny stupně zesilovače. Nezávisle na této skutečnosti se doporučuje blokovat proti zemi přivedy napájecích napětí kondenzátory s kapacitou 10 až 100 nF a to přímo na integrovaném obvodu.

Operační zesilovače řady 761 nejsou vybaveny vnitřní kompenzací vstupní nesymetrie. Pokud se musí vstupní nesymetrie vyvážit, musí se použít vnější zapojení, kterým se do jednoho z obou vstupů přivádí proud; jako nejvhodnější se osvědčilo použít vstup v předpokládaném zapojení nevyužity.

Návrh vhodného zapojení invertujícího zesilovače je na obr. 122 až 124. První zapojení je obdobou zapojení, používaného ke kompenzací vstupní nesymetrie operačních zesilovačů řady 709. Jednodušší zapojení na obr. 123 používá ke kompenzací pouze jeden odporový trimr 47 kΩ. Rozsah vyvážení vstupní napěťové nesymetrie ±15 mV stačí ke kompenzací všech typů zesilovačů.

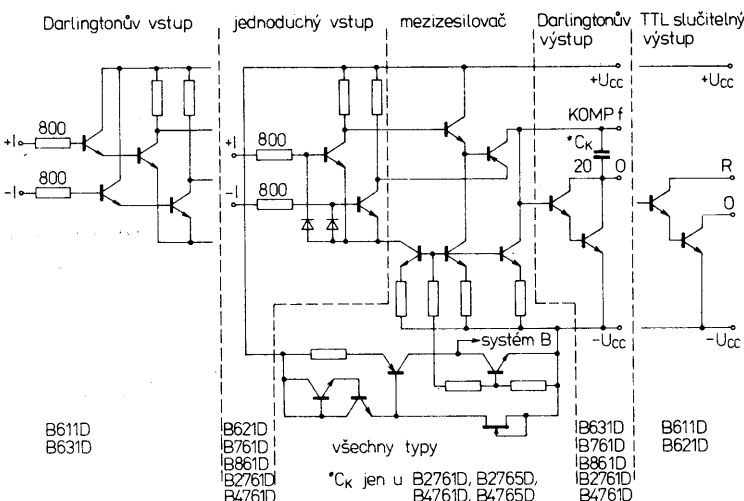
Stejný rozsah vyvážení ±15 V má rovněž další kompenzační zapojení podle obr. 124, u něhož se využívá odporového děliče v neinvertujícím vstupu, ostatní součástky jsou stejné jako v předchozím zapojení.

Vnější kmitočtovou kompenzací je možné zavádět v operačních zesilovačů B761D, B861D, B631D, B635D. K tomu postačí připojit mezi vývod 6 a výstup kondenzátor s kapacitou od 3 pF do 22 pF. Kapacita použitého kompenzačního kondenzátoru ovlivňuje napěťové zesílení napřízdrovnu v závislosti na pracovním kmitočtu operačního zesilovače. Šířka přenášeného pásma bude tím větší, čím menší bude kapacita kompenzačního kondenzátoru. Dolní hranice kapacity 3 pF se nesmí překročit. Informativní závislost zesílení operačních zesilovačů na

Tab. 38. Elektrické údaje operačních zesilovačů řady 761 pro radioamatérskou potřebu (na konci typového znaku označení S1)

Charakteristické údaje	
Plati při ±U <sub>CC</sub> = ±15 V, u B861D S1 ±U <sub>CC</sub> = ±10 V; R <sub>C</sub> = 2 kΩ	
Napájecí napětí B861D S1: B611D S1, B621D S1, B631D S1: B2761D S1, B4761D S1: B761D S1:	±U <sub>CC</sub> = ±1,5 až ±10 V, ±U <sub>CC</sub> = ±2,0 až ±15 V, ±U <sub>CC</sub> = ±2,0 až ±15 V, ±U <sub>CC</sub> = ±1,5 až ±18 V.
Výstupní proud všechny typy:	I <sub>O</sub> ≤ 70 mA.
Vstupní napěťová nesymetrie B761D S1, B2761D S1, B4761D S1: U <sub>IO</sub> ≤ 6 mV, B621D S1: U <sub>IO</sub> ≤ 7,5 mV, B861D S1: U <sub>IO</sub> ≤ 10 mV, B611D S1, B631D S1: U <sub>IO</sub> ≤ 15 mV.	
Vstupní proudová nesymetrie B761D S1, B861D S1, B621D S1: I <sub>IO</sub> ≤ 300 nA, B2761D S1, B4761D S1, B611D S1: B631D S1: I <sub>IO</sub> ≤ 25 nA.	

Vstupní klidový proud B761D S1, B861D S1, B621D S1: I <sub>B</sub> ≤ 1 μA, B2761D S1, B4761D S1, B611D S1: B631D S1:	I <sub>B</sub> ≤ 0,05 μA.
Napěťové zesílení při velkém signálu B861D S1: B761D S1: B2761D S1, B4761D S1: B611D S1, B621D S1, B631D S1:	A <sub>u</sub> ≥ 5600 A <sub>u</sub> ≥ 11 800, A <sub>u</sub> ≥ 10 000, A <sub>u</sub> ≥ 5600.
Rozsah vybuzení výstupního napětí B761D S1, B2761D S1, B4761D S1, B631D S1: B611D S1, B621D S1: B861D S1:	U <sub>O</sub> = 14,9 až -13,8 V,  U <sub>O</sub> = 14,9 až -14,6 V,  U <sub>O</sub> = 9,8 až -7,5 V.
Potlačení vlivu změn napájecího napětí na vstupní nesymetrii B2761D S1, B4761D S1: ostatní typy:	SVR ≤ 100 μV/V, SVR ≤ 200 μV/V.
Potlačení souhlasného napěti B861D S1, B611D S1, B621D S1, B631D S1: B761D S1, B2761D S1, B4761D S1:	CMR ≤ 1000, CMR ≤ 1700.
Napájecí proud B861D S1, B27761D S1: B4761D S1: ostatní typy:	I <sub>CC</sub> ≤ 1,5 mA, I <sub>CC</sub> ≤ 3,0 mA, I <sub>CC</sub> ≤ 2,5 mA.



Obr. 120. Vnitřní elektrické zapojení operačních zesilovačů řady 761

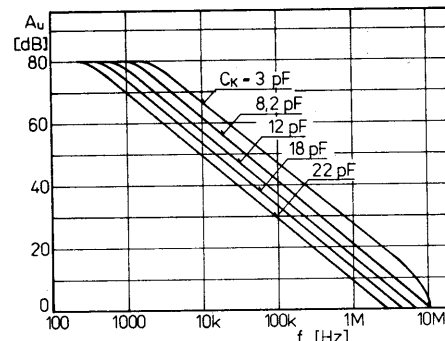
pracovním kmitočtu při různých kompenzačních kapacitách je na obr. 125.

Dvojitě a čtyřnásobně operační zesilovače mají šířku přenášeného pásma pevně dánou vestavěným kompenzačním kondenzátorem 20 pF, který do jisté míry omezuje možnosti jejich použití. Při malém zesílení se může vyskytovat nezádoucí rozkmitání na kmitočtu okolo 2 MHz. Pracují-li tyto operační zesilovače s malým signálem, postačí zmenšit odpor rezistoru  $R_C$ , čímž se zvětší výstupní proud. Přídavné opatření k potlačení rozkmitání zesilovače je nutné tehdy, nemá-li zvětšení výstupního proudu předpokládaný účinek, nebo není-li zvětšení proudu žádoucí. Nutno je rovněž přídavné potlačení možnosti rozkmitání, pracuje-li operační zesilovač s velkým signálem. Jako spolehlivé se osvědčilo připojení útlumového členu RC mezi vstupy operačního zesilovače podle obr. 126. Toto opatření je vhodné ke kompenzaci zesilovače, který pracuje s malým zesílením. Rezistory  $R_1$ ,  $R_2$  mohou mít libovolný odpór. Výzadujeme-li odpór téhoto rezistoru větší než 5 k $\Omega$ , musí se použít ke kompenzaci vstupů dva kondenzátory s kapacitou 18 pF, zapojené podle obr. 127.

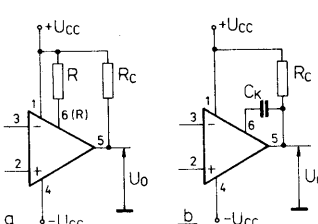
Zvláštní případ zapojení operačního zesilovače představuje napěťový sledovač (má zisk 0 dB). Používá se jako impedanční převodník s velkým vstupním odporem a malým výstupním odporem. Použije-li se dvojitý operační zesilovač B2761D jako napěťový sledovač, je nezbytné použít k potlačení samovolného rozkmitání zesilovače, pracujícího s velkým signálem, zapojení podle obr. 128. Na obrázku je znázorněna úprava jednoho systému. Stejná úprava se musí použít též v druhém systému. Na uvedené zapojení nemá žádný vliv ani nesymetrické napájecí napětí.

Vnitřní kmitočtová kompenzace dvojitých a čtyřnásobných operačních zesilovačů B2761D a B4761D umožňuje používat je v nízkofrekvenčních zapojeních, pracujících s velkým signálem. Podstatnou úlohu v nich však hraje vnitřní šum a zkreslení, které žádný z výrobců uvedených součástek neuvedl a nezararuje. Ekviwalentní vstupní šumové napětí je při odporu zdroje budicího signálu 2,5 k $\Omega$  v příslušném měřeném vstupu asi 1,5  $\mu$ V v kmitočtovém rozsahu od 300 Hz do 1500 Hz. Je-li odpór zdroje signálu menší, např. 100  $\Omega$ , zmenší se též šumové napětí asi na 0,7  $\mu$ V.

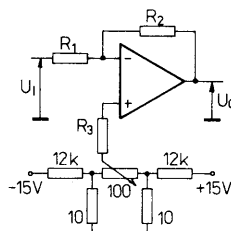
Operační zesilovače s Darlingtonovým vstupem se vyznačují díky vstupnímu zapojení větším typickým vstupním šumovým napětím, které je asi 8,5  $\mu$ V při odporu zdroje vstupního signálu 1,5 k $\Omega$ . Rovněž zkreslení je u nich rozhodující veličinou. Optimální



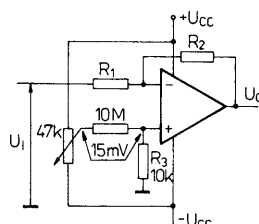
Obr. 125. Závislost napěťového zesílení operačních zesilovačů B761D, B765D, B861D, B865D v závislosti na provozním kmitočtu při různých kapacitách kompenzačního kondenzátoru



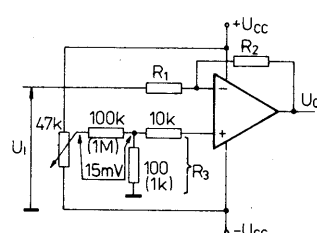
Obr. 121. a) Úplné vnější zapojení nekompenzovaných operačních zesilovačů s otevřeným kolektorem B611D, B615D, B621D, B625D,  
b) všech ostatních typů řady 761



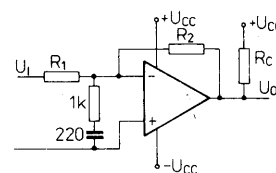
Obr. 122. Způsob vyvážení vstupní nesymetrie operačních zesilovačů řady 761



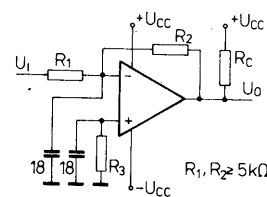
Obr. 123. Jednodušší způsob vyvážení vstupní nesymetrie operačních zesilovačů řady 761 v rozsahu  $\pm 15$  mV



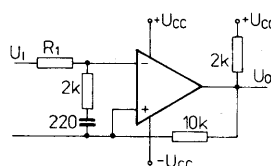
Obr. 124. Upravené zapojení způsobu vyvážení vstupní nesymetrie s rezistorovým dělícím v neinvertujícím vstupu



Obr. 126. Zapojení útlumového členu RC ve vstupu pro potlačení samovolného rozkmitání operačního zesilovače, pracujícího s malým zesílením



Obr. 127. Zapojení útlumového členu RC ve vstupu s potlačením samovolného rozkmitání operačního zesilovače, pracujícího s velkým signálem



Obr. 128. Úprava zapojení operačního zesilovače B2761D, B2765D k potlačení nežádoucího rozkmitání v provozu jako napěťový sledovač

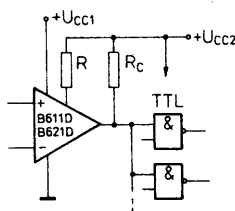
zkreslení je závislé na zesílení, které se musí volit tak, aby signál nebyl omezován při plném vybuzení.

Podstatnou úlohu při použití operačních zesilovačů ve spinacích zapojeních hraje rychlosť přeběhu. Tato veličina je závislá na kompenzační kapacitě. Se zvětšující se kapacitou se rychlosť přeběhu zmenšuje. Při kompenzační kapacitě 10 pF je asi 1 V/ $\mu$ s. V praxi to znamená, že při vybuzení zesilovače poměrně strmým signálem se změní výstupní napětí o 1 V za dobu 1  $\mu$ s. S větší kompenzační kapacitou 18 pF se zmenší rychlosť přeběhu na 0,7 V/ $\mu$ s. Naopak s nejmenší možnou kapacitou 1 pF se zvětší asi

na  $6 \text{ V}/\mu\text{s}$ , při též nulové kapacitě dosáhne velikost  $12 \text{ V}/\mu\text{s}$ . Volba vhodné kompenzační kapacity je ve spinacím provozu velmi důležitá k dosažení nejoptimálnějších pracovních podmínek.

Operační zesilovače B611D, B615D, B621D, B625D, vybavené výstupem slučitelným s logikou TTL, nelze kmitočtově kompenzovat. Jejich hlavní použití je jako komparátor a klopny obvod. Rychlosť přeběhu u nich dosahuje až  $19 \text{ V}/\mu\text{s}$ . Jejich zvláštní vlastnosti dovolují přímo řídit integrované obvody TTL. Zesílení uvedených zesilovačů musí být v provozu větší než  $60 \text{ dB}$ , jinak se mohou samovolně rozmítat. Rozdělení koléktoru tranzistoru v Darlingtonově výstupním stupni způsobuje menší zbytkové napětí, než u jiných typů popisovaných součástek. Protože zbytkové napětí odpovídá saturovánímu napětí, je zaručena použitelnost logiky TTL i při malém napájecím napětí.

Zbytkové napětí výstupu závisí na odporu rezistoru  $R$ . Cílem je odpor rezistoru větší, tím strměji probíhá závislost zbytkového napětí na vstupním proudu. Základní zapojení zesilovačů B611D a B621D ve spolupráci s logicími členy TTL je na obr. 129. Maximální



Obr. 129. Zapojení operačního zesilovače B611D, B615D, B621D, B625D ve spojení s logickými obvody TTL

proud tranzistoru výstupního stupně operačního zesilovače se zásadně nesmí překročit. Maximální zatěžovací činitel výstupu při malém signálu je dán vztahem

$$N = (I_{OL} - U_{CC2}/R_C)/I_{IL};$$

kde  $I_{OL}$  je maximální výstupní proud při signálu s úrovňí L,  $I_{IL}$  vstupní proud logického členu TTL při signálu s úrovňí L,  $U_{CC2}$  napájecí napětí logického členu TTL,  $R_C$  odpór rezistoru, spojujícího výstup operačního zesilovače s kladným napájecím napětím.

Odpor rezistoru  $R_C$  se musí volit podle počtu  $N$  připojených logických členů TTL, aby vznikl signál s úrovni H nejméně  $+2,4 \text{ V}$ . Volbu rezistoru usnadní vztah

$$R_C \leq (U_{CC2} - U_{IH}) / (I_{OH} + NI_{IH}),$$

kde  $I_{IH}$  je vstupní proud logických členů TTL,  $I_{OH}$  vstupní proud operačního zesilovače,  $N$  počet připojených logických členů.

Skutečný odpor rezistoru  $R_C$  se má volit v rozsahu od  $3R_C$  do  $20R_C$ . Protékající proud do výstupu nemá překročit  $10 \text{ mA}$ . Vstupní signály nesmí mít proti zemi napětí menší než je dovolená minimální velikost. Pracovní podmínky pro spolupracující logiku CMOS, DTL či RTL lze upravit obdobným způsobem.

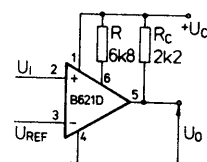
U dvojitých operačních zesilovačů B2761D a B2765D je zaručen přeslech mezi kanály typicky 110 až 120 dB (měřený na kmitočtu 1 kHz při neomezovaném provo-

zu). Při kladném omezování jednoho kanálu se u dvojitých operačních zesilovačů ve druhém kanálu posouvá přenosová charakteristika (až o několik set  $\mu\text{V}$ ). Projevuje se to zmenšením zisku až o 3 dB a posunutím vstupní napěťové nesymetrie až o 1 mV. Uvedená vazba je závislá na závislosti.

Provozní doporučení pro čtyřnásobné operační zesilovače B4761D a B4765D jsou stejná jako u dvojitých zesilovačů B2761D a B2765D. Vazba mezi kanály může nastat mezi zesilovacími systémy A a D, popřípadě B a C. Přeslech v typu B4765D je menší než v typu B4761D.

### Doporučená zapojení

Komparátor s operačním zesilovačem B621D v zapojení podle obr. 130 je typickým příkladem využití zesilovačů s výstupem slučitelným s obvody TTL. Na invertující vstup se přivádí referenční napětí  $U_{REF}$ . Je-li toto napětí kladné a větší než právě přiváděný signál na neinvertující vstup  $U_I$ , je na výstupu komparátoru pouze zbytkové napětí. Jeho velikost závisí na velikosti napájecího napětí a rezistoru  $R_C$  (v našem případě je velmi malé, asi 0,2 V). Jestliže vstupní napětí překročí velikost referenčního napětí asi o 3 až 5 mV, sepne výstup komparátoru na napětí



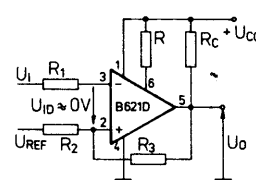
Obr. 130. Operační zesilovače B621D, B625D jako komparátor

bližké napájecímu napětí  $+U_{CC}$ , pokud výstupní zatěžovací proud neovlivní tuto velikost. Při menším vstupním signálu než má referenční napětí je na výstupu komparátoru jakýsi mezistav, který je ovlivňován šumem a jinými rušivými napěti. K dosažení výstupního napěti velikosti  $+U_{CC}$  se musí splnit podmínka

$$U_I - U_{REF} \geq U_{CC}/A_u.$$

Při zesílení  $A_u = 5000$  a napětí  $U_{CC} = 5000 \text{ mV}$  je nutné minimální napětí 1 mV. K rychlému přepínání do jiného stavu se musí toto minimální napětí rychle zvětšit.

Charakteristiku překlápní, při níž se překročení referenčního napětí vstupním napětím využívá ke spouštění výstupního napětí z jednoho do druhého stavu, využívá zapojení klopného obvodu podle obr. 131. Při



Obr. 131. Invertující Schmittův klopny obvod s operačním zesilovačem B621D, B625D

vstupním napětím menším než je referenční napětí je výstupní napětí přibližně rovnou napájecímu napětí  $U_{CC}$ . Velikost výstupního napěti rovného napájecímu napětí se však na výstupu nedosáhne ani při chodu naprázdno, neboť  $R_C$  spolu s rezistory  $R_3$  a  $R_2$  tvoří napěťový dělič, připojený k referenčnímu napětí. Na neinvertujícím vstupu vznikne v závislosti na velikosti napětí  $U_O$

a  $U_{REF}$  a poměru odporů rezistorů  $R_2$  a  $R_3$  vztahné napětí  $U_{I+}$ . Překročí-li vstupní napětí  $U_I$  napětí  $U_{I+}$ , změní se skokem výstupní napětí zpět na velikost zbytkového napětí. Je to způsobeno tím, že od bodu překlopení zmenšující se napětí zmenší účinné napětí na neinvertujícím vstupu. Proto smí být vstupní napětí menší o velikost danou poměrem  $R_2/(R_2 + R_3)$  doby, než se zapojení překlopi na velké výstupní napětí. Přitom se na neinvertujícím vstupu opět zvětší výstupní napětí, rovněž se zvětší výstupní napětí. Popsaný klopny obvod pracuje s určitou hysterezí překlápní. Tuto hysterezí ovlivňuje pouze oba rezistory, nikoli referenční napětí. Změna velikosti referenčního napětí posune ve stejném směru pouze oba body překlápní. Např. při referenčním napětí 0 V bude vstupní napětí na invertujícím vstupu dán vztahem

$$U_{I+} = U_O \frac{R_2}{R_2 + R_3}.$$

Uvedený vztah platí pouze tak dlouho, pokud se nepřekročí diskutované hranice komparátoru.

Dodrží-li se podmínka  $R_2 + R_3 \geq 100R_C$  lze vypočítat ze zjednodušených vztahů (při zanedbání zbytkového napětí) horní a dolní vstupní napětí invertujícího vstupu a odtud též hysterezi popsaného invertujícího klopného obvodu

$$U_{I+(H)} \approx U_O \frac{R_2}{R_3 + R_2} + \frac{R_3}{R_3 + R_2},$$

$$U_{I+(L)} \approx U_{REF} \frac{R_3}{R_3 + R_2},$$

$$U_{HYS} = U_{I+(H)} - U_{I+(L)} \approx U_O \frac{R_2}{R_3 + R_2}.$$

Protože výstupní napětí  $U_O$  je v každém případě závislé na napájecím napětí  $U_{CC}$ , je na něm závislá rovněž hystereze. Má-li být spinací bod přes změny napájecího napětí konstantní a závislý pouze na referenčním napětí, musí se stabilizovat napětí zpět přiváděné v úrovni H – v praxi lze doplnit zapojení na obr. 131 stabilizační Zenerovou diodou, která se připojí katodou k výstupu, anodou na zemní potenciál. Vhodný typ dioda k tomuto účelu je KZ141 nebo SZX21/5V1 z NDR.

S několika malými pasivními součástkami a dvojitým operačním zesilovačem B2761D je možné sestavit kontrolní zapojení úrovně napětí s dvoubodovým zobrazením. V běžných zapojeních tohoto typu napěťové kontroly se rozsvěcují světelné diody při dosažení napětí na dolní a horní nastavené úrovni. Kontrolní zapojení podle obr. 132 je proti nim obohaceno o periodické blikání v okamžiku, kdy kontrolované napětí dosáhne určité hranice (v navrženém zapojení je přechodový rozsah 100 mV).

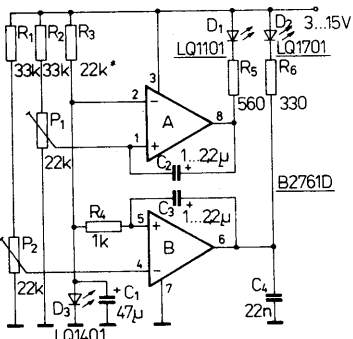
Společný zdroj referenčního napětí má jednu světelnou diodu. Nastaví-li se u ní příslušně větší proud, získáme navíc možnost kontroly zapínání. Smysl tohoto uspořádání závisí na kapacitě a podmírkách použití kontrolovaného zdroje napětí, neboť klidový proud je řádově přibližně stejný jako signální proud, avšak protéká vždy pouze v případě vydávání signálu. Protože je v zapojení využito světelných diod se třemi různými barvami světla ( $D_1$  červená,  $D_2$  zelená,  $D_3$  žlutá), může se kontrolní zapojení používat též ke kontrole napětí palubní sítě v automobilu. Popsané zapojení se napájí jedním

# **KIKUSUI** Oscilloscopes

*Superior in Quality,  
first class in Performance!*

*Phoenix Praha A.S., Ing. Havlíček, Tel.: (2) 69 22 906*

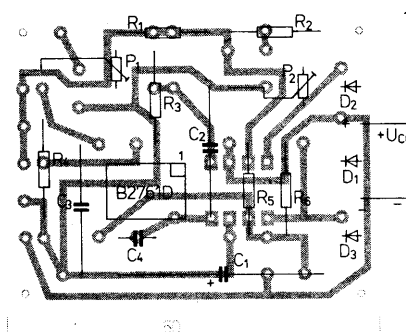
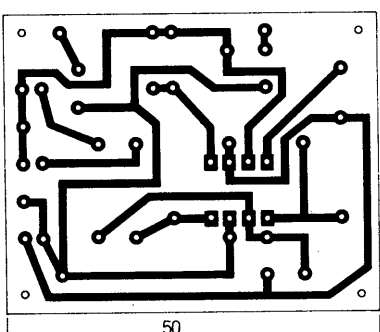
**elsinco**



Obr. 132. Zapojení pro dvoubodovou kontrolu napětí s dvojitým operačním zesilovačem B2761D.

Kladným napětím v rozsahu od 3 V do 15 V. Hranice dolního bodu kontrolovaného napětí se nastavuje odpovědným trimrem  $P_1$ , horního bodu napětí trimrem  $P_2$ . Při jiném napětí než 12 V se musí přizpůsobit odpor rezistorů předřazených světelným diodám tak, aby diodami protékající proud odpovídá výrobcem stanovenému pracovnímu proudu. Použit se mohou jakékoli světelné diody, které jsou na našem trhu (např. LQ1101, LQ1701, LQ1401). Použité odpovorové trimry jsou typu TESLA TP 112.

K usnadnění praktického zhotovení po-  
psaného kontrolního zapojení je na obr.  
133a deska s plošnými spoji, na obr. 133b  
rozmístění součástek na desce s plošnými  
spoji



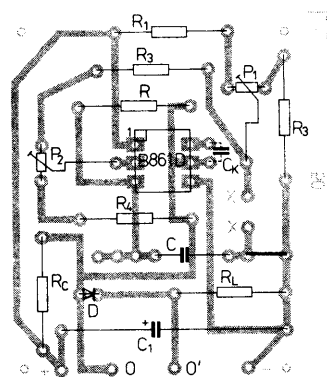
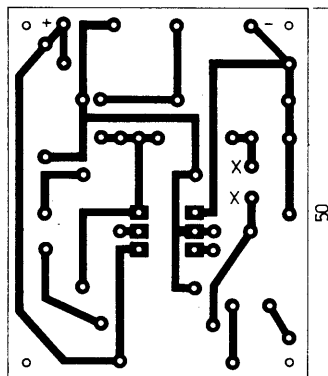
Obr. 133. a) deska s plošnými spoji X209 zapojení pro dvoubodovou kontrolu napětí podle obr. 132, b) rozmištění součástek na desce s plošnými spoji

Jestliže se vypustí čtyři kondenzátory ( $C_1$  až  $C_4$ ) a rezistor  $R_1$  ze vstupu indikátoru přepětí k referenčnímu napětí, zapojení se zjednoduší a rozsvícená dioda  $D_1$  indikuje pokles napětí, rozsvícená  $D_2$  překročení nastaveného napětí.

Jiné praktické zapojení na obr. 134 představuje generátor pravoúhlého signálu s operačním zesilovačem B861D, napájený jedním kladným napětím, jak tomu zpravidla bývá v přístrojích napájených z baterií. Zapojení bylo vyzkoušeno s napájecím napětím v rozsahu 2,8 V až 9 V. Při vyšším kmitočtu se zhoršuje s klesajícím napětím náběhová strmost. Potenciometrem  $P_1$  se nastavuje napětí („pracovní bod“) přibližně na velikost  $U_{C1}/2$ .

pájecím napětím 3,9 V až 7,5 V se změní kmitočet asi o  $\pm 2\%$  (vyšší kmitočet je při větším napětí a naopak). Protože použitý kondenzátor C může mít podstatně menší kapacitu než 10 nF, může se podstatně rozšířit možnost využití generátoru v akustickém rozsahu. Poměrně malý odpor zpětnovazebního rezistoru dovoluje použít elektrolytický kondenzátor, který je v jiných zapojeních sotva použitelný (svodový proud).

Na obr. 135a je k dispozici výkres desky



Obr. 134. Generátor pravoúhlého signálu s operačním zesilovačem B861D

U popsaného zapojení není možnost nastavovat klíčovací poměr výstupního signálu, proto se musí volit kompromis. Posunutím pracovního bodu (trimrem  $P_1$ ) se zvolí vhodný kompromis, pak se nastaví pracovní kmitočet. Opačným postupem se v každém případě mění kmitočet generátoru. Proto je generátor vhodný tam, kde se nevyžadují žádné změny nastavených veličin nebo kde při prvním klíčovacím poměru se mění jen kmitočet. Při příliš vysokém nastaveném kmitočtu vysadi oscilace generátoru, neboť zpětnovazební napětí bude příliš malé. Použije-li se k napájení generátoru napětí 5 V, oscilace generátoru budou spolehlivé ještě v hranicích vstupního napětí vůči zemi od 4,5 V do 0,8 V.

Klíčovací poměr v rozsahu kmitočtu závisí především na kvalitě použitých odporových trimrů. Musí se volit trimry s takovým odporem, aby se nastavená velikost odporu přibližovala krajním polohám běžečky. Vhodný typ rezistorových trimrů jsou součástky TESLA TP 112.

Zpojení na obr. 134 má tyto technické vlastnosti: Při napájecím napětí od 2,7 V do 9 V je napájecí proud 1,3 mA až 2,7 mA. Zbytkové napětí výstupu bez diody je 0,8 V, s diodou D (např. KA206) a zatěžovacím rezistorem  $R_L$  10 k $\Omega$  je asi 0,1 V. Impulsní poměr je nastavitelný v rozsahu 0,1 až 0,9. Kmitočet je nastavitelný v rozsahu akustických kmitočtů 1:10 bez změny kapacity kondenzátoru C.

V napěťovém rozsahu napájení logiky TTL napětím  $5\text{ V} \pm 5\%$  byla naměřena napěťově závislá změna kmitočtu asi  $0,5\%$  při kmitočtu  $3\text{ kHz}$  (symetrický signál). Mezi na-

Obr. 135. a) deska s plošnými spoji X210 generátoru pravoúhlého signálu podle obr. 134, b) rozmístění součástek na desce s plošnými spoji.

s plošnými spoji, na obr. 135b rozmístění součátek na desce s plošnými spoji. Vývod kondenzátoru C se musí v bodě X spojit drátovým spojem se záporným pólem napájecího napětí.

Protože odpór rezistoru R a kapacita kondenzátoru C se mohou v popsaném zapojení měnit v poměrně širokém rozsahu, může se popsaný modul generátoru použít k nejrůznějším účelům i v kmitočtovém rozsahu pod 1 Hz, např. pro blikáče, časové řídicí a spínací obvody apod. Ovšem k tomu ještě upozornění! Kmitočtový rozsah generátoru je určen členem  $RC$ . Posunutím hodin spojuš-

tění potenciometrem  $P_2$  kmitá generátor podle nastaveného rozsahu nabíjecího napětí kondenzátoru C.

Přepojením kondenzátoru C ve styčném bodě X ze zemního potenciálu na běžec potenciometru  $P_1$  (slouží k nastavení pracovního bodu) se podstatně zvětší nastavitelný kmitočtový rozsah generátoru bez změny kapacity kondenzátoru C. Úprava je jednoduchá: přepojí se drátový spoj tak, aby byly spojeny oba styčné body X. Změna

kmitočtového rozsahu je značná. Z původního rozsahu 300 Hz až 3 kHz se rozšíří asi na 300 Hz až 14 kHz. V obou případech kmitočet generátoru závisí na nastaveném pracovním bodě. Nejvyšší kmitočet je dán poměrem  $U_{cc}/2$ , podle směru změny se zvětší šířka impulsu nebo odstup mezi impulsy.

K dosažení velké rychlosti přeběhu se v popsaném zapojení nepoužívá kompenzační kondenzátor  $C_K$  (na obr. 134 a 135 je

zakreslen čárkován). Jestliže se jako kompenzační kondenzátor  $C_K$  použije kondenzátor s kapacitou např. 10 nF, bude na výstupu generátoru signál s pilovitým průběhem a nižším kmitočtem. Tvar výstupního signálu se nedá libovolně měnit. S vyšším kmitočtem se rychle zmenšuje amplituda signálu. Při určitém kmitočtu, ovlivňovaném členem  $RC$ , vznikne sinusový signál s konstantní amplitudou.

(Příště OZ s FET)

# VÝSLEDKY KONKURSU AR'88

Ze dvaceti devíti konstrukcemi, přijatých do loňského ročníku Konkursu, vybrala hodnotící komise (ve složení: předseda — Doc. Ing. J. Vackář, CSc.; zástupce předsedy — Ing. Jan Klabal, šéfredaktor AR; členové — Ing. František Hanáček, Dr. Antonín Glanc, RNDr. Ladislav Kryška, CSc., Ing. J. T. Hyun, Ing. Přemysl Engel) celkem dvacet.

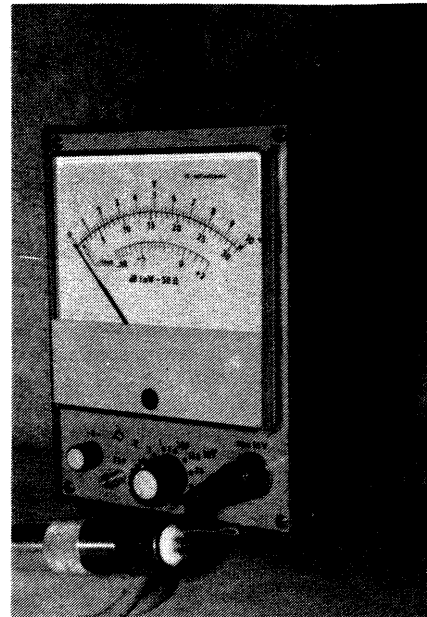
Namísto věcných cen, které nebyly redakci dodány, zajistil podnik Vydavatelství Naše vojsko peněžní poukázky na odběr zboží v obchodních domech.

O celkovém pořadí a výši odměn rozhodla komise na závěrečném jednání dne 25. 11. 1988 takto:

<b>Palubní počítač</b>	Ing. Petr Kessner, Šlapanice	2600 Kčs
<b>Jednotka kmitočtové syntézy pro přijímač FM</b>	Ing. Jan Vomela, Brno	
<b>Elektronický variometr pro závesné létání</b>	Pavel Kotráš, Štířín	2200 Kčs
<b>Elektronický anemometr</b>		
<b>Infrazávora</b>	Ing. Vladimír Rosol, Úhřetice	1600 Kčs
<b>Kalibrátor osciloskopov</b>	Karel Hyngar, Ústí nad Labem	1100 Kčs
<b>Telekomunikační zařízení mimo jednotnou tel. síť</b>	Jiří Kadlec, Havířov	1100 Kčs
<b>Stabilizované zdroje KAZ</b>	Rudolf Bečka, Nižná	1000 Kčs
<b>Měřič intenzity signálu</b>	Jan Hinze, Ostrava	1000 Kčs
<b>Ing. Petr Zeman, Brno</b>		1000 Kčs
<b>Impulsní zdroj IZ-300</b>	Ing. Libor Kasl, Plzeň	700 Kčs
<b>AUTOTEST</b>	Ing. Jiří Kuncl, Praha 6	
<b>Vysokofrekvenční milivoltmetr „300 M 85“</b>	Jaroslav Chochola, Brno	600 Kčs
<b>Pulser TTL</b>	Ing. Jaroslav Vomela, Brno	600 Kčs
<b>Jednoduchý vf generátor 700 Hz — 35 MHz</b>	Bohumil Novotný, Pardubice	600 Kčs
<b>Zkoušeč tranzistorů a diod</b>	Lubomír Pikušák, Praha 4	500 Kčs
<b>Stereofonní zesilovač NF</b>	Josef Šmíd, Praha 3	500 Kčs
<b>Časovač pozitivního procesu</b>	Petr Matuška, Brno	400 Kčs
<b>Měřič elektrolytických kondenzátorů</b>	Ing. Vojtěch Skřivan, Prachatice	400 Kčs
<b>Nabíječ akumulátorů</b>	Josef Gabrhelík, Napajedla	400 Kčs
<b>Harmonický zvonek VZC 910</b>	Ing. Jaroslav Belza, Praha 10	300 Kčs
	František Krajča, Mezihoří	300 Kčs
	Jiří Vodrážka, Praha 4	200 Kčs

S některými konstrukcemi vás seznamujeme v tomto čísle na fotografích, prakticky všechny budou postupně uveřejnovány v AR řady A od čísla 5/1989.

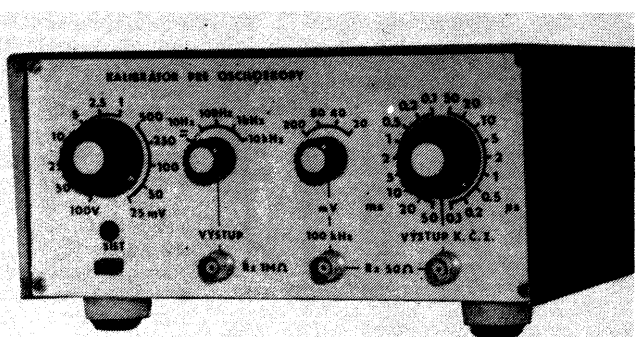
Všem, kteří zaslali do soutěže své příspěvky, děkujeme za účast, odměněným blahopřejeme a těšíme se na letošní nový, jedenadvacátý ročník Konkursu. Jeho podmínky byly uveřejněny v AR č. 4, opakujeme je na další straně, a věřme, že opět přinese řadu nových nápadů a zajímavých konstrukcí pro všechny čtenáře AR.



Vf milivoltmetr „300 M 85“ Bohumila Novotného



Palubní počítač pro automobily, autoři ing. Petr Kessner a ing. Jaroslav Vomela



Kalibrátor osciloskopů, autor Rudolf Bečka

# Anritsu Instruments

World Leader in  
Optical Fiber Measurement Technology  
Phoenix Praha A.S., Ing. Havlíček, Tel.: (2) 69 22 906

ELSiNCO

## Mezinárodní a meziměstská telefonní a telegrafní ústředna

v Praze 3, Olšanská 6

přijme

techniky – inženýry pro vývoj a údržbu SW telekomunikačních zařízení.

Platové zařazení: podle ZEUMS II, podle dosaženého vzdělání a praxe, tř. 10–12 + osobní ohodnocení + prémie.

Pro mimopražské pracovníky zajistíme ubytování.

Informace osobně, písemně i telefonicky na č. telefonu 714 26 75, 27 28 53.

## Podmínky Konkursu AR 1989

Pro letošní rok platí přibližně stejná pravidla jako pro rok minulý:

V platnosti zůstává základní tematická náplň — budou přijímány konstrukce, netýkající se výpočetní techniky — pro ty je vyhrazena samostatná soutěž stejně jako loni.

Přihlášené konstrukce budou posuzovány zejména z hlediska jejich původnosti, nápaditosti, technického provedení, vtipnosti a především účelnosti a použitelnosti.

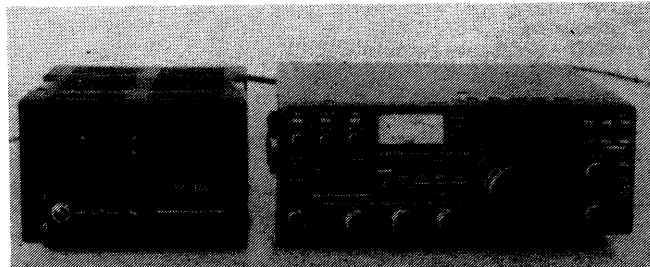
Do konkursu budou přijímány libovolné konstrukce elektronických zařízení (kromě zařízení z oblasti výpočetní techniky) bez ohledu na to, zda jsou jednoduché či složitější. V této souvislosti prosíme naše čtenáře, aby do konkursu nezasílali takové konstrukce, které se již na první pohled zcela vymykají z možností amatérské reprodukovatelnosti, anebo takové, jejichž pořizovací náklady dosahují tisícových částek.

### Podmínky konkursu

1. Konkurs je neanonymní a může se ho zúčastnit každý občan ČSSR. Dokumentace musí být označena jménem a adresou a případně i dalšími údaji, které by umožnily v případě potřeby vejít s přihlášeným účastníkem co nejrychleji do styku.
2. V přihlášených konstrukcích musí být použity výhradně součástky dostupné v naší obchodní síti, a to

- i součástky, dovážené ze zemí RVHP.
3. Přihláška do konkursu musí být zaslána do 5. září 1989 a musí obsahovat:
  - a) schéma zapojení,
  - b) výkresy desek s plošnými spoji,
  - c) fotografie vnitřního i vnějšího provedení, minimální rozměr 9 × 12 cm,
  - d) podrobný popis přihlášené konstrukce. V úvodu musí být stručně uvedeno, k jakému účelu má konstrukce sloužit (případně se zdůvodněním koncepce) a shrnutý jeho základní technické údaje.
  - e) V případě, že jde o společnou práci dvou nebo více autorů, uveďte, v jakém poměru se na konstrukci podíleli; v uvedeném poměru bude rozpočítána cena či odměna, pokud bude za příslušnou konstrukci udělena.
4. Textová část musí být napsána strojem (30 řádků po 60 úhozech), výkresy mohou být na obyčejném papíře a kresleny tužkou, kuličkovou tužkou nebo jinak, ale tak, aby byly přehledné (všechny výkresy jsou v redakci překreslovány). Výkresy i fotografie musí být očíslovány (obr. 1 atd.) a v textu na ně musí být odkazy. Na konci textové části musí být uveden seznam použitých součástek a všechny texty pod jednotlivé obrázky.

Inpulsní zdroj  
IZ 300,  
autor  
Jaroslav Chochola



5. Přihlášeny mohou být pouze takové konstrukce, které dosud nebyly v ČSSR publikovány — redakce si přitom vyhrazuje právo jejich zveřejnění. Pokud bude konstrukce zveřejněna, bude honorována jako příspěvek bez ohledu na to, zda byla či nebyla v konkursu odměněna.
6. Neúplné či opožděně zasláne příspěvky nemohou být zařazeny do hodnocení. Příspěvky bude hodnotit komise, ustanovená podle dohody pořadatelů. V případě potřeby si komise vyžaduje posudky specializovaných výzkumných pracovišť. Členové komise jsou z účasti na konkursu vyloučeni.
7. Dokumentace konstrukcí, které nebudou ani odměněny, ani uveřejněny, budou na požádání vráceny.
8. Výsledek konkursu bude odměněným sdělen do 15. prosince 1989 a otištěn v AR-A.

### Odměny

K odměnění úspěšných soutěžních prací má redakce AR ve Vydavatelství Naše vojsko k dispozici celkovou částku 15 000 Kčs. O počtu a výši jednotlivých odměn rozhodne hodnotící komise, přičemž odměna za jednu přihlášenou a oceněnou konstrukci bude v rozmezí od 200 do 3000 Kčs.

Pokud jde o formu, jakou budou odměny autorům poskytovány, nelze zatím v době, kdy soutěžní podmínky uveřejňujeme, podat závaznou informaci.

O tom, jakou formou budou odměny úspěšným účastníkům Konkursu AR předány, přineseme na stránkách AR informaci co nejdříve po tom, kdy bude známo stanovisko příslušných státních finančních institucí.

Redakce

## INZERCE



Inzerci přijímá osobně a poštou Vydatelství Naše vojsko, inzertní oddělení (inzerce ARB Vladislavova 26, 113 66 Praha 1, tel. 26 06 51-9, linka 294. Uzávěrka tohoto čísla byla dne 5. 3. 1989, do kdy jsme museli obdržet úhradu za inzerát. Neopomítejte uvést prodejný cenu, jinak inzerát neuveřejníme. Text inzerátu pište čitelně, aby se předešlo chybám vznikajícím z nečitelnosti předlohy.

### PRODEJ

**BFG65**, Q69, T65 (200, 180, 100); **BB405**, 505B (25); **BF961**, 964, 966, 980, 981 (à 60); **BF199**, 982 (20, 65); **BFR91A**, 90A (75), 92A, 34A, 96 (80); **NE592** (120) a různé TDA, SL, OM, MC, R prodejm nebo vyměním. F. Hudek, Pod Sychrovem 27, 101 00 Praha 10.

**A270D** (15), **IFK120** (80), amat. stroboskop (300), regulátor do akvária (300). V. Drbal, Vydrova 11, 108 00 Praha 10.

**IO ICL7106**, 27128, 27256 (300); **BFR90**, 91 (60, 70). Vše Philips. J. Stehlík, Jižní 1824, 470 01 Česká Lípa.

**Schneider CPC 464 + GT 65** (9800). J. Pánek, Na Petynce 37, 161 00 Praha 6, tel. 35 03 08.

**Osaz. desku tuneru ARA 10/84**, KFY18, KFY46, AF239, KC810, KV611, D23OC, KY130/80, KA262 (300, 8, 6, 12, 15, 6, 10, 0.50, 0.5). V. Javůrek, Okružní 6, 315 03 Plzeň.

**Zosilňovač VKV** – CCIR, OIRT, III.TV, IV.-V.TV s BF961 (à 190), IV.-V.TV s BFT66 + BFR96 (480), výhybka (25), BF961 (50), BFR90, 91, 96 (70). Omámk, Odborárska 1443, 020 01 Púchov.

**Pre Atari XL/XE svetelné pero. Hardware + software** (250). J. Brummer, Vansovej 14/41, 965 01 Žiar nad Hronom.

### KOUPĚ

**Krystaly 7500**, 14 000, 14 500 kHz. Z. Juráš, Dimitrova 133, 284 01 Kutná Hora.

**Tiskárnu vhodnou k C-64** – normální papír A4, V. Burian, Komenského 154, 749 01 Vítkov.

**8255** větší množství. M. Lhotský, Gottwaldova 470, 431 51 Klášterec n. O.

**Čas. Radioamatér** 1920-30, Krátké vlny 1934-38, Československý radiosvět 1927-37, Philips radio 1929-36, Radio 1940-42, Domácí dílna 1920-24, 1928-33, Nová epocha, Vynálezy a pokroky apod. Celé ročníky nebo jednotlivá čísla. S. Vacek, Střekovská 1344, 182 00 Praha 8.

### VÝMĚNA

**Obvody C520D** za různé součástky – nabídněte. Nebo prodám. M. Lhotský, Gottwaldova 470, 431 51 Klášterec n. O.

### RŮZNÉ

**Kdo prodá nebo umožní ofotit schéma** varhan JVC KB-500, případně poradí s přestavbou. Kdo prodá thyratron na časovou základnu osciloskopu nebo má zkušenosti s přestavbou osciloskopu Vilnes. Dobře odměním. P. Šťábel, 696 74 Javorník 220.

### INDIKAČNÍ SVĚTELNÉ ZDROJE

jsou určeny pro světelnovou indikaci určitých stavů nebo změn těchto stavů v elektrických soustavách. Jsou opatřeny světelným zdrojem – vestavěnou doutnavkou. Indikační světelné zdroje lze použít v oblasti spotřebního zboží například v domácích elektrospotřebičích i v elektrických zařízeních, která slouží jako vybavení strojních či investičních celků.

#### ISZ 70 a ISZ 90

se vyrábějí čiré a v barvách žluté, červené a zelené. Připojují se přímo na 220 V nožovými kontakty G 6,3. Jejich tepelná odolnost je 70 a 90 °C.

#### ISZ 150

se vyrábějí čiré, žluté a červené, připojují se přímo na 220 V. Přívody 200 mm jsou opatřeny silikonovými trubičkami. Tepelná odolnost je zvýšena na 150 °C. Životnost všech ISZ je 5000 hodin.

**TESLA** s. p.  
HOLEŠOVICE

Jankovcova 15, 170 04 Praha 7, telefon 87 31

#### Socialistická organizace

koupí

i od jednotlivce prostřednictvím o. p.  
Klenoty 16(32)bitový PC AT/XT.

Informace na telefonním čísle  
231 81 13 Praha.

#### UPOZORNĚNÍ

V AR B2/89 byly otiskeny dvě desky s plošnými spoji, u nichž nebylo uvedeno označení, pod nímž je možno desky objednat. Doplňte si, prosíme, proto u první z desek (str. 57) označení X206, u druhé (str. 63, ladička) označení X207. Pod tímto označením si můžete desky objednat na známé adresy.

**Služba radioamatérům**  
**Drobné provozovny MNV Čeladná**  
Lidická 24  
703 00 Ostrava-Vítkovice

**TESLA** HRADEC KRÁLOVÉ, koncernový podnik

nabízí z perspektivního sortimentu tyto součástky:

**TCXO** – Krystalový oscilátor s teplotní kompenzací, s malým příkonem, napěťově řízený

TCXO2                    TCX03  
typ 90 850            typ 90 890  
frekvence 5–10 MHz    5–10 MHz

**OCXO** – Vysoko stabilní krystalový oscilátor, možnost napěťového řízení

OCXO                    OCXO  
typ 90 900            typ 90 801  
frekvence 5–10 MHz    5–10 MHz

**VCXO** – Krystalový oscilátor pro frekvenční modulaci s malým příkonem, napěťově řízený

VCX01                    VCX01  
typ 90 480            90 450  
frekvence 6–26 MHz    10–15 MHz

**MXO1** – Miniaturní krystalový oscilátor s malým příkonem

MXO1  
typ 90 821  
frekvence 48–12 MHz

**CXO** – Krystalový oscilátor CLOCK

CXO  
typ 90 950  
frekvence 40–70 MHz

Podrobné technické informace poskytněte obratem na požádání

odbyt **TESLA HRADEC KRÁLOVÉ**, koncernový podnik

Okružní 1144  
500 80 Hradec Králové

